

(19) 日本国特許庁(JP)

(12) 特許公報(B2)

(11) 特許番号

特許第4752313号
(P4752313)

(45) 発行日 平成23年8月17日(2011.8.17)

(24) 登録日 平成23年6月3日(2011.6.3)

(51) Int.Cl. F I
G09C 1/00 (2006.01) G09C 1/00 620A
 G09C 1/00 650A

請求項の数 19 (全 84 頁)

(21) 出願番号	特願2005-119587 (P2005-119587)	(73) 特許権者	000002185
(22) 出願日	平成17年4月18日 (2005.4.18)		ソニー株式会社
(65) 公開番号	特開2006-227562 (P2006-227562A)		東京都港区港南1丁目7番1号
(43) 公開日	平成18年8月31日 (2006.8.31)	(74) 代理人	100093241
審査請求日	平成20年3月6日 (2008.3.6)		弁理士 宮田 正昭
(31) 優先権主張番号	特願2004-287166 (P2004-287166)	(74) 代理人	100101801
(32) 優先日	平成16年9月30日 (2004.9.30)		弁理士 山田 英治
(33) 優先権主張国	日本国(JP)	(74) 代理人	100086531
(31) 優先権主張番号	特願2005-15071 (P2005-15071)		弁理士 澤田 俊夫
(32) 優先日	平成17年1月24日 (2005.1.24)	(72) 発明者	北村 出
(33) 優先権主張国	日本国(JP)		東京都品川区北品川6丁目7番35号 ソニー株式会社内
		(72) 発明者	堅木 雅宣
			東京都品川区北品川6丁目7番35号 ソニー株式会社内

最終頁に続く

(54) 【発明の名称】 暗号処理演算方法、および暗号処理装置、並びにコンピュータ・プログラム

(57) 【特許請求の範囲】

【請求項1】

暗号処理装置において、超楕円曲線暗号に基づく暗号処理演算を実行する暗号処理演算方法であり、

前記暗号処理装置の演算実行部が、

超楕円曲線 C 上の点 $P = (x, y)$ の関係式、

$$y^2 + h(x)y = f(x)$$

ただし、

$$f(x) = x^5 + f_4x^4 + f_3x^3 + f_2x^2 + f_1x + f_0$$

$$h(x) = h_2x^2 + h_1x + h_0$$

ただし、 $f_4, f_3, f_2, f_1, f_0, h_2, h_1, h_0$ は、超楕円曲線の定義パラメータ $f(x), h(x)$ の係数、

によって表現される超楕円曲線の因子 D に対するスカラー倍算の演算において、演算処理として、1/2倍算を含む演算を実行する演算ステップを有し、

前記演算ステップは、

入力因子を、 $D_1 = (U_1, V_1)$ 、出力因子を、 $D_2 = (U_2, V_2)$ とする因子 D の 2 倍算アルゴリズムの逆演算を実行するとともに、

未知数 k_0, k_1 を含む一次多項式 $k(x) = k_1x + k_0$ を定義し、

前記 2 倍算アルゴリズムにおける計算過程において前記入力因子 D_1 の要素 V_1 の更新値として算出される V_1' を、

$V_1' = h + (k_1 x + k_0) U_2 + V_2$ として表現し、
ただし、 $h = h(x)$ 、

前記2倍算アルゴリズムの逆演算の実行過程において得られる前記未知数 k_0, k_1 に関する2次方程式を解いて、解 k_0, k_0', k_1, k_1' を算出し、算出解の中から正答解を選択して前記2倍算アルゴリズムの逆演算を正しく実行することで超楕円曲線の因子Dの1/2倍算を行う暗号処理演算方法。

【請求項2】

前記演算ステップは、

種数2、標数2のランダムパラメータを持つ超楕円曲線の因子Dに対するスカラー倍算において1/2倍算を含む演算を実行するステップであることを特徴とする請求項1に記載の暗号処理演算方法。

10

【請求項3】

前記演算ステップは、

種数2、標数2の $h(x) = x^2 + x + h_0, f_4 = 0$ をパラメータに持つ超楕円曲線の因子Dに対するスカラー倍算において1/2倍算を含む演算を実行するステップであることを特徴とする請求項1に記載の暗号処理演算方法。

【請求項4】

前記演算ステップは、

種数2、標数2の $h(x) = x^2 + h_1 x + h_0, f_4 = 0$ をパラメータに持つ超楕円曲線の因子Dに対するスカラー倍算において1/2倍算を含む演算を実行するステップであることを特徴とする請求項1に記載の暗号処理演算方法。

20

【請求項5】

前記演算ステップは、

種数2、標数2の $h(x) = x$ をパラメータに持つ超楕円曲線の因子Dに対するスカラー倍算において1/2倍算を含む演算を実行するステップであることを特徴とする請求項1に記載の暗号処理演算方法。

【請求項6】

前記暗号処理演算方法は、

前記演算実行部が、

予め固定された因子Dについての $[1/2^i D]$ 計算値に基づいて、 $k_1, k_1', (k_0, k_0')$ のいずれが正しいかを記録したテーブルを参照するテーブル参照ステップを有し、

30

ただし、 i は、任意の整数であり、1/2倍算の繰り返し回数を示す、

前記演算ステップは、

前記テーブルの参照に基づく判定処理によって、1/2倍算の計算量を削減した演算処理として実行することを特徴とする請求項1に記載の暗号処理演算方法。

【請求項7】

前記演算ステップは、

超楕円曲線の因子Dの1/2倍算における、

入力： $D_2 = (U_2, V_2)$ 、

出力： $D_1 = (U_1, V_1) = [1/2] D_2$ 、

ただし、 $U_i(x) = x^2 + u_{i1}x + u_{i0}, V_i(x) = v_{i1}x + v_{i0}, \gcd(h, U_i) = 1, i = 1, 2$ 、

40

$u_{i1}, u_{i0}, v_{i1}, v_{i0}$ は超楕円曲線の因子の表現するためのパラメータ、

とした1/2倍算の演算アルゴリズムに基づいて導出される以下の関係式、

$1/k_1 = h_2 + k_1 u_{21}$

を適用し、逆元演算を行なうことなく乗算および加算処理によって逆元 $1/k_1$ の値を算出するステップを含むことを特徴とする請求項1に記載の暗号処理演算方法。

【請求項8】

前記暗号処理演算方法は、

50

前記演算実行部が、

入力： $D_2 = (U_2, V_2)$ 、

出力： $D_1 = (U_1, V_1) = [1/2] D_2$ 、

ただし、 $U_i(x) = x^2 + u_{i1}x + u_{i0}$ 、 $V_i(x) = v_{i1}x + v_{i0}$ 、 $gcd(h, U_i) = 1$ 、 $i = 1, 2$ 、

$u_{i1}, u_{i0}, v_{i1}, v_{i0}$ は超楕円曲線の因子の表現するためのパラメータ、

とした $1/2$ 倍算演算アルゴリズムにおいて、 $1/u_{21}$ を入力値として適用しない設定を持つアルゴリズムに従った演算を実行することを特徴とする請求項 1 に記載の暗号処理演算方法。

【請求項 9】

10

前記暗号処理演算方法は、

前記演算実行部が、

種数 2、標数 2 の $h(x) = x^2 + h_1x + h_0$ 、 $f_4 = 0$ をパラメータに持つ超楕円曲線の因子 D に対するスカラー倍算を実行する演算方法であり、

前記演算ステップは、

算出済みの値として $1/h_1^2$ を入力値として設定し、

逆元 $1/h_1^2$ を算出する処理を実行することなく、算出済みの入力値 $1/h_1^2$ を適用するステップを含むことを特徴とする請求項 1 に記載の暗号処理演算方法。

【請求項 10】

超楕円曲線暗号に基づく暗号処理演算を実行する暗号処理装置であり、

20

超楕円曲線 C 上の点 $P = (x, y)$ の関係式、

$$y^2 + h(x)y = f(x)$$

ただし、

$$f(x) = x^5 + f_4x^4 + f_3x^3 + f_2x^2 + f_1x + f_0$$

$$h(x) = h_2x^2 + h_1x + h_0$$

ただし、 $f_4, f_3, f_2, f_1, f_0, h_2, h_1, h_0$ は、超楕円曲線の定義パラメータ $f(x), h(x)$ の係数、

によって表現される超楕円曲線の因子 D に対するスカラー倍算の演算において、演算処理として、 $1/2$ 倍算を含む演算を実行する演算実行部を有し、

前記演算実行部は、

30

入力因子を、 $D_1 = (U_1, V_1)$ 、出力因子を、 $D_2 = (U_2, V_2)$ とする因子 D の 2 倍算アルゴリズムの逆演算を実行するとともに、

未知数 k_0, k_1 を含む一次多項式 $k(x) = k_1x + k_0$ を定義し、

前記 2 倍算アルゴリズムにおける計算過程において前記入力因子 D_1 の要素 V_1 の更新値として算出される V_1' を、

$$V_1' = h + (k_1x + k_0)U_2 + V_2$$

ただし、 $h = h(x)$ 、

前記 2 倍算アルゴリズムの逆演算の実行過程において得られる前記未知数 k_0, k_1 に関する 2 次方程式を解いて、解 k_0, k_0', k_1, k_1' を算出し、算出解の中から正答解を選択して前記 2 倍算アルゴリズムの逆演算を正しく実行することで超楕円曲線の因子 D の $1/2$ 倍算を行う暗号処理装置。

40

【請求項 11】

前記演算実行部は、

種数 2、標数 2 のランダムパラメータを持つ超楕円曲線の因子 D に対するスカラー倍算において $1/2$ 倍算を含む演算を実行する構成であることを特徴とする請求項 10 に記載の暗号処理装置。

【請求項 12】

前記演算実行部は、

種数 2、標数 2 の $h(x) = x^2 + x + h_0$ 、 $f_4 = 0$ をパラメータに持つ超楕円曲線の因子 D に対するスカラー倍算において $1/2$ 倍算を含む演算を実行する構成であること

50

を特徴とする請求項 10 に記載の暗号処理装置。

【請求項 13】

前記演算実行部は、

種数 2、標数 2 の $h(x) = x^2 + h_1 x + h_0$ 、 $f_4 = 0$ をパラメータに持つ超楕円曲線の因子 D に対するスカラー倍算において $1/2$ 倍算を含む演算を実行する構成であることを特徴とする請求項 10 に記載の暗号処理装置。

【請求項 14】

前記演算実行部は、

種数 2、標数 2 の $h(x) = x$ をパラメータに持つ超楕円曲線の因子 D に対するスカラー倍算において $1/2$ 倍算を含む演算を実行する構成であることを特徴とする請求項 10 に記載の暗号処理装置。

10

【請求項 15】

前記暗号処理装置は、

予め固定された因子 D についての $[1/2^i D]$ 計算値に基づいて、 $k_1, k_1', (k_0, k_0')$ のいずれが正しいかを記録したテーブルを格納した記憶部を有し、
ただし、 i は、任意の整数であり、 $1/2$ 倍算の繰り返し回数を示す、

前記演算実行部は、

前記テーブルの参照に基づく判定処理によって、 $1/2$ 倍算の計算量を削減した演算処理を実行する構成であることを特徴とする請求項 10 に記載の暗号処理装置。

【請求項 16】

20

前記演算実行部は、

超楕円曲線の因子 D の $1/2$ 倍算における、

入力： $D_2 = (U_2, V_2)$ 、

出力： $D_1 = (U_1, V_1) = [1/2] D_2$ 、

ただし、 $U_i(x) = x^2 + u_{i1}x + u_{i0}$ 、 $V_i(x) = v_{i1}x + v_{i0}$ 、 $gcd(h, U_i) = 1$ 、 $i = 1, 2$ 、

$u_{i1}, u_{i0}, v_{i1}, v_{i0}$ は超楕円曲線の因子の表現するためのパラメータ、

とした $1/2$ 倍算の演算アルゴリズムに基づいて導出される以下の関係式、

$$1/k_1 = h_2 + k_1 u_{21}$$

を適用し、逆元演算を行なうことなく乗算および加算処理によって逆元 $1/k_1$ の値を算出する構成であることを特徴とする請求項 10 に記載の暗号処理装置。

30

【請求項 17】

前記演算実行部は、

入力： $D_2 = (U_2, V_2)$ 、

出力： $D_1 = (U_1, V_1) = [1/2] D_2$ 、

ただし、 $U_i(x) = x^2 + u_{i1}x + u_{i0}$ 、 $V_i(x) = v_{i1}x + v_{i0}$ 、 $gcd(h, U_i) = 1$ 、 $i = 1, 2$ 、

$u_{i1}, u_{i0}, v_{i1}, v_{i0}$ は超楕円曲線の因子の表現するためのパラメータ、

とした $1/2$ 倍算演算アルゴリズムを実行する構成であり、 $1/u_{21}$ を入力値として適用しない設定を持つアルゴリズムに従った演算を実行する構成であることを特徴とする請求項 10 に記載の暗号処理装置。

40

【請求項 18】

前記演算実行部は、

種数 2、標数 2 の $h(x) = x^2 + h_1 x + h_0$ 、 $f_4 = 0$ をパラメータに持つ超楕円曲線の因子 D に対するスカラー倍算を実行する構成を有し、

算出済みの値として $1/h_1^2$ を入力値とし、逆元 $1/h_1^2$ を算出する処理を実行することなく、算出済みの入力値 $1/h_1^2$ を適用した演算を実行する構成であることを特徴とする請求項 10 に記載の暗号処理装置。

【請求項 19】

超楕円曲線暗号に基づく暗号処理演算をコンピュータ上で実行させるコンピュータ・プ

50

プログラムであり、

超楕円曲線 C 上の点 $P = (x, y)$ の関係式、

$$y^2 + h(x)y = f(x)$$

ただし、

$$f(x) = x^5 + f_4 x^4 + f_3 x^3 + f_2 x^2 + f_1 x + f_0$$

$$h(x) = h_2 x^2 + h_1 x + h_0$$

ただし、 $f_4, f_3, f_2, f_1, f_0, h_2, h_1, h_0$ は、超楕円曲線の定義パラメータ $f(x), h(x)$ の係数、

によって表現される超楕円曲線の因子 D に対するスカラー倍算の演算において、演算処理として、 $1/2$ 倍算を含む演算を実行する演算ステップを実行させ、

10

前記演算実行ステップにおいて、

入力因子を、 $D_1 = (U_1, V_1)$ 、出力因子を、 $D_2 = (U_2, V_2)$ とする因子 D の 2 倍算アルゴリズムの逆演算を実行するとともに、

未知数 k_0, k_1 を含む一次多項式 $k(x) = k_1 x + k_0$ を定義し、

前記 2 倍算アルゴリズムにおける計算過程において前記入力因子 D_1 の要素 V_1 の更新値として算出される V_1' を、

$$V_1' = h + (k_1 x + k_0) U_2 + V_2$$

ただし、 $h = h(x)$ 、

前記 2 倍算アルゴリズムの逆演算の実行過程において得られる前記未知数 k_0, k_1 に関する 2 次方程式を解いて、解 k_0, k_0', k_1, k_1' を算出し、算出解の中から正答解を選択して前記 2 倍算アルゴリズムの逆演算を正しく実行することで超楕円曲線の因子 D の $1/2$ 倍算を行わせるコンピュータ・プログラム。

20

【発明の詳細な説明】

【技術分野】

【0001】

本発明は、暗号処理演算方法、および暗号処理装置、並びにコンピュータ・プログラムに関する。さらに詳細には、超楕円曲線暗号におけるスカラー倍算の高速化を実現する暗号処理演算方法、および暗号処理装置、並びにコンピュータ・プログラムに関する。

【背景技術】

【0002】

昨今、ネットワーク通信、電子商取引の発展に伴い、通信におけるセキュリティ確保が重要な問題となっている。セキュリティ確保の 1 つの方法が暗号技術であり、現在、様々な暗号化手法を用いた通信が行なわれている。

【0003】

例えば IC カード等の小型の装置中に暗号処理モジュールを埋め込み、IC カードと、データ読み取り書き込み装置としてのリーダライタとの間でデータ送受信を行ない、認証処理、あるいは送受信データの暗号化、復号化を行なうシステムが実用化されている。

【0004】

暗号処理を実行する例えば IC カードは、例えば駅の改札などの様々なゲート、あるいはショッピングセンターなどで盛んに利用されるようになっており、小型化および処理の迅速化の要求が厳しくなっている。

40

【0005】

暗号化方式には、大別して共通鍵方式、公開鍵方式がある。共通鍵方式は、対称暗号方式ともよばれ、発信者、受信者の双方で共通の鍵を保有する。共通鍵方式の代表的な方法として、DES (Data Encryption Standard) がある。DES アルゴリズムの特徴は、暗号化と復号化とをほぼ同じアルゴリズムで実行可能なことである。

【0006】

この共通鍵暗号に対して、発信者と受信者の鍵を異なるものとした構成が公開鍵方式または非対称暗号方式である。公開鍵暗号方式では、暗号化、復号化に共通の鍵を用いる共通鍵暗号方式と異なり、秘密に保つ必要のある秘密鍵は、特定の 1 人が持てばよいための鍵

50

の管理において有利である。ただし、公開鍵暗号方式は共通鍵暗号方式に比較してデータ処理速度が遅く、一般には、秘密鍵の配送、デジタル署名等のデータ量の少ない対象に多く用いられている。公開鍵暗号方式の代表的なものにはR S A (Rivest-Shamir-Adleman)暗号や、楕円曲線暗号 (E C C : Elliptic Curve Cryptography) が知られている。

【 0 0 0 7 】

楕円曲線暗号 (Elliptic Curve Cryptography) は、素体上の楕円曲線 $y^2 = x^3 + ax + b$ ($4a^3 + 27b^2 \neq 0$) や、2の拡大体上の楕円曲線 $y^2 + xy = x^3 + ax^2 + b$ ($b \neq 0$) などを用いる。これらの曲線上の点に無限遠点 (O) を加えた集合は、加法に関して有限群をなし、無限遠点 (O) はその単位元となる。以下、この有限群上の点の加法を + で表す。この有限群上の異なる2点 P, Q の加算 $P + Q$ を「点の加算」、点 P と点 P の加算 $P + P = 2P$ を「点の2倍算」と呼ぶ。また、点 P を k 回加算した点 $P + P + \dots + P = kP$ を求める演算を「点のスカラー倍算」と呼ぶ。

10

【 0 0 0 8 】

点のスカラー倍算は、点の加算、および点の2倍算を用いて構成できることが知られている。素体上の楕円曲線や2の拡大体上の楕円曲線上のアフィン座標系 (x, y) や射影座標 (X, Y, Z) における点の加算法、点の2倍算法、および点のスカラー倍算法は、I E E E P1363/D13 Standard Specifications for Public Key Cryptographyに記されている。

【 0 0 0 9 】

楕円曲線暗号を一般化した方式として、Koblitz、Cantorによって提案された超楕円曲線暗号 (H E C C : Hyper Elliptic Curve Cryptography) 方式がある。超楕円曲線暗号方式については、例えば非特許文献1、非特許文献2に記載されている。

20

【 0 0 1 0 】

楕円曲線暗号では有限体 F_q 上で定義される楕円曲線上の点を P とし、スカラー倍算した点 kP ($k \in \mathbb{Z}$) を Q とすると、Q から k を求める問題は離散対数問題に帰着できる。一方、超楕円曲線暗号では点の形式的和である因子 (divisor) を D_1 とし、スカラー倍算 kD_1 で定義される因子を D_2 とすると、 D_2 から k を求める問題は超楕円曲線におけるヤコビ多様体上の離散対数問題として公開鍵暗号として用いることができる。

【 0 0 1 1 】

超楕円曲線では曲線の特徴づける値は種数 (genus) g である。p を素数、n を正の整数、 $q = p^n$ とする。このとき有限体 F_q 上で定義される種数 g の超楕円曲線 C は以下の方程式、

$$y^2 + h(x)y = f(x)$$

で定義される。ここで、 $h(x), f(x) \in F_q[x]$ 、 $f(x)$ は、次数 $2g + 1$ の monic 多項式である。

30

【 0 0 1 2 】

超楕円曲線 C 上の点 $P = (x, y)$ に対して共役点 (opposite point) は、 $-P = (x, y + h(x))$ として定義される。また、 $P = -P$ である点を分岐点 (ramification point) と呼ぶ。

【 0 0 1 3 】

超楕円曲線暗号の定義体の演算サイズ (ビット長) は楕円曲線暗号と同等の安全性を仮定した場合、楕円曲線の定義体の演算サイズに比べて $1/g$ に小さくなることが知られている。演算サイズが小さいことは実装上メリットがあり、超楕円曲線暗号の利点の一つとして挙げられる。

40

【 0 0 1 4 】

次に、超楕円曲線暗号の基本事項について説明する。前述したように、超楕円曲線暗号では点の形式的和である因子 (divisor) を D_1 とし、スカラー倍算 kD_1 で定義される因子を D_2 とすると、 D_2 から k を求める問題は超楕円曲線におけるヤコビ多様体上の離散対数問題として公開鍵暗号として用いることができる。

【 0 0 1 5 】

50

ここで、因子 (divisor) は有理点の形式和であり、以下の形式で表現することができる。

【数 1】

$$D = \sum_i m_i P_i$$

10

【0016】

また、半被約因子 (semi reduced divisor) は、以下の形式で表現することができる。

【数 2】

$$D = \sum_i m_i P_i - \left(\sum_i m_i \right) P_\infty, \quad m_i \geq 0$$

20

ただし、 $P_i = (x_i, y_i)$ かつ $i \neq j$ に対して $P_i \neq P_j$ である。

【0017】

また、 m_i を D のウェイト (weight) と呼ぶ。さらにウェイト (weight) が種数 g 以下である半被約因子を被約因子 (reduced divisor) と呼ぶ。

30

【0018】

超楕円曲線のヤコビ (Jacobi) 多様体上の任意の半被約因子 D は下記の多項式 U 、 $V \in \mathbb{F}_q[x]$ を用いて $D = (U, V)$ として表現できる。これをマンホード (Mumford) 表現と呼ぶ。なお、マンホード (Mumford) 表現については、例えば非特許文献 3 に記載されている。

【数 3】

$$U = \prod (x - x_i)^{m_i}$$

$$V(x_i) = y_i$$

$$V(x)^2 + V(x)h(x) - f(x) \equiv 0 \pmod{U(x)}, \quad \deg V < \deg U$$

40

【0019】

50

種数 (g e n u s) 2 の任意の被約因子 D はマンホード (M u m f o r d) 表現を用いると、有限体 F_q 上の元を係数に持つ 2 次以下の多項式の組、すなわち、

$$(U, V) = (x^2 + u_1 x + u_0, v_1 x + v_0), \text{ または、}$$

$$(U, V) = (x + x_0, y_0)$$

として表現することができる。

また、零元は、

$$(U, V) = (1, 0) = 0$$

として表現される。

【 0 0 2 0 】

次に、超楕円曲線暗号で用いられる因子のスカラー倍算について説明する。因子のスカラー倍算は加算アルゴリズムと呼ばれる因子の加算と 2 倍算組み合わせで計算することができる。以下では主要な加算アルゴリズムについて説明する。

10

【 0 0 2 1 】

最初に提案された実用的なアルゴリズムは C a n t o r のアルゴリズムである。このアルゴリズムについては、例えば非特許文献 1、非特許文献 2 に記載されている。このアルゴリズムはあらゆる種数の超楕円曲線上の因子に対して適用可能なアルゴリズムであるが、楕円曲線に比べてアルゴリズムが複雑で計算量が多いことが欠点である。

【 0 0 2 2 】

H a r l e y は種数 2 の超楕円曲線に限定し、因子の w e i g h t の場合分けをおこない、それぞれの場合で最適化を行うことでより計算量の少ないアルゴリズムを提案した。この研究を受けて超楕円曲線暗号 (H E C C) における演算アルゴリズムの改良、拡張の研究が近年盛んになっている。

20

【 0 0 2 3 】

(ア) H a r l e y のアルゴリズムは定義体を素体、種数 2 の曲線、因子の表現は M u m f o r d 表現を用いている。このアルゴリズムの計算量の改善の研究例として、例えば、非特許文献 4、非特許文献 5、非特許文献 6 などが挙げられる。

(イ) さらに、定義体を 2 の拡大体の場合について拡張した処理例について、非特許文献 7、非特許文献 8 に報告されている。

(ウ) また、因子の表現に拡張 M u m f o r d 表現、W e i g h t e d C o o r d i n a t e を用いることで計算量を削減した研究として非特許文献 11、非特許文献 12、非特許文献 6、非特許文献 13 がある。

30

【 0 0 2 4 】

H a r l e y アルゴリズムの処理について、図 1 を参照して説明する。なお、本発明は、標数 2 の有限体上定義された種数 2 の超楕円曲線に関するものであり、以下の説明では、曲線の種数を 2、定義体の標数を 2 とする。

【 0 0 2 5 】

図 1 (A) は、種数 2 の場合の因子の加算 $D_1 + D_2$ の処理例を示した図である。なお、因子 D_1 、 D_2 は、それぞれ $D_1 = (U_1, V_1)$ 、 $D_2 = (U_2, V_2)$ とする。まず、因子のウェイト (w e i g h t) の値によって場合分けが行われる。すなわち、 $[D_1 + D_2]$ の各ウェイト (w e i g h t) の値によって、

40

$$(1) \text{ w e i g h t } 2 + \text{ w e i g h t } 2$$

$$(2) \text{ w e i g h t } 2 + \text{ w e i g h t } 1$$

$$(3) \text{ 例外処理 } 1$$

の場合分けが行なわれる。

【 0 0 2 6 】

次に w e i g h t 2 同士の加算、すなわち (1) w e i g h t 2 + w e i g h t 2 の場合、因子 $D_1 = (U_1, V_1)$ 、 $D_2 = (U_2, V_2)$ について、最大公約数 $g c d (U_1, U_2) = 1$ であれば、2 つの因子 $D_1 = (U_1, V_1)$ 、 $D_2 = (U_2, V_2)$ は、互いに同一または共役点 (o p p o s i t e p o i n t) を含まない。この場合、

$$(1a) \text{ H a r l e y A D D、}$$

50

すなわちハーレーアルゴリズムに従った加算処理を行う。(1a) Harley ADDの処理は例えば非特許文献7に示されているMost Frequent Caseと呼ばれる処理である。このMost Frequent Caseは、種数2の場合の因子の加算 $D_1 + D_2$ 処理において、高確率で発生するケースである。

【0027】

この(1a) Harley ADDの処理は、非常に高い確率でおこる。その他の例外処理の起こる確率は非常に低い。Most Frequent Caseの条件を満たさない場合、すなわち、因子 $D_1 = (U_1, V_1)$ 、 $D_2 = (U_2, V_2)$ について、最大公約数 $\gcd(U_1, U_2) = 1$ を満足しない場合は、

(1b) 例外処理2を行う。

10

【0028】

(2) $weight_2 + weight_1$ の場合についても同様に、 $\gcd(U_1, U_2) = 1$ かどうかをチェックし、 $\gcd(U_1, U_2) = 1$ を満足する場合には、

(2a) ExHarADD²⁺¹を実行し、

$\gcd(U_1, U_2) = 1$ を満足しない場合には、

(2b) 例外処理3を行う。

(3) 例外処理1は、 $weight$ の場合分けが上記(1)、(2)以外の場合である。

【0029】

なお、上述した種数2の加算処理のアルゴリズムの詳細については、非特許文献8に記載(Table 1, 2)されている。

20

【0030】

次に、種数2の場合の2倍算の流れを図1(B)を参照して説明する。2倍算は、 $D + D = 2D$ の処理である。入力を $D_1 = (U_1, V_1)$ とし、出力を $D_2 = [2]D_1$ とする。

加算の場合と同様に因子Dの $weight$ が

(4) $weight_2$ 、

(5) $weight_1$ 、

(6) $weight_0$ 、

によってそれぞれ異なる処理を行う。

30

【0031】

(4) $weight_2$ の場合、因子が分岐点を含むかどうかをチェックし、含まなければ、(4a) Harley DBLの処理を行う。因子が分岐点を含む場合は(4b) 例外処理6を行う。 $\gcd(h, U_1) = 1$ であれば、 D_1 は分岐点を含まない。この場合、(4a) Harley DBLの処理を行う。Harley DBLの処理アルゴリズムは例えば非特許文献7にMost Frequent Caseとして示されている。Harley DBLの処理アルゴリズム(Algorithm 1)を、以下に示す。

【数4】

Algorithm1 *HarleyDBL*

Input : $D_1 = (U_1, V_1)$
Output : $D_2 = (U_2, V_2)$

 $U_i(x) = x^2 + u_{i1}x + u_{i0}, V_i(x) = v_{i1}x + v_{i0}, \gcd(h, U_1) = 1$

1. $U'_1 \leftarrow U_1^2$
 2. $S \leftarrow h^{-1}(f + hV_1 + V_1^2)/U_1 \bmod U_1$
 3. $V'_1 \leftarrow SU_1 + V_1$
 4. $U'_2 \leftarrow (f + hV'_1 + V_1'^2)/U'$
 5. $U_2 \leftarrow \text{MakeMonic}(U'_2)$
 6. $V_2 \leftarrow V'_1 + h \bmod U_2$
 7. return $D_2 = (U_2, V_2)$
-

10

20

【0032】

後述するように、この処理が非常に高い確率でおこる。その他の例外処理の起こる確率は非常に低い。上述したように、Most Frequent Caseの条件を満たさない場合は例外処理6を行う。

【0033】

weight 1の場合も同様に $\gcd(h, U_1) = 1$ かどうかをチェックし、(5a)の処理、ExHarDBL¹⁺¹もしくは、(5b)の処理である例外処理7を行う。ExHarDBL¹⁺¹のアルゴリズムについては、非特許文献8[4.12.(a)]に示されている。

30

【0034】

HarleyADD, HarleyDBLは、上述のようにmost frequent caseと呼ばれ、ランダムに因子を発生させて加算または2倍算を行うと、非常に高い確率でHarleyADD、HarleyDBLの処理になる。なお、このHarleyADD、HarleyDBLが、most frequent caseとなることの説明は、例えば非特許文献14に説明されている。

【0035】

非特許文献14によると、このmost frequent caes以外の処理になる確率は $O(1/q)$ である。ここでqは定義体の要素数であり、安全な暗号用途では q^9 が160bit程度必要になる大きな数であるので現実的にはHarleyADD、HarleyDBLしか発生しない状況とみなすことができる。

40

【0036】

従って超楕円曲線暗号(HECC)の加算アルゴリズムをHarleyアルゴリズムまたはその改良アルゴリズムを使って、例えばICカードなどの暗号処理演算手段として実装する場合、

HarleyADD、
HarleyDBL

だけを実装し、その他の確率的にほとんど起こらない複雑な例外処理についての演算を

50

実行しない実装とする場合も多い。この場合、例外処理については、`weight`の場合分けが必要のないCantorのアルゴリズムを実行する構成とするなどの方法が適用される。種数が高くなるほど複雑な例外処理の負担は増すため、非特許文献9, 10ではこの実装方法について説明している。

【0037】

次に超楕円曲線暗号(HECC)アルゴリズムにおける因子のスカラ倍算について説明する。超楕円曲線暗号(HECC)アルゴリズムにおいて、因子のスカラ倍算は、超楕円加算と超楕円2倍算の組み合わせで計算することができる。スカラ倍算のアルゴリズムとして基本的なbinary法とdouble-and-add-always法を例に挙げて説明する。

10

【0038】

前述したように、楕円曲線暗号では有限体 F_q 上で定義される楕円曲線上の点を P とし、スカラ倍算した点 kP ($k \in \mathbb{Z}$)を Q とすると、 Q から k を求める問題は離散対数問題に帰着できる。一方、超楕円曲線暗号では点の形式的和である因子(divisor)を D_1 とし、スカラ倍算 kD_1 で定義される因子を D_2 とすると、 D_2 から k を求める問題は超楕円曲線におけるヤコビ多様体上の離散対数問題として公開鍵暗号として用いることができる。

【0039】

因子 D に対して、スカラ倍算($D = dD$)に適用する乗数としてのスカラ値 d の2進数表現を、

20

$$d = (d_{l-1}, \dots, d_0),$$

ただし、 $d_{l-1} = 1$ 、 $d_{l-2}, \dots, d_0 = 1 \text{ or } 0$ とする。

【0040】

スカラ倍算のアルゴリズムとして基本的なbinary法の演算アルゴリズムには、
binary(right-to-left)法
binary(left-to-right)法
がある。

【0041】

binary(right-to-left)法は、 d を下位ビットから見ていき、 $d_i = 1$ の場合に、 $[2^i]D$ を加算することが特徴である。binary(right-to-left)法のアルゴリズム(Algorithm 2)を以下に示す。

30

【数5】

Algorithm 2 binary (right-to-left)法

Input D_0

Output $D = dD_0$

$T \leftarrow D_0$

$D \leftarrow O$

for i from 0 to $l-1$

{

 if $d_i = 1$ then $D \leftarrow D + T$ // 加算HarleyADD

$T \leftarrow 2T$ // 2倍算HarleyDBL

}

return D

10

20

【0042】

一方、binary (left-to-right)法は、 d を上位ビットから見ていき、毎ビット D を2倍し、 $d_i = 1$ の場合に、ベースポイントを加算することが特徴である。binary (left-to-right)法のアルゴリズム (Algorithm 3)を以下に示す。

【数6】

30

Algorithm 3 binary (left-to-right)法

Input D_0

Output $D = dD_0$

$D \leftarrow D_0$

for i from $l-2$ downto 0

{

$D \leftarrow [2]D$ // 2倍算HarleyDBL

 if $d_i = 1$ then $D \leftarrow D + D_0$ // 加算HarleyADD

}

return D

40

【0043】

次に、ベースポイントの生成処理について説明する。スカラー倍算の計算を暗号技術で

50

用いる場合、入力に必要な因子 D_0 は、

- (1) 事前に決めた因子の場合、
 - (2) 事前に決められないランダムに発生する因子の場合、
- の2つのタイプに分けることができる。

【0044】

ここで(1)事前に決めた因子の場合、の入力因子をベースポイントと呼ぶことにする。

一般的なベースポイントの生成アルゴリズムを以下に示す。

(a)

定義体 F_q 上の元をランダムに g 個選び、 g 個の超楕円曲線上の点 P_i ($i = 1, \dots, g$) を生成する。 10

(a1) ランダムに選んだ各元を x 座標 x_i ($i = 1 \dots g$) とし、次に超楕円曲線上に乗るように x_i に対応する y 座標を求める。

(b)

ベースポイントの因子を $D_0 = (U(x), V(x))$ とする。

(b1) $U(x) = (x - x_1)(x - x_2) \dots (x - x_g)$

(b2) $V(x) = v_{g-1}x^{g-1} + v_{g-2}x^{g-2} + \dots + v_0$ の係数 v_i を決定する。例えば生成した点が全て異なる場合、 $V(x_i) = y_i$ より v_i を求めることができる。 20

(c) 上記アルゴリズムにより生成される因子は $weight_g$ の因子となる。

【0045】

スカラー倍算の計算を暗号技術で用いる場合、入力に必要な因子 D_0 の生成、すなわちベースポイントの生成において、事前に決めた因子を適用する場合、上述の処理(a)~(c)によって $weight_g$ のベースポイントに適用する因子を求めることができる。

【0046】

さらに、楕円曲線暗号では、有理点の $1/2$ 倍算が提案されている。例えば、非特許文献15、特許文献1、特許文献2に楕円曲線暗号における有理点の $1/2$ 倍算が示されている。有理点のスカラー倍算を計算する際に、加算と2倍算を用いるのではなくて、加算と $1/2$ 倍算を用いた処理を開示している。 30

【0047】

楕円曲線暗号の $1/2$ 倍算は、一般に2倍算よりも高速であり、結果として $1/2$ 倍算を用いたスカラー倍算は高速となる。非特許文献16によると、プロセッサとして、インテル社製 [Intel Pentium III 800MHz] でソフトウェア実装を行った結果、 $1/2$ 倍算は、2倍算に比べて、 F_q , $q = 2^{163}$ の定義体では、約2.1倍高速であり、 $q = 2^{233}$ の定義体では、約2.6倍高速であると報告されている。超楕円曲線暗号は、楕円曲線暗号の一般化であり、楕円曲線暗号で用いられている演算を超楕円曲線に拡張できる場合がある。例えば、楕円曲線暗号で y 座標を演算で用いないため、高速な計算を行なうことの出来る Montgomery法が、非特許文献17、18において、超楕円曲線暗号に拡張された例が示されている。超楕円曲線暗号でも、2倍算よりも高速な $1/2$ 倍算が実現できれば、因子のスカラー倍算も、従来よりも高速に計算することが期待できる。しかしながら、従来は、この $1/2$ 倍算が知られていなかった。なお、2倍算を用いた高速演算手法として発表された文献として、非特許文献19がある。 40

【特許文献1】E.Knudsen. COMPUTING METHOD FOR ELLIPTIC CURVE CRYPTOGRAPHY, WO 01/04742 A1, 18 Jan 2001

【特許文献2】R.Schroeppel. Elliptic curve point ambiguity resolution apparatus and method, WO 01/35573 A1, 17 May 2000

【非特許文献1】N.Koblitz. Hyperelliptic curve cryptosystems. J.Cryptology, vol. 1, No.3, pp.139-150, 1989. 50

【非特許文献 2】D.G.Cantor. Computing in the Jacobian of hyperelliptic curve. Math. Comp., Vol.48, No. 177, pp.95-101, 1987

【非特許文献 3】「D. Mumford, Tata lectures on theta II, Progress in Mathematics, no. 43, Birkhauser, 1984.」

【非特許文献 4】K.Matsuo, J.Chao, and S.Tsujii. Fast Genus two hyperelliptic curve cryptosystems. Technical Report ISEC2001-31, IEICE Japan, 2001.

【非特許文献 5】M.Takahashi. Improving Harley algorithms for Jacobians of genus 2 hyperelliptic curves. SCIS2002. (Japanese).

【非特許文献 6】T.Lange. Inversion-free arithmetic on genus 2 hyperelliptic curves. Cryptology ePrint Archive, 2002/147, IACR, 2002. 10

【非特許文献 7】T.Sugizaki, K.Matsuo, J.Chao, and S.Tsujii. An extension of Harley addition algorithm for hyperelliptic curves over finite fields of characteristic two. ISEC2002-9, IEICE, 2001

【非特許文献 8】T.Lange, Efficient arithmetic on genus 2 hyperelliptic curves over finite fields via explicit formulae. Cryptology ePrint Archive, 2002/121, IACR, 2002.

【非特許文献 9】J.Kuroki, M.Gonda, K.Masuo, J.Chao and S.Tsujii. Fast genus three hyperelliptic curve cryptosystems. SCIS2002

【非特許文献 10】J.Pelzl, T.Wollinger, J. Guajardo, and C. Paar. Hyperelliptic curve Cryptosystems: Closing the Performance Gap to Elliptic Curves. Cryptology ePrint Archive, 2003/026, IACR, 2003. 20

【非特許文献 11】Y.Miyamoto, H.Doi, K.Matsuo, J.Chao and S.Tsujii. A fast addition algorithm of genus two hyperelliptic curves. SCIS2002. (Japanese).

【非特許文献 12】N.Takahashi, H.Morimoto and A.Miyaji. Efficient exponentiation on genus two hyperelliptic curves (II). ISEC2002-145, IEICE, 2003. (Japanese)

【非特許文献 13】T.Lange. Weighed coordinate on genus 2 hyperelliptic curve. Cryptology ePrint Archive, 2002/153, IACR, 2002.

【非特許文献 14】N. Nagao. Improving group law algorithms for Jacobians of hyperelliptic curves. ANTS-IV, LNCS 1838, pp.439-448, Springer-Verlag, 2000.

【非特許文献 15】E.Knudsén. Elliptic Scalar Multiplication Using Point Halving. ASIACRYPTO '99, LNCS 1716, pp.135-149, Springer-Verlag, 1999. 30

【非特許文献 16】K.Fong, D.Hankerson, J.Lopez, and A.Menezes. Field inversion and point halving revised. Technical Report CORR2003-18, <http://www.cacr.math.uwaterloo.ca/techreports/2003/corr2003-18.pdf>

【非特許文献 17】S. Dquesne. Montgomery Scalar Multiplication for Genus 2 Curves. ANTS-VI, LNCS 3076, pp.153-168, 2004.

【非特許文献 18】T. Lange. Montgomery Addition for Genus Two Curves. ANTS-VI, LNCS 3076, pp.309-317, 2004.

【非特許文献 19】T. Lange. Efficient Doubling on Genus Two Curves over Binary Fields, SAC 2004, pre-proceedings, pp.189-202, 2004. 40

【発明の開示】

【発明が解決しようとする課題】

【0048】

現在、実用フェーズに入りつつある楕円曲線暗号 (ECC) アルゴリズムに対して、その拡張概念である超楕円曲線暗号 (HECC) アルゴリズムは、現在、学会レベルで高速アルゴリズムや、その実装方法についての研究が進められている。超楕円曲線暗号 (HECC) のスカラー倍算の演算時間は、楕円曲線暗号 (ECC) に近づきつつある程度に過ぎず、さらなる高速化が望まれている。

【0049】

本発明は、このような現状に鑑みてなされたものであり、超楕円曲線暗号 (HECC) 50

のスカラ-倍算の演算時間を短縮し、高速処理可能な超楕円曲線暗号 (HECC) 演算処理を実現する暗号処理演算方法、および暗号処理装置、並びにコンピュータ・プログラムを提供することを目的とする。

【0050】

本発明は、楕円曲線暗号の $1/2$ 倍算を、超楕円曲線暗号に拡張し高速に計算できるアルゴリズム、曲線パラメータ、定義体を見つけ、超楕円曲線暗号において $1/2$ 倍算を適用した演算処理により、高速演算処理を実現する暗号処理演算方法、および暗号処理装置、並びにコンピュータ・プログラムを提供することを目的とする。

【課題を解決するための手段】

【0051】

本発明の第1の側面は、
超楕円曲線暗号に基づく暗号処理演算を実行する暗号処理演算方法であり、
超楕円曲線の因子 D に対するスカラ-倍算の演算において、演算処理として、 $1/2$ 倍算を含む演算を実行する演算ステップ、
を有することを特徴とする暗号処理演算方法にある。

【0052】

さらに、本発明の暗号処理演算方法の一実施態様において、前記演算ステップは、種数2、標数2のランダムパラメータを持つ超楕円曲線の因子 D に対するスカラ-倍算において $1/2$ 倍算を含む演算を実行するステップであることを特徴とする。

【0053】

さらに、本発明の暗号処理演算方法の一実施態様において、前記演算ステップは、種数2、標数2の $h(x) = x^2 + x + h_0$, $f_4 = 0$ をパラメータに持つ超楕円曲線の因子 D に対するスカラ-倍算において $1/2$ 倍算を含む演算を実行するステップであることを特徴とする。

【0054】

さらに、本発明の暗号処理演算方法の一実施態様において、前記演算ステップは、種数2、標数2の $h(x) = x^2 + h_1 x + h_0$, $f_4 = 0$ をパラメータに持つ超楕円曲線の因子 D に対するスカラ-倍算において $1/2$ 倍算を含む演算を実行するステップであることを特徴とする。

【0055】

さらに、本発明の暗号処理演算方法の一実施態様において、前記演算ステップは、種数2、標数2の $h(x) = x$ をパラメータに持つ超楕円曲線の因子 D に対するスカラ-倍算において $1/2$ 倍算を含む演算を実行するステップであることを特徴とする。

【0056】

さらに、本発明の暗号処理演算方法の一実施態様において、前記暗号処理演算方法は、予め固定された因子 D についての $[1/2^i D]$ 計算値に基づいて、 $k_1, k_1', (k_0, k_0')$ のいずれが正しいかを記録したテーブルを参照するテーブル参照ステップを有し、前記演算ステップは、前記テーブルの参照に基づく判定処理によって、 $1/2$ 倍算の計算量を削減した演算処理として実行することを特徴とする。

【0057】

さらに、本発明の暗号処理演算方法の一実施態様において、前記演算ステップは、
入力： $D_2 = (U_2, V_2)$ 、
出力： $D_1 = (U_1, V_1) = [1/2] D_2$ 、
ただし、 $U_i(x) = x^2 + u_{i1}x + u_{i0}$, $V_i(x) = v_{i1}x + v_{i0}$, $gcd(h, U_i) = 1$, $i = 1, 2$ 、
とした $1/2$ 倍算の演算アルゴリズムに基づいて導出される以下の関係式、
 $1/k_1 = h_2 + k_1 u_{21}$
を適用し、逆元演算を行なうことなく乗算および加算処理によって逆元 $1/k_1$ の値を算出するステップを含むことを特徴とする。

【0058】

10

20

30

40

50

さらに、本発明の暗号処理演算方法の一実施態様において、前記暗号処理演算方法は、

入力： $D_2 = (U_2, V_2)$ 、

出力： $D_1 = (U_1, V_1) = [1/2] D_2$ 、

ただし、 $U_i(x) = x^2 + u_{i1}x + u_{i0}$ 、 $V_i(x) = v_{i1}x + v_{i0}$ 、 $gcd(h, U_i) = 1$ 、 $i = 1, 2$ 、

とした $1/2$ 倍算演算アルゴリズムにおいて、 $1/u_{21}$ を入力値として適用しない設定を持つアルゴリズムに従った演算を実行することを特徴とする。

【0059】

さらに、本発明の暗号処理演算方法の一実施態様において、前記暗号処理演算方法は、種数2、標数2の $h(x) = x^2 + h_1x + h_0$ 、 $f_4 = 0$ をパラメータに持つ超楕円曲線の因子Dに対するスカラー倍算を実行する演算方法であり、前記演算ステップは、算出済みの値として $1/h_1^2$ を入力値として設定し、逆元 $1/h_1^2$ を算出する処理を実行することなく、算出済みの入力値 $1/h_1^2$ を適用するステップを含むことを特徴とする。

10

【0060】

さらに、本発明の第2の側面は、

超楕円曲線暗号に基づく暗号処理演算を実行する暗号処理装置であり、

超楕円曲線の因子Dに対するスカラー倍算の演算において、演算処理として、 $1/2$ 倍算を含む演算を実行する演算実行部を有することを特徴とする暗号処理装置にある。

【0061】

20

さらに、本発明の暗号処理装置の一実施態様において、前記演算実行部は、種数2、標数2のランダムパラメータを持つ超楕円曲線の因子Dに対するスカラー倍算において $1/2$ 倍算を含む演算を実行する構成であることを特徴とする。

【0062】

さらに、本発明の暗号処理装置の一実施態様において、前記演算実行部は、種数2、標数2の $h(x) = x^2 + x + h_0$ 、 $f_4 = 0$ をパラメータに持つ超楕円曲線の因子Dに対するスカラー倍算において $1/2$ 倍算を含む演算を実行する構成であることを特徴とする。

【0063】

さらに、本発明の暗号処理装置の一実施態様において、前記演算実行部は、種数2、標数2の $h(x) = x^2 + h_1x + h_0$ 、 $f_4 = 0$ をパラメータに持つ超楕円曲線の因子Dに対するスカラー倍算において $1/2$ 倍算を含む演算を実行する構成であることを特徴とする。

30

【0064】

さらに、本発明の暗号処理装置の一実施態様において、前記演算実行部は、種数2、標数2の $h(x) = x$ をパラメータに持つ超楕円曲線の因子Dに対するスカラー倍算において $1/2$ 倍算を含む演算を実行する構成であることを特徴とする。

【0065】

さらに、本発明の暗号処理装置の一実施態様において、前記暗号処理装置は、予め固定された因子Dについての $[1/2^i D]$ 計算値に基づいて、 $k_1, k_1', (k_0, k_0')$ のいずれが正しいかを記録したテーブルを格納した記憶部を有し、前記演算実行部は、前記テーブルの参照に基づく判定処理によって、 $1/2$ 倍算の計算量を削減した演算処理を実行する構成であることを特徴とする。

40

【0066】

さらに、本発明の暗号処理装置の一実施態様において、前記演算実行部は、

入力： $D_2 = (U_2, V_2)$ 、

出力： $D_1 = (U_1, V_1) = [1/2] D_2$ 、

ただし、 $U_i(x) = x^2 + u_{i1}x + u_{i0}$ 、 $V_i(x) = v_{i1}x + v_{i0}$ 、 $gcd(h, U_i) = 1$ 、 $i = 1, 2$ 、

とした $1/2$ 倍算の演算アルゴリズムに基づいて導出される以下の関係式、

50

$$1 / k_1 = h_2 + k_1 u_{21}$$

を適用し、逆元演算を行なうことなく乗算および加算処理によって逆元 $1 / k_1$ の値を算出する構成であることを特徴とする。

【0067】

さらに、本発明の暗号処理装置の一実施態様において、前記演算実行部は、

$$\text{入力： } D_2 = (U_2, V_2)、$$

$$\text{出力： } D_1 = (U_1, V_1) = [1/2] D_2、$$

ただし、 $U_i(x) = x^2 + u_{i1}x + u_{i0}$ 、 $V_i(x) = v_{i1}x + v_{i0}$ 、 $\text{gcd}(h, U_i) = 1$ 、 $i = 1, 2$ 、

とした $1/2$ 倍算演算アルゴリズムを実行する構成であり、 $1/u_{21}$ を入力値として適用しない設定を持つアルゴリズムに従った演算を実行する構成であることを特徴とする。

10

【0068】

さらに、本発明の暗号処理装置の一実施態様において、前記演算実行部は、種数 2、標数 2 の $h(x) = x^2 + h_1x + h_0$ 、 $f_4 = 0$ をパラメータに持つ超楕円曲線の因子 D に対するスカラー倍算を実行する構成を有し、算出済みの値として $1/h_1^2$ を入力値とし、逆元 $1/h_1^2$ を算出する処理を実行することなく、算出済みの入力値 $1/h_1^2$ を適用した演算を実行する構成であることを特徴とする。

【0069】

さらに、本発明の第 3 の側面は、

超楕円曲線暗号に基づく暗号処理演算をコンピュータ上で実行させるコンピュータ・プログラムであり、

超楕円曲線の因子 D に対するスカラー倍算の演算において、演算処理として、 $1/2$ 倍算を含む演算を実行する演算ステップ、

を有することを特徴とするコンピュータ・プログラムにある。

20

【0070】

なお、本発明のコンピュータ・プログラムは、例えば、様々なプログラム・コードを実行可能なコンピュータ・システムに対して、コンピュータ可読な形式で提供する記憶媒体、通信媒体、例えば、CD や FD、MO などの記録媒体、あるいは、ネットワークなどの通信媒体によって提供可能なコンピュータ・プログラムである。このようなプログラムをコンピュータ可読な形式で提供することにより、コンピュータ・システム上でプログラムに応じた処理が実現される。

30

【0071】

本発明のさらに他の目的、特徴や利点は、後述する本発明の実施例や添付する図面に基づくより詳細な説明によって明らかになるであろう。なお、本明細書においてシステムとは、複数の装置の論理的集合構成であり、各構成の装置が同一筐体内にあるものには限らない。

【発明の効果】

【0072】

本発明の構成によれば、楕円曲線暗号の $1/2$ 倍算を、超楕円曲線暗号に拡張し、高速演算が実現される。超楕円曲線上の因子の演算を使う暗号処理演算において、処理の重い演算は因子のスカラー倍算であり、本発明の処理によりスカラー倍算を高速化することで超楕円曲線暗号の処理を大幅に改善することができる。

40

【0073】

本発明の構成によれば、超楕円曲線暗号の因子 D に対するスカラー倍算において、演算処理として、 $1/2$ 倍算を含む演算を実行することでスカラー倍算を高速化することができる。例えば、種数 2、標数 2 の $h(x) = x^2 + x + h_0$ 、 $f_4 = 0$ をパラメータに持つ超楕円曲線の因子 D に対するスカラー倍算、あるいは、種数 2、標数 2 の $h(x) = x^2 + h_1x + h_0$ 、 $f_4 = 0$ をパラメータに持つ超楕円曲線の因子 D に対するスカラー倍算、あるいは、種数 2、標数 2 の $h(x) = x$ をパラメータに持つ超楕円曲線の因子 D に

50

対するスカラー倍算において $1/2$ 倍算を含む演算を実行することで、高速演算が実現される。

【0074】

さらに、本発明の構成によれば、予め固定された因子 D についての $[1/2^i D]$ 計算値に基づいて、 $k_1, k_1', (k_0, k_0')$ のいずれが正しいかを記録したテーブルを適用することで、因子のスカラー倍算における計算量をさらに削減することが可能となり、さらなる高速化が実現される。

【0075】

さらに、本発明の構成によれば、超楕円曲線暗号の因子 D に対するスカラー倍算において、演算処理として、 $1/2$ 倍算を含む演算を実行する構成とするともに、 $1/2$ 倍算の演算処理において逆元演算の実行回数を減少させるアルゴリズムを適用したので、因子のスカラー倍算における計算量をさらに削減することが可能となり、さらなる高速化が実現される。

10

【発明を実施するための最良の形態】

【0076】

以下、本発明の暗号処理装置および暗号処理演算方法、並びにコンピュータ・プログラムの詳細について説明する。

【0077】

本発明は、楕円曲線暗号を一般化した超楕円曲線暗号 (HECC: Hyper Elliptic Curve Cryptography) についての高速化演算手法である。前述したように、超楕円曲線では曲線の特徴づける値は種数 (genus) g である。 p を素数、 n を正の整数、 $q = p^n$ とする。このとき有限体 F_q 上で定義される種数 g の超楕円曲線 C は以下の方程式、

20

$$y^2 + h(x)y = f(x)$$

で定義される。ここで、 $h(x), f(x) \in F_q[x]$ 、 $f(x)$ は、次数 $2g+1$ の *monic* 多項式である。

【0078】

超楕円曲線 C 上の点 $P = (x, y)$ に対する共役点 (opposite point) は、 $-P = (x, y + h(x))$ として定義される。また、 $P = -P$ である点を分岐点 (ramification point) と呼ぶ。

【0079】

30

超楕円曲線暗号の定義体の演算サイズ (ビット長) は楕円曲線暗号と同等の安全性を仮定した場合、楕円曲線の定義体の演算サイズに比べて $1/g$ に小さくなることが知られている。演算サイズが小さいことは実装上メリットがあり、超楕円曲線暗号の利点の一つとして挙げられる。

【0080】

前述したように、超楕円曲線暗号では点の形式的和である因子 (divisor) を D_1 とし、スカラー倍算 kD_1 で定義される因子を D_2 とすると、 D_2 から k を求める問題は超楕円曲線におけるヤコビ多様体上の離散対数問題として公開鍵暗号として用いることができる。

【0081】

40

ここで、因子 (divisor) は有理点の形式和であり、以下の形式で表現することができる。

【数7】

$$D = \sum_i m_i P_i$$

10

【0082】

また、半被約因子 (semi reduced divisor) は、以下の形式で表現することができる。

【数8】

$$D = \sum_i m_i P_i - \left(\sum_i m_i \right) P_\infty, \quad m_i \geq 0$$

20

ただし、 $P_i = (x_i, y_i)$ かつ $i \neq j$ に対して $P_i \neq P_j$ である。

【0083】

また、 m_i を D のウェイト (weight) と呼ぶ。さらにウェイト (weight) が種数 g 以下である半被約因子を被約因子 (reduced divisor) と呼ぶ。

30

【0084】

超楕円曲線のヤコビ (Jacobi) 多様体上の任意の半被約因子 D は下記の多項式 U 、 $V \in \mathbb{F}_q[x]$ を用いて $D = (U, V)$ として表現できる。これをマンホード (Mumford) 表現と呼ぶ。

【数9】

$$U = \prod (x - x_i)^{m_i}$$

$$V(x_i) = y_i$$

$$V(x)^2 + V(x)h(x) - f(x) \equiv 0 \pmod{U(x)}, \quad \deg V < \deg U$$

40

【0085】

種数 (genus) 2 の任意の被約因子 D はマンホード (Mumford) 表現を用いると、有限体 \mathbb{F}_q 上の元を係数に持つ 2 次以下の多項式の組、すなわち、

$$(U, V) = (x^2 + u_1 x + u_0, v_1 x + v_0), \text{ または、}$$

50

$$(U, V) = (x + x_0, y_0)$$

として表現することができる。

また、零元は、

$$(U, V) = (1, 0) = 0$$

として表現される。

【0086】

本発明は、楕円曲線暗号の1/2倍算を、超楕円曲線暗号に拡張し、2倍算よりも高速に計算できるアルゴリズム、曲線パラメータ、定義体を見つけ、超楕円曲線暗号において、2倍算よりも高速な1/2倍算を適用した演算処理を実現するものである。以下、本発明の実施例として、まず、前半において、以下に示す処理例1~6の手法について説明する。

10

【0087】

(処理例1：提案法A1)種数2、標数2のランダムパラメータを持つような超楕円曲線において、因子Dの1/2倍算を計算する方法。

(処理例2：提案法F1)種数2、標数2の $h(x) = x^2 + h_1x + h_0$ 、 $f_4 = 0$ をパラメータを持つような超楕円曲線において因子Dの1/2倍算を計算する方法。

(処理例3：提案法B1)種数2、標数2の $h(x) = x^2 + x + h_0$ 、 $f_4 = 0$ をパラメータを持つような超楕円曲線において、因子Dの1/2倍算を計算する方法。

(処理例4：提案法E1)種数2、標数2の $h(x) = x$ をパラメータを持つような超楕円曲線において、因子Dの1/2倍算を計算する方法。

20

(処理例5：提案法C1)種数2、標数2のランダムパラメータを持つような超楕円曲線、 $h(x) = x^2 + h_1x + h_0$ 、 $f_4 = 0$ をパラメータを持つ超楕円曲線、および $h(x) = x^2 + x + h_0$ 、 $f_4 = 0$ 、または $h(x) = x$ をパラメータを持つような超楕円曲線において、因子Dの1/2倍算を計算する際に、1/2倍したものの候補が2つ出てくる。2つの候補のうち、正しい値を選ぶ必要があるが、選ぶ際に、有限体のトレース、乗算、平方根を計算する必要がある。どちらが正しいかは、因子Dに依存する。そのため、因子Dが固定されている場合、事前に2つの候補のうち、どちらが正しいかをテーブルに保持し、正しい値を選ぶ際に、このテーブルを参照することにより、上記の余計な計算を省略する方法。

(処理例6：提案法D1)上記処理例1~5に示す因子の1/2倍算の計算方法を用いて、因子のスカラー倍算を計算する方法。

30

【0088】

さらに、後半において、上記処理例1~3処理例5~6をさらに改善した手法として、

(処理例7：提案法A2)種数2、標数2のランダムパラメータを持つような超楕円曲線において、因子Dの1/2倍算を計算する方法。

(処理例8：提案法F2)種数2、標数2の $h(x) = x^2 + h_1x + h_0$ 、 $f_4 = 0$ をパラメータを持つような超楕円曲線において因子Dの1/2倍算を計算する方法。

(処理例9：提案法B2)種数2、標数2の $h(x) = x^2 + x + h_0$ 、 $f_4 = 0$ をパラメータを持つような超楕円曲線において、因子Dの1/2倍算を計算する方法。

(処理例10：提案法C2)種数2、標数2のランダムパラメータを持つような超楕円曲線、 $h(x) = x^2 + h_1x + h_0$ 、 $f_4 = 0$ をパラメータを持つ超楕円曲線、および $h(x) = x^2 + x + h_0$ 、 $f_4 = 0$ をパラメータを持つような超楕円曲線において、因子Dの1/2倍算を計算する際に、1/2倍したものの候補が2つ出てくる。2つの候補のうち、正しい値を選ぶ必要があるが、選ぶ際に、有限体のトレース、乗算、平方根を計算する必要がある。どちらが正しいかは、因子Dに依存する。そのため、因子Dが固定されている場合、事前に2つの候補のうち、どちらが正しいかをテーブルに保持し、正しい値を選ぶ際に、このテーブルを参照することにより、上記の余計な計算を省略する方法。

40

(処理例11：提案法D2)上記処理例7~10に示す因子の1/2倍算の計算方法を用いて、因子のスカラー倍算を計算する方法。

【0089】

50

以下、各処理例について、順次、その詳細を説明する。

【0090】

[処理例1：提案法A1]

処理例1（提案法A1）は、種数2、標数2のランダムパラメータを持つような超楕円曲線において、因子Dの1/2倍算を計算する方法である。

【0091】

また、これから扱う因子は位数がrのものとする。つまり、扱う因子は分岐点を持たない。入力因子を、

$$D_2 = (U_2, V_2),$$

$$U_2 = u_{22}x^2 + u_{21}x + u_{20},$$

$$V_2 = v_{21}x + v_{20},$$

ここで、 D_2 のweightが2の場合は $u_{22} = 1$ 、

D_2 のweightが1の場合は $u_{22} = 0$ 、 $u_{21} = 1$ 、 $v_{21} = 0$ とする。

分岐点を持たないため、1/2倍算として、

$ExHarDBL^{1+1-2}$ 、 $ExHarDBL^{2+2-1}$ 、 $ExHarDBL^{2+2-2}$ 、および、HarleyDBLの4つの逆演算を考えればよい。HarleyDBL以外は例外ケースである。

【0092】

ここで $ExHarDBL^{2+2-1}$ は入力因子のweightが2で、出力因子のweightが1の場合を計算する方法である。また、 $ExHarDBL^{2+2-2}$ は入力因子のweightが2で、かつ U_2 の1次の項の係数が $u_{21} = 0$ を満たし、出力因子のweightが2の場合を計算する方法である。ただし、 $ExHarDBL^{2+2-2}$ はHarleyDBLで計算できるが、これの逆演算である1/2倍算は、例外ケースとなるため、ここでは、 $ExHarDBL^{2+2-2}$ を例外ケースとして扱う。

【0093】

これら、 $ExHarDBL^{1+1-2}$ 、 $ExHarDBL^{2+2-1}$ 、 $ExHarDBL^{2+2-2}$ 、および、HarleyDBLに対応する1/2倍算をそれぞれ、 $ExHEC_HLV^{2-1+1}$ 、 $ExHEC_HLV^{1-2+2}$ 、 $ExHEC_HLV^{2-2+2}$ 、およびHEC_HLVとする。

【0094】

因子の1/2倍算を行なう場合、まず、入力因子により、図2に示す通りに場合分けを行なう。入力因子のweightが2で、かつ U_2 の1次の項の係数が $u_{21} = 0$ を満たす場合は、HEC_HLVで計算を行なう。また、入力因子のweightが2で、かつ U_2 の項の係数が $u_{21} = 0$ を満たす場合は、 $ExHEC_HLV^{2-2+2}$ 、もしくは、 $ExHEC_HLV^{2-1+1}$ で計算を行なう。また、入力因子のweightが1の場合は $ExHEC_HLV^{1-2+2}$ で計算を行う。HEC_HLVのアルゴリズムについて、図3を参照して説明する。

【0095】

図3は、HEC_HLVのアルゴリズムを示すフローチャートである。

ステップS101において、入力を、

$$D_2 = (U_2, V_2),$$

$$U_2 = x^2 + u_{21}x + u_{20},$$

$$V_2 = v_{21}x + v_{20},$$

とする。

【0096】

ステップS102において、 $k_1h_2 + k_1^2u_{21} + 1 = 0$ の根、 k_1, k_1' を求め、ステップS103において、 $c_1 = f_3 + h_2v_{21} + u_{20} + (f_4 + u_{21})u_{21}$ とおき、ステップS104において、 $k_1h_0 + k_0h_1 + k_0^2u_{21} + c_1 = 0$ が根を持つか否かを判定し、根を持たない場合は、ステップS105において、 $k_1 = k_1'$ とし、根を持つ場合は、ステップS106に進み、 $k_1h_0 + k_0h_1 + k_0^2u_{21}$

10

20

30

40

50

$x^2 + c_1x + c_0 = 0$ の根、 k_0, k_0' を求める。

【0097】

次にステップS107に進み、 u_{11} を計算し、ステップS108において、 $x^2 + u_{11}x + u_{10} = 0$ が根を持つか否かを判定し、根を持たない場合は、ステップS109において、 k_0, k_0' とし、根を持つ場合は、ステップS110に進み、 v_{11}, v_{10} を計算する。さらに、ステップS111において、 v_{11}, v_{10} を計算し、ステップS112において、

$$U_1 = x^2 + u_{11}x + u_{10}$$

$$V_1 = v_{11}x + v_{10}$$

として、

ステップS113において、出力、

$$D_1 = (U_1, V_1)$$

を得る。

【0098】

因子の1/2倍算は、因子の2倍算を行うアルゴリズム、すなわち、以下に示す [Algorithm 1 HarleyDBL]

【数10】

Algorithm1 *HarleyDBL*

Input : $D_1 = (U_1, V_1)$

Output : $D_2 = (U_2, V_2)$

$$U_1(x) = x^2 + u_{11}x + u_{10}, V_1(x) = v_{11}x + v_{10}, \gcd(h, U_1) = 1$$

$$1. U_1' \leftarrow U_1^2$$

$$2. S \leftarrow h^{-1}(f + hV_1 + V_1^2) / U_1 \pmod{U_1}$$

$$3. V_1' \leftarrow SU_1 + V_1$$

$$4. U_2' \leftarrow (f + hV_1' + V_1'^2) / U_1'$$

$$5. U_2 \leftarrow \text{MakeMonic}(U_2')$$

$$6. V_2 \leftarrow V_1' + h \pmod{U_2}$$

$$7. \text{return } D_2 = (U_2, V_2)$$

【0099】

上記アルゴリズム1 [Algorithm 1 HarleyDBL] を逆から計算することにより実現する。Algorithm 1のステップ6では、

$$V_1' + h = (k_1x + k_0)U_2 + V_2$$

を満たすような多項式、

$$k(x) = k_1x + k_0$$

が唯一存在する。

【0100】

これを、

$$V_1' = h + (k_1x + k_0)U_2 + V_2$$

と式変形し、ステップ4に現れる式、

$$(f + h V_1' + V_1'^2)$$

に代入すると、ステップ4は、次のようになる。

$$U_2' U_1' = f + h(k U_2 + V_2) + k^2 U_2^2 + V_2^2 \dots \text{式(1)}$$

上記式において、

(U_2, V_2) は分かっているので、式(1)から、 k と U_1' との関係式が得られる

。

ここで、

$$U_2' = k_1^2 U_2$$

であることに注意する。

【0101】

上記式(1)を展開して整理すると、次のようになる。

$$U_1' = x^4 + ((k_1 h_2 + k_1^2 u_{21} + 1) / k_1^2) x^3 + ((k_1 h_1 + k_0 h_2 + k_1^2 u_{20} + k_0^2 + c_2) / k_1^2) x^2 + ((k_1 h_0 + k_0 h_1 + k_0^2 u_{21} + c_1) / k_1^2) x + (k_0 h_0 + k_0^2 u_{20} + c_0) / k_1^2 \dots \text{式(2)}$$

ここで、

$$c_2 = f_4 + u_{21}$$

$$c_1 = f_3 + h_2 v_{21} + u_{20} + c_2 u_{21}$$

$$c_0 = f_2 + h_2 v_{20} + h_1 v_{21} + v_{21}^2 + c_2 u_{20} + c_1 u_{21}$$

を満たす。

【0102】

また、ステップ1より、

$$U_1' = U_1^2、$$

つまり、

$$U_1' = x^4 + u_{11} x^2 + u_{10}^2$$

$$\dots \text{式(3)}$$

が成り立つ。

【0103】

上記式(2)、(3)の各係数を比較することにより、関係式を導き、この関係式を解くことにより、1/2倍算が計算できる。上記の処理手順を示すアルゴリズムを以下に、アルゴリズム4 [Algorithm 4 Sketch HEC_HLV]として示す

。

10

20

30

【数 1 1】

Algorithm 4 Sketch HEC _HLV

 Input : $D_2 = (U_2, V_2)$

 Output : $D_1 = (U_1, V_1) = [1/2]D_2$

 $U_i(x) = x^2 + u_{i1}x + u_{i0}, V_i(x) = v_{i1}x + v_{i0}, \gcd(h, U_i) = 1, i = 1, 2$

1. reconstruct k_0, k_1 10
 - 1.1 $V'_1 \leftarrow V_2 + h + kU_2, k(x) = k_1x + k_0$
 - 1.2 $U'_1 \leftarrow (f + hV'_1 + V_1'^2) / (k_1^2U_2)$
 - 1.3 derive k_0, k_1 from $\text{coeff}(U'_1, 3) = 0, \text{coeff}(U'_1, 1) = 0$
 2. compute u_{11} by substituting k_0, k_1 in $\text{coeff}(U'_1, 2)$
 3. compute u_{10} by substituting k_0, k_1 in $\text{coeff}(U'_1, 0)$
 4. $U_1 \leftarrow x^2 + u_{11}x + u_{10}$
 5. $V_1 \leftarrow V_2 + h + kU_2 \bmod U_1$
 6. return $D_1 = (U_1, V_1)$ 20
-

【0 1 0 4】

具体的には，次の関係式が得られる。

【数 1 2】

30

$$k_1h_2 + k_1^2u_{21} + 1 = 0 \quad \dots \text{式 (4)}$$

$$k_1h_0 + k_0h_1 + k_0^2u_{21} + c_1 = 0 \quad \dots \text{式 (5)}$$

$$u_{11} = \sqrt{k_1h_1 + k_0h_2 + k_1^2u_{20} + k_0^2 + c_2} / k_1 \quad \dots \text{式 (6)}$$

$$u_{10} = \sqrt{k_0h_0 + k_0^2u_{20} + c_0} / k_1 \quad \dots \text{式 (7)} \quad 40$$

【0 1 0 5】

これらの関係式から，正しい k_0, k_1 を計算する必要があるが、これは、次の補題によって計算できる。

[補題 1]

50

$h(x)$ を既約多項式であると仮定する。このとき、式(4)、(5)を満たす k_1 は唯一である。また、式(5)は、正しい k_1 に対してのみ、根を持つ。また、Algorithm 4 での $1/2$ 倍された因子 D_1 を計算できる k_0 は唯一存在する。また、以下に示す式、

$$x h_2 + x^2 u_{11} + 1 = 0$$

は、正しい k_0 に対してのみ根を持つ。

【 0 1 0 6 】

Algorithm 4 に対して上記補題 1 を適用した。詳細な $1/2$ 倍算の計算方法を以下のアルゴリズム 5 [Algorithm 5 HEC_HLV] として示す。

【 数 1 3 】

10

Algorithm 5 HEC_HLV

Input: $D_2 = (U_2, V_2)$

Output: $D_1 = (U_1, V_1) = [1/2]D_2$

$$U_i(x) = x^2 + u_{i1}x + u_{i0}, V_i(x) = v_{i1}x + v_{i0}, \gcd(h, U_i) = 1, i = 1, 2$$

1. Solve $k_1 h_2 + k_1^2 u_{21} + 1 = 0$

$$\alpha \leftarrow h_2 / u_{21}, \gamma \leftarrow 1 / (u_{21} \alpha^2) \quad /* 1 / (u_{21} \alpha^2) = u_{21} / h_2^2 */$$

$$k_1 \leftarrow H(\gamma) \alpha, k_1' \leftarrow k_1 + \alpha$$

20

2. Select correct k_1 by solving $k_1 h_0 + k_0 h_1 + k_0^2 u_{21} + c_1 = 0$

$$c_2 \leftarrow f_4 + u_{21}, c_1 \leftarrow f_3 + h_2 v_{21} + u_{20} + c_2 u_{21}$$

$$c_0 \leftarrow f_2 + h_2 v_{20} + h_1 v_{21} + v_{21}^2 + c_2 u_{20} + c_1 u_{21}$$

$$\alpha \leftarrow h_1 / u_{21}, \gamma \leftarrow (c_1 + k_1 h_0) / (u_{21} \alpha^2)$$

$$\text{if } \text{Tr}(\gamma) = 1 \text{ then } k_1 \leftarrow k_1', \gamma \leftarrow (c_1 + k_1 h_0) / (u_{21} \alpha^2)$$

$$k_0 \leftarrow H(\gamma) \alpha, k_1' \leftarrow k_1 + \alpha$$

30

3. Select correct k_0 by checking trace of $x h_2 + x^2 u_{11} + 1 = 0$

$$u_{11} \leftarrow \sqrt{k_1 h_1 + k_0 h_2 + k_1^2 u_{20} + k_0^2 + c_2} / k_1, \gamma \leftarrow u_{11} / h_2^2$$

if $\text{Tr}(\gamma) = 1$ then

$$k_0 \leftarrow k_0', u_{11} \leftarrow \sqrt{k_1 h_1 + k_0 h_2 + k_1^2 u_{20} + k_0^2 + c_2} / k_1$$

4. Compute U_1

$$u_{10} \leftarrow \sqrt{k_0 h_0 + k_0^2 u_{20} + c_0} / k_1$$

5. Compute $V_1 = V_2 + h + k U_2 \text{ mod } U_1$

40

$$w \leftarrow h_2 + k_1 u_{21} + k_0 + k_1 u_{11}$$

$$v_{11} \leftarrow v_{21} + h_1 + k_1 u_{20} + k_0 u_{21} + u_{10} k_1 + u_{11} w$$

$$v_{10} \leftarrow v_{20} + h_0 + k_0 u_{20} + w$$

6. $U_1(x) \leftarrow x^2 + u_{11}x + u_{10}, V_1(x) \leftarrow v_{11}x + v_{10}$

7. return $D_1 = (U_1, V_1)$

【 0 1 0 7 】

50

上記アルゴリズム5 [Algorithm 5]では、 k_1' 、 k_0' が正しい値（言い換えると k_1 、 k_0 が正しくない値）である場合、計算量は、

$$32M + 5S + 6I + 3SR + 2H + 2T$$

となる。ここで M 、 S 、 I 、 SR 、 H 、 T はそれぞれ有限体上の乗算、2乗算、逆元演算、平方根演算、ハーフトレース（二次方程式の根を求める演算）、トレース（二次方程式の根があるか否かの判定）を意味する。この k_1' 、 k_0' が正しい値である場合、計算量は最も多くなる。

【0108】

次に k_1 、 k_0 が正しい値（言い換えると k_1' 、 k_0' が正しくない値）である場合、計算量は最も少なくなり、ステップ2では $2M$ の計算量が削減でき、ステップ3では、 $2M + 1SR$ の計算量が削減できる。つまり、この場合の計算量は、

$$28M + 5S + 6I + 2SR + 2H + 2T$$

【0109】

次に k_1 、 k_0' が正しい値（言い換えると k_1' 、 k_0 が正しくない値）である場合、ステップ3では、 $2M + 1SR$ の計算量が削減できる。つまり、この場合の計算量は、

$$30M + 5S + 6I + 2SR + 2H + 2T$$

【0110】

最後に k_1' 、 k_0 が正しい値（言い換えると k_1 、 k_0' が正しくない値）である場合、ステップ2では、 $2M$ の計算量が削減できる。つまり、この場合の計算量は、

$$30M + 5S + 6I + 3SR + 2H + 2T$$

【0111】

上記の4つの場合が発生する確率を、計算機実験によって確認した結果、ほぼ同じ割合で発生していることが確認された。これ以降は、上記4つの場合が生じる確率は等しいとする。上記4つの場合の計算量の平均をとると、

$$30M + 5S + 6I + 2.5SR + 2H + 2T$$

となる。

【0112】

次に、例外ケースの、

$$ExHEC_HLV^2 \quad 1+1、$$

$$ExHEC_HLV^1 \quad 2+2、$$

$$ExHEC_HLV^2 \quad 2+2、$$

について考える。これらが発生する確率は無視できる程度であるので、計算量の評価は行なわない。

【0113】

まず、 $ExHEC_HLV^2 \quad 1+1$ のアルゴリズムを、図4のフローを参照して説明する。

$ExHEC_HLV^2 \quad 1+1$ は、 $ExHarDBL^1+1 \quad 2$ を逆から計算することにより実現する。 $ExHarDBL^1+1 \quad 2$ の入力因子を、

$$D_1 = (U_1, V_1)、U_1 = x + u_{10}、V_1 = v_{10}、$$

とすると、出力因子、

$$D_2 = (U_2, V_2) = 2D_1、U_2 = x^2 + u_{20}x、V_2 = v_{21}x + v_{20}、$$

は、次のように計算できる。

$$U_2 = x^2 + u_{20} = (x + u_{10})^2、$$

$$v_{12} = (u_{10}^4 + f_3 u_{10}^2 + f_1 + h_1 v_{10}) / h(u_{10})、$$

$$v_{20} = v_{10} + v_{21} u_{10}$$

【0114】

この関係式を用いて、 $ExHEC_HLV^2 \quad 1+1$ を計算する。

入力因子を、

$$D_2 = (U_2, V_2)、U_2 = x^2 + u_{20}x、V_2 = v_{21}x + v_{20}、$$

とする（図4のフロー：ステップS201）と、

10

20

30

40

50

出力因子、

$$D_1 = (U_1, V_1) = [1/2] D_2, U_1 = x + u_{10}, V_1 = v_{10},$$

を求めるため、

$$\text{ステップS202において、} u_{10} = u_{20},$$

$$\text{ステップS203において、} v_{10} = (v_{21} h(u_{10}) + u_{10}^4 + f_3 u_{10}^2 + f_1) / h_1,$$

とし、ステップS204において、

$$U_1 = x + u_{10}, V_1 = v_{10},$$

として、ステップS205において、

出力因子、

$$D_1 = (U_1, V_1)$$

を得る。

【0115】

次に、 $EXHEC_HLV^{2^2+2}$ の処理手順について、図5のフローを参照して説明する。ステップS301において、入力因子を、

$$D_2 = (U_2, V_2), U_2 = x^2 + u_{20}, V_2 = v_{21}x + v_{20},$$

とする。

【0116】

ステップS302において、 $k_1 h_2 + 1 = 0$ を k_1 に関して解き、 $k_1 = 1/h_2$ とする。

ステップS303において、

$$c_2 = f_4 - c_1 f_3 + h_2 v_{21} + u_{20} + u_{21} c_2$$

として、ステップS304において、

$k_1 h_0 + k_0 h_1 + c_1 = 0$ を k_0 に関して解き、 $k_0 = (k_1 h_0 + c_1) / h_1$ とする。

【0117】

次に、ステップS305において、 u_{11} を計算し、ステップS306において、

$$x h_2 + x^2 u_{11} + 1 = 0$$

が根を持つか否かを判定し、根を持たない場合は、ステップS307において、

$$D_1 = HEC_HLV^{2^1}(D_2)$$

によって出力 D_1 を決定 (ステップS308) する。

【0118】

一方、

$$x h_2 + x^2 u_{11} + 1 = 0$$

が根を持つ場合は、ステップS309に進み、 u_{10} を計算し、さらに、ステップS310において v_{11}, v_{10} を計算し、ステップS311において、

$$U_1 = x^2 + u_{11}x + u_{10}$$

$$V_1 = v_{11}x + v_{10}$$

として、ステップS312において出力、

$$D_1 = (U_1, V_1)$$

を得る。

【0119】

この、 $EXHEC_HLV^{2^2+2}$ の処理は、具体的には、以下の手順で行なわれる。

入力因子を、

$$D_2 = (U_2, V_2), U_2 = x^2 + u_{20}, V_2 = v_{21}x + v_{20},$$

として、

$$U_2 = x^2 + u_{20},$$

の場合、つまり U_2 の1次の項が0の場合、出力因子の候補は2つあり、それらを、

10

20

30

40

50

$$D_1 = (x + u_{20}, V_2(u_{20}))$$

$$D_1' = (x^2 + u_{11}x + u_{10}, v_{11}x + v_{10})$$

と表す。

【0120】

D_1 が正しければ、 $ExHEC_HLV^{2^{1+1}}$ で計算する。

D_1' が正しければ、 $ExHEC_HLV^{2^{2+2}}$ を用いて計算する。

どちらのアルゴリズムを用いるかは、次の手順で判定する。

1. D_1' が正しいと仮定する。

2. u_{11} を計算する。

3. $xh_2 + x^2u_{11} + 1 = 0$ のトレース $Tr(h_2 / u_{11}^2)$ を計算する。もし $Tr(h_2 / u_{11}^2) = 0$ ならば D_1' が正しいので、 $ExHEC_HLV^{2^{2+2}}$ を用いて計算する。そうではなくて $Tr(h_2 / u_{11}^2) = 1$ ならば、 D_1 が正しく、 $ExHEC_HLV^{2^{1+1}}$ を用いて計算する。

【0121】

$ExHEC_HLV^{2^{2+2}}$ の計算アルゴリズムを、アルゴリズム6 [Algorithm 6] として以下に示す。

【数 1 4】

Algorithm 6 *ExHEC_HLV*^{2→2+2}

Input : $D_2 = (U_2, V_2) = (x^2 + u_{20}, v_{21}x + v_{20})$ *Output* : $D_1 = (U_1, V_1) = (x^2 + u_{11}x + u_{10}, v_{11}x + v_{10}) = [1/2]D_2$

 $\gcd(h, U_i) = 1, i = 1, 2$

1. Solve $k_1 h_2 + 1 = 0$

$$k_1 \leftarrow 1/h_2$$

2. Select correct k_1 by solving $k_1 h_0 + k_0 h_1 + k_0^2 + c_1 = 0$

$$c_2 \leftarrow f_4, c_1 \leftarrow f_3 + h_2 v_{21} + u_{20} + c_2 u_{21}$$

$$c_0 \leftarrow f_2 + h_2 v_{20} + (h_1 + v_{21})v_{21} + c_2 u_{20} + c_1 u_{21}$$

$$k_0 \leftarrow (k_1 h_0 + c_1) / h_1$$

3. Select correct algorithm by checking trace of $xh_2 + x^2 u_{11} + 1 = 0$

$$u_{11} \leftarrow \sqrt{k_1 h_1 + k_0 h_2 + k_1^2 u_{20} + k_0^2 + c_2} / k_1, \gamma \leftarrow u_{11} / h_2^2$$

if $\text{Tr}(\gamma) = 1$ then

$$D_1 \leftarrow \text{ExHEC_HLV}^{2 \rightarrow 1+1}(D_2), \text{ return } D_1$$

4. Compute U_1

$$u_{10} \leftarrow \sqrt{k_0 h_0 + k_0^2 u_{20} + c_0} / k_1$$

5. Compute $V_1 = V_2 + h + kU_2 \text{ mod } U_1$

$$w \leftarrow h_2 + k_1$$

$$v_{11} \leftarrow h_1 + k_1 u_{20} + k_0 + u_{11} w$$

$$v_{10} \leftarrow v_{20} + h_0 + k_0 u_{20} + u_{10} w$$

6. $U_1(x) \leftarrow x^2 + u_{11}x + u_{10}, V_1(x) \leftarrow v_{11}x + v_{10}$ 7. return $D_1 = (U_1, V_1)$

次に、 $\text{ExHEC_HLV}^{1 \rightarrow 2+2}$ の処理手順について、図 6 のフローを参照して説明する。ステップ S 4 0 1 において、入力、

$$D_2 = (U_2, V_2)、$$

$$U_2 = x + u_{20}、$$

$$V_2 = v_{20}、$$

とする。

【 0 1 2 2 】

ステップ S 4 0 2 において、 $c_3 = f_4 + u_{20}$ として、ステップ S 4 0 3 において、

10

20

30

40

50

$k_1 h_2 + k_1^2 u_{21} + c_3 = 0$ の根、 k_1, k_1' を求め、ステップ S 4 0 4 において、

$$c_2 f_3 + c_3 u_{20},$$

$$c_1 f_2 + h_2 v_{20} + c_2 u_{20},$$

とおき、ステップ S 4 0 5 において、 $k_1 h_0 + k_0 h_1 + k_0^2 + c_1 = 0$ が根を持つか否かを判定し、根を持たない場合は、ステップ S 4 0 6 において、 k_1, k_1' とした後、ステップ S 4 0 7 に進み、根を持つ場合はそのままステップ S 4 0 7 に進む。

【 0 1 2 3 】

ステップ S 4 0 7 では、 $k_1 h_0 + k_0 h_1 + k_0^2 + c_1 = 0$ の根、 k_0, k_0' を求め、次にステップ S 4 0 8 に進み、 u_{11} を計算し、ステップ S 4 0 9 において、 $x h_2 + x^2 u_{11} + 1 = 0$ が根を持つか否かを判定し、根を持たない場合は、ステップ S 4 1 0 において k_0, k_0' とした後ステップ S 4 1 1 に進む。根を持つ場合は、そのままステップ S 4 1 1 に進み、 u_{10} を計算する。さらに、ステップ S 4 1 2 において、 v_{11}, v_{10} を計算し、ステップ S 4 1 3 において、

$$U_1 = x^2 + u_{11}x + u_{10}$$

$$V_1 = v_{11}x + v_{10}$$

として、

ステップ S 4 1 4 において、出力、

$$D_1 = (U_1, V_1)$$

を得る。

【 0 1 2 4 】

$ExHEC_HLV^{1-2+2}$ の計算手順は、 HEC_HLV と似ているが、大きな違いは入力因子の *weight* である。そのため、 $ExHEC_HLV^{1-2+2}$ の $f + h V_1' + V_1'^2$ は、5 次のもニック多項式となり、

$$U_1' = (f + h V_1' + V_1'^2) / U_2,$$

は HEC_HLV のように k_1^2 で割ることはない。 $ExHEC_HLV^{1-2+2}$ の計算アルゴリズムを、アルゴリズム 7 [Algorithm 7] として以下に示す。

10

20

【数 1 5】

Algorithm 7 ExHEC_HLV^{1→2+2}

Input : $D_2 = (U_2, V_2) = (x + u_{20}, v_{20})$ *Output* : $D_1 = (U_1, V_1) = (x^2 + u_{11}x + u_{10}, v_{11}x + v_{10}) = [1/2]D_2$

 $\gcd(h, U_i) = 1, i = 1, 2$

1. Solve $k_1 h_2 + k_1^2 u_{21} + c_3 = 0$ 10 $c_3 \leftarrow f_4 + u_{20}, \alpha \leftarrow h_2, \gamma \leftarrow c_3 / (u_{21} \alpha^2)$ $k_1 \leftarrow H(\gamma)\alpha, k_1' \leftarrow k_1 + \alpha$ 2. Select correct k_1 by solving $k_1 h_0 + k_0 h_1 + k_0^2 + c_1 = 0$ $c_2 \leftarrow f_3 + c_3 u_{20}, c_1 \leftarrow f_2 + h_2 v_{20} + c_2 u_{20}, c_0 \leftarrow f_1 + h_1 v_{20} + c_1 u_{20}$ $\alpha \leftarrow h_1, \gamma \leftarrow (c_1 + k_1 h_0) / \alpha^2$ if $\text{Tr}(\gamma) = 1$ then $k_1 \leftarrow k_1', \gamma \leftarrow (c_1 + k_1 h_0) / \alpha^2$ $k_0 \leftarrow H(\gamma)\alpha, k_1' \leftarrow k_1 + \alpha$ 203. Select correct k_0 by checking trace of $xh_2 + x^2 u_{11} + 1 = 0$ $u_{11} \leftarrow \sqrt{k_1 h_1 + k_0 h_2 + k_1^2 u_{20} + c_2}, \gamma \leftarrow u_{11} / h_2^2$ if $\text{Tr}(\gamma) = 1$ then $k_0 \leftarrow k_0', u_{11} \leftarrow \sqrt{k_1 h_1 + k_0 h_2 + k_1^2 u_{20} + c_2}$ 4. Compute U_1 $u_{10} \leftarrow \sqrt{k_0 h_0 + k_0^2 u_{20} + c_0}$ 5. Compute $V_1 = V_2 + h + kU_2 \bmod U_1$ 30 $w \leftarrow h_2 + k_1$ $v_{11} \leftarrow h_1 + k_1 u_{20} + k_0 + u_{11} w$ $v_{10} \leftarrow v_{20} + h_0 + k_0 u_{20} + u_{10} w$ 6. $U_1(x) \leftarrow x^2 + u_{11}x + u_{10}, V_1(x) \leftarrow v_{11}x + v_{10}$ 7. return $D_1 = (U_1, V_1)$

【0 1 2 5】

[処理例 2 : 提案法 F 1] 40

処理例 2 (提案法 F 1) は、種数 2 , 標数 2 の $h(x) = x^2 + h_1 x + h_0$ 、 $f_4 = 0$ をパラメータに持つような超楕円曲線において因子 D の 1 / 2 倍算を計算する方法である。

【0 1 2 6】

Algorithm 5 を良く見ると、 $h(x)$ の係数との乗算、 $h(x)$ の係数の逆元演算が多くある。つまり、 $h(x)$ の係数を工夫することにより、乗算および逆元演算の計算量を削減することができる。なお、文献 (非特許文献 19 : T. Lange. Efficient Doubling on Genus Two Curves over Binary Fields, SAC 2004, pre-proceedings, pp.189-202, 2004.) では、高速化のため、 $h_2 = 1$ 、 $f_4 = 0$ を用いている。このパラメータを用いた場合の Harley DBL の計算量は、 $2.1M + 5S + 1I$ である。 50

【 0 1 2 7 】

ここで説明する処理例 2 (提案法 F 1) もこれに条件を合わせることにするが、補題 1 より、 $h(x)$ は既約多項式を仮定しているため、

$$h(x) = x^2 + h_1 x + h_0、$$

$$\text{Tr}(h_0 / h_1^2) = 1 [0]$$

とする (二次方程式 $ax^2 + bx + c = 0$ が既約多項式であるための必要十分条件は $\text{Tr}(ac / b^2) = 1$ である)。この場合の計算法をアルゴリズム 8 [Algorithm 8] HEC_HLV ($h_2 = 1$ 、 $f_4 = 0$) に示す。

【 0 1 2 8 】

【数 1 6】

Algorithm 8 *HEC_HLV*($h_2 = 1, f_4 = 0$)

Input : $D_2 = (U_2, V_2)$, $invu = 1/u_{21}, 1/h_1^2$ *Output* : $D_1 = (U_1, V_1) = [1/2]D_2$, $invu = 1/u_{11}$

 $U_i(x) = x^2 + u_{i1}x + u_{i0}, V_i(x) = v_{i1}x + v_{i0}, \gcd(h, U_i) = 1, i = 1, 2$

1. Solve $k_1 + k_1^2 u_{21} + 1 = 0$ $\alpha \leftarrow invu, k_1 \leftarrow H(u_{21})\alpha, k_1' \leftarrow k_1 + \alpha$ 2. Select correct k_1 by solving $k_1 h_0 + k_0 h_1 + k_0^2 u_{21} + c_1 = 0$ $c_1 \leftarrow f_3 + v_{21} + u_{20} + u_{21}^2$ $c_0 \leftarrow f_2 + v_{20} + v_{21}(h_1 + v_{21}) + u_{21}(u_{20} + c_1)$ $w_0 \leftarrow u_{21}/h_1^2, \alpha \leftarrow h_1\alpha, \gamma \leftarrow (c_1 + k_1 h_0)w_0$ if $\text{Tr}(\gamma) = 1$ then $k_1 \leftarrow k_1', \gamma \leftarrow (c_1 + k_1 h_0)w_0$ $k_0 \leftarrow H(\gamma)\alpha, k_0' \leftarrow k_0 + \alpha$ 3. Select correct k_0 by checking trace of $x + x^2 u_{11} + 1 = 0$ $w_0 \leftarrow k_1^2, w_1 \leftarrow w_0 u_{20} + k_1 h_1 + u_{21}$ $w_2 \leftarrow k_0 + \sqrt{w_1 + k_0}, w_3 \leftarrow k_0' + \sqrt{w_1 + k_0'}, w_4 \leftarrow w_2 w_3$ $w_1 \leftarrow 1/(w_4 k_1), w_4 \leftarrow w_1 w_4, u_{11} \leftarrow w_2 w_4$ if $\text{Tr}(\gamma) = 1$ then $k_0 \leftarrow k_0', u_{11} \leftarrow w_3 w_4, w_2 \leftrightarrow w_3$ $invu \leftarrow w_0 w_1 w_3$ 4. Compute U_1 $w_1 \leftarrow k_0 u_{20}, w_5 \leftarrow k_1 u_{21}, w_6 \leftarrow (k_0 + k_1)(u_{20} + u_{21})$ $u_{10} \leftarrow w_4 \sqrt{k_0(w_1 + h_0) + c_0}$ 5. Compute $V_1 = V_2 + h + kU_2 \text{ mod } U_1$ $w_4 \leftarrow w_5 + k_0 + 1, w_5 \leftarrow w_1 + w_5 + w_6 + v_{21} + h_1$ $w_6 \leftarrow w_1 + v_{20} + h_0, w_7 \leftarrow k_1 u_{11} + w_4$ $w_1 \leftarrow w_7 u_{10}, w_3 \leftarrow (k_1 + w_7)(u_{10} + u_{11})$ $v_{11} \leftarrow w_1 + w_3 + w_4 + w_5 + w_7$ $v_{10} \leftarrow w_1 + w_6$ 6. $U_1(x) \leftarrow x^2 + u_{11}x + u_{10}, V_1(x) \leftarrow v_{11}x + v_{10}$ 7. return $D_1 = (U_1, V_1), invu$

【0 1 2 9】

また、逆元演算の回数を削除するため、モンゴメリトリックと呼ばれる手法を用いている。これは、例えば3個の有限体の元 a 、 b 、 c の逆元を求めたい場合、まず、3つの元の積を求め、これの逆元を $w = 1 / (a * b * c)$ などと求める。次に、 a の逆元を求める場合は、 $w * b * c$ を計算する。 b 、 c の逆元も同様にして、 $w * a * c$ 、 $w * a * b$ とそれぞれ計算する。

【 0 1 3 0 】

通常、逆元演算は、乗算の数倍程度（後で示すが、ソフトウェア実装を行った結果、逆元演算は乗算の8倍程度）の計算量である。そのため、例えば3つの元の逆元を求める場合、素直に3回逆元演算を行えば、 $I = 8M$ と仮定すると、 $24M$ の計算量となる。逆に、前述のモンゴメリトリックを用いた場合は、 $I + 8M = 16M$ となり、3回逆元演算を行うよりも高速である。

【 0 1 3 1 】

ここで説明している処理例2（提案法F1）では、このモンゴメリトリックを用いて、 $u_{1,1}$ の逆元を求めている。 $u_{1,1}$ の逆元は、次回の $1/2$ 倍算の入力として与える。そのため、Algorithm 8は、 $[1/2^i]D$ を計算することができ、因子Dのスカ
10
ラー倍算を行う場合、right-to-left法、つまり、 $[1/2^i]D$ を加算する方法に適用できる。 $1/2$ 倍算を用いたスカラー倍算については、後ほど述べる。また、この計算量は次の通りである。

(a) k_1, k_0 が正しい値である場合： $24M + 2S + 1I + 3SR + 2H + 2T$

(b) k_1, k_0' が正しい値である場合： $26M + 2S + 1I + 3SR + 2H + 2T$

(c) k_1', k_0 が正しい値である場合： $25M + 2S + 1I + 3SR + 2H + 2T$

(d) k_1', k_0' が正しい値である場合： $27M + 2S + 1I + 3SR + 2H + 2T$

上記(a)～(d)のすべてについて平均すると、 $25.5M + 2S + 1I + 3SR + 2H + 2T$ となる。

【 0 1 3 2 】

Harley DBLの計算量は、 $21M + 5S + 1I$ であった。ここで、文献[(非特許文献15) E.Knudsen. Elliptic Scalar Multiplication Using Point Halving. ASIACRYPTO '99, LNCS 1716, pp.135-149, Springer-Verlag, 1999.]によると、有限体が正規基底で定義されている場合、S(2乗算)、SR(平方根演算)、H(ハーフトレース(二次方程式の根を求める演算))、T(トレース(二次方程式の根があるか否かの判定))の計算量は無視することができ、M(乗算)、I(逆元演算)の計算量のみ考慮すればよいことが知られている。そのため、正規基底を用いた場合、Algorithm 8はHarley DBLよりも4.5M低速となる。

【 0 1 3 3 】

また、有限体が多項式基底で定義されている場合、文献[(非特許文献16) K.Fong, D.Hankerson, J.Lopez, and A.Menezes. Field inversion and point halving revised. Technical Report CORR2003-18, <http://www.cacr.math.uwaterloo.ca/techreports/2003/corr2003-18.pdf> 18]によると、通常SR(平方根演算)、H(ハーフトレース(二次方程式の根を求める演算))の計算量は、M(乗算)との対比において、 $SR = H = 0.5M$ 程度であることが知られている。また、T(トレース(二次方程式の根があるか否かの判定))の計算量は無視できる。さらにS(2乗算)の計算量は、M(乗算)の数分の1程度であることが知られている。しかしながら、SRの計算量は、多項式基底の選び方によっては、 $0.5M$ よりも少なくなることも、同時に知られている。なお、例外ケースは、前述の処理例1(提案法A1)の例外ケースに基いて計算できる。

【 0 1 3 4 】

[処理例3 (提案法B1)]

処理例3(提案法B1)は、種数2、標数2の $h(x) = x^2 + x + h_0$ 、 $f_4 = 0$ をパラメータに持つような超楕円曲線において、因子Dの $1/2$ 倍算を計算する方法である。

【 0 1 3 5 】

前述の処理例2(提案法F1)において説明したように、処理例1(提案法A1)において説明した $1/2$ 倍算の計算アルゴリズム、すなわち、アルゴリズム5 [Algorithm 5 HEC_HLV]を良く見ると、 $h(x)$ の係数との乗算、 $h(x)$ の係数の逆元演算が多くある。つまり、 $h(x)$ の係数を工夫することにより、乗算および逆元演算の計算量を削減することができる。文献[J.Pelzl, T.Wollinger, and C.Paar. High
40
50

Performance Arithmetic for Hyperelliptic Curve Cryptosystems of Genus Two. Cryptology ePrint Archive, 2003/212, IACR, 2003] では、高速化のために、 $h_2, h_1 \in \{0, 1\}$, $f_4 = 0$ を用いた例を示している。

【0136】

このパラメータを用いた場合の [Harley DBL] の計算量は、
 $18M + 7S + 1I$
 である。

【0137】

処理例3 (提案法 B1) もこれに条件を合わせることにするが、前述した [補題1] より、 $h(x)$ は既約多項式を仮定しているため、

$$h(x) = x^2 + x + h_0,$$

$$\text{Tr}(h_0) = 1$$

とする (二次方程式 $ax^2 + bx + c = 0$ が既約多項式であるための必要十分条件は $\text{Tr}(ac/b^2) = 1$ である)。

【0138】

この場合の計算法示すアルゴリズムをアルゴリズム10 [Algorithm 10 HECHLV ($h_2 = h_1 = 1, f_4 = 0$)] として以下に示す。

【数 1 7】

Algorithm10 *HEC_HLV* ($h_2 = h_1 = 1, f_4 = 0$)

Input : $D_2 = (U_2, V_2)$, $invu = 1/u_{21}$

Output : $D_1 = (U_1, V_1) = [1/2]D_2$, $invu = 1/u_{11}$

$U_i(x) = x^2 + u_{i1}x + u_{i0}$, $V_i(x) = v_{i1}x + v_{i0}$, $\gcd(h, U_i) = 1, i = 1, 2$

1. Solve $k_1 + k_1^2 u_{21} + 1 = 0$

$\alpha \leftarrow invu$, $k_1 \leftarrow H(u_{21})\alpha$, $k_1' \leftarrow k_1 + \alpha$

10

2. Select correct k_1 by solving $k_1 h_0 + k_0 + k_0^2 u_{21} + c_1 = 0$

$c_1 \leftarrow f_3 + v_{21} + u_{20} + u_{21}^2$

$c_0 \leftarrow f_2 + v_{20} + v_{21} + v_{21}^2 + u_{21}(u_{20} + c_1)$

$\gamma \leftarrow (c_1 + k_1 h_0)u_{21}$

if $\text{Tr}(\gamma) = 1$ then $k_1 \leftarrow k_1'$, $\gamma \leftarrow \gamma + h_0$

$k_0 \leftarrow H(\gamma)\alpha$, $k_0' \leftarrow k_0 + \alpha$

3. Select correct k_0 by checking trace of $x + x^2 u_{11} + 1 = 0$

20

$w_0 \leftarrow k_1^2$, $w_1 \leftarrow w_0 u_{20} + k_1 + u_{21}$

$w_2 \leftarrow k_0 + \sqrt{w_1 + k_0}$, $w_3 \leftarrow k_0' + \sqrt{w_1 + k_0'}$, $w_4 \leftarrow w_2 w_3$

$w_1 \leftarrow 1/(w_4 k_1)$, $w_4 \leftarrow w_1 w_4$, $u_{11} \leftarrow w_2 w_4$

if $\text{Tr}(u_{11}) = 1$ then

$k_0 \leftarrow k_0'$, $u_{11} \leftarrow w_3 w_4$, $w_2 \leftrightarrow w_3$

4. Compute U_1

$w_0 \leftarrow w_0 w_1$, $w_1 \leftarrow k_0 u_{20}$, $w_5 \leftarrow k_1 u_{21}$, $w_6 \leftarrow (k_0 + k_1)(u_{20} + u_{21})$

$u_{10} \leftarrow w_4 \sqrt{k_0(w_1 + h_0)} + c_0$

30

5. Compute $V_1 = V_2 + h + kU_2 \text{ mod } U_1$

$w_4 \leftarrow w_5 + k_0 + 1$, $w_5 \leftarrow w_1 + w_5 + w_6 + v_{21} + 1$, $w_6 \leftarrow w_1 + v_{20} + h_0$

$invu \leftarrow w_0 w_3$

$w_0 \leftarrow w_2 + w_4$, $w_1 \leftarrow w_0 u_{10}$, $w_3 \leftarrow (k_0 + k_1)(u_{10} + u_{11})$

$v_{10} \leftarrow w_1 + w_2 + w_3 + w_5$

$v_{11} \leftarrow w_1 + w_6$

6. $U_1(x) \leftarrow x^2 + u_{11}x + u_{10}$, $V_1(x) \leftarrow v_{11}x + v_{10}$

7. return $D_1 = (U_1, V_1)$, $invu$

40

【0 1 3 9】

また、逆元演算の回数を削除するため、前述の処理例 2（提案法 F 1）と同様、モンゴメリトリック手法を用いている。本処理例においてもモンゴメリトリックを用いて、 u_{11} の逆元を求めている。 u_{11} の逆元は、次回の 1 / 2 倍算の入力として与える。この処理例における計算量は次の通りである。

(a) k_1 , k_0 が正しい値である場合 : 1 9 M + 3 S + 1 I + 3 S R + 2 H + 2 T

(b) k_1 , k_0' が正しい値である場合 : 2 0 M + 3 S + 1 I + 3 S R + 2 H + 2 T

(c) k_1' , k_0 が正しい値である場合 : 1 9 M + 3 S + 1 I + 3 S R + 2 H + 2 T

50

(d) k_1', k_0' が正しい値である場合: $20M + 3S + 1I + 3SR + 2H + 2T$
【0140】

上記(a) ~ (d) のすべての場合について平均すると、

$$19.5M + 3S + 1I + 3SR + 2H + 2T$$

となる。Harley DBLの計算量は、 $18M + 7S + 1I$ であった。ここで、前述したように、文献[E.Knudsén. Elliptic Scalar Multiplication Using Point Halving. ASIACRYPTO '99, LNCS 1716, pp.135-149, Springer-Verlag, 1999.]によると、有限体が正規基底で定義されている場合、S(2乗算), SR(平方根演算), H(ハーフトレース(二次方程式の根を求める演算)), T(トレース(二次方程式の根があるか否かの判定))の計算量は無視することができ、M(乗算), I(逆元演算)の計算量のみ考慮すればよいことが知られている。

10

【0141】

そのため、正規基底を用いた場合、上述したアルゴリズム10[Algorithm 10]は、従来のアルゴリズム[Harley DBL]よりも、 $1.5M$ 低速となる。また、有限体が多項式基底で定義されている場合、文献[K.Fong, D.Hankerson, J.Lopez, and A.Menezes. Field inversion and point halving revised. Technical Report CORR2003-18, <http://www.cacr.math.uwaterloo.ca/techreports/2003/corr2003-18.pdf>]によると、通常SR, Hの計算量は、 $SR = H = 0.5M$ 程度であることが知られている。また、Tの計算量は無視できる。さらにSの計算量は、Mの数分の1程度であることが知られている。しかしながら、SRの計算量は、多項式基底の選び方によっては、 $0.5M$ よりも少なくなることも同時に知られている。

20

【0142】

さて、前述のアルゴリズム10[Algorithm 10]の曲線にさらに、 $h_0 = 1$ の制約を設ける。前述のアルゴリズム10[Algorithm 10]は、 h_0 の乗算が1回あるので、 $h_0 = 1$ とすることにより、 $1M$ の削減ができ、上記(a) ~ (d)のすべての場合についての平均の計算量は、

$$18.5M + 3S + 1I + 3SR + 2H + 2T$$

となる。一方、Harley DBLは、計算量は、

$$15M + 7S + 1I$$

である。なお、例外ケースは、前述の処理例1(提案法A1)の例外ケースに基いて計算できる。

30

【0143】

[処理例4(提案法E1)]

処理例4(提案法E1)は、種数2、標数2の $h(x) = x$ をパラメータに持つような超楕円曲線において、因子Dの $1/2$ 倍算を計算する方法である。

【0144】

処理例3(提案法B1)と同様、アルゴリズム5(Algorithm 5)において、 $h(x)$ を $h(x) = x$ とすることで、因子の $1/2$ 倍算に必要な有限体上の元の乗算および逆元演算の計算量を削減することができる。具体例として $f(x) = x^5 + f_1x + f_0$ の場合のアルゴリズムを、アルゴリズム12(Algorithm 12)として、以下に示す。

40

【数 1 8】

Algorithm 12 *HEC_HLV* ($h(x) = x, f(x) = x^5 + f_1x + f_0$)

Input : $D_2 = (U_2, V_2)$

Output : $D_1 = (U_1, V_1) = [1/2]D_2$

$U_i(x) = x^2 + u_{i1}x + u_{i0}, V_i(x) = v_{i1}x + v_{i0}, \gcd(h, U_i) = 1, i = 1, 2$

1. Solve $k_1^2 u_{21} + 1 = 0$

$$w_0 \leftarrow 1/u_{21}, k_1 \leftarrow \sqrt{w_0}$$

2. Solve $k_0 + k_0^2 u_{21} + c_1 = 0$

$$c_1 \leftarrow u_{20} + u_{21}^2, w_1 \leftarrow c_1 u_{21}$$

$$c_0 \leftarrow v_{21} + v_{21}^2 + u_{21} u_{20} + w_1$$

$$\text{inv}k_1 \leftarrow \sqrt{u_{21}}, w_2 \leftarrow H(w_1), w_3 \leftarrow w_2 + 1$$

$$k_0 \leftarrow w_0 w_2, k'_0 \leftarrow k_0 + w_0$$

3. Compute U_1

$$u_{11} \leftarrow \sqrt{\text{inv}k_1 + k_0}, u_{10} \leftarrow \sqrt{(k_0 + c_1)u_{20} + c_0 u_{21}}$$

if $\text{Tr}(u_{11}(u_{10} + \text{inv}k_1 + k_0)) = 1$ then

$$k_0 \leftarrow k'_0, w_2 \leftarrow w_3, u_{11} \leftarrow u_{11} + k_1, u_{10} \leftarrow u_{10} + \sqrt{w_0 + u_{20}}$$

4. Compute $V_1 = V_2 + h + kU_2 \bmod U_1$

$$w_1 \leftarrow k_1(u_{21} + u_{11}) + k_0$$

$$v_{11} \leftarrow k_1(u_{20} + u_{10}) + w_2 + v_{21} + 1 + u_{11}w_1$$

$$v_{10} \leftarrow k_0 u_{20} + v_{20} + u_{10}w_1$$

5. $U_1(x) \leftarrow x^2 + u_{11}x + u_{10}, V_1(x) \leftarrow v_{11}x + v_{10}$

6. return $D_1 = (U_1, V_1)$

10

20

30

40

【0 1 4 5】

前述の処理例 3 (提案法 B 1) と同様に、上記のアルゴリズム 12 (Algorithm 12) について計算量を評価する。処理例 3 (提案法 B 1) と異なり、 $h(x) = x$ のタイプの超楕円曲線の場合、 k_1 は step . 1 において一意に決まるので、 k_0 のみ選択するステップが存在する (Step . 3)。計算量の少ない Best case は step . 3 の if 文の Trace が 0 の場合であり、Worst case は Trace が 1 の場合である。どちらも等確率で起こるため、平均の計算量は、

$$11.5M + 2S + 1I + 4.5SR + 1H + 1T$$

50

である。この計算量は前述の処理例3よりも少なく高速に演算できる。なお、例外ケースは、前述の処理例1（提案法A1）の例外ケースに基づいて計算できる。

【0146】

[処理例5（提案法C1）]

処理例5（提案法C1）は、種数2、標数2のランダムパラメータを持つような超楕円曲線、 $h(x) = x^2 + h_1x + h_0$ 、 $f_4 = 0$ をパラメータに持つ超楕円曲線、および $h(x) = x^2 + x + h_0$ 、 $f_4 = 0$ をパラメータに持つような超楕円曲線において、因子Dの1/2倍算を計算する際に、1/2倍したものの候補が2つ出てくる。2つの候補のうち、正しい値を選ぶ必要があるが、選ぶ際に、有限体のトレース、乗算、平方根を計算する必要がある。どちらが正しいかは、因子Dに依存する。そのため、因子Dが固定されている場合、事前に2つの候補のうち、どちらが正しいかをテーブルに保持し、正しい値を選ぶ際に、このテーブルを参照することにより、上記の余計な計算を省略する方法である。

10

【0147】

$k_1, k_1'(k_0, k_0')$ のどちらが正しいかは、入力因子Dに依存している。したがって、Dが固定されている場合、例えばECDH型鍵交換のフェーズ1や、ECDSA型署名生成、検証など、ベースポイントがあらかじめ決まっている場合、事前に、 $[1/2^i]D$ を計算し、 $k_1, k_1'(k_0, k_0')$ のどちらが正しい値であるかを、テーブルに記録しておく。

【0148】

例えば、ベースポイントの位数と同じビットサイズのテーブルを T_1, T_0 と二つ用意し、これらを2進数表現したものを、

$$T_1 = (t_{1,r-1}, \dots, t_{1,0})$$

$$T_0 = (t_{0,r-1}, \dots, t_{0,0})$$

とする。

【0149】

$[1/2^i]D$ を求める際に、

k_1 が正しければ、 $t_{1,i} = 0$ 、そうではなくて、 k_1' が正しければ $t_{1,i} = 1$

k_0 が正しければ $t_{0,i} = 0$ 、そうではなくて、 k_0' が正しければ $t_{0,i} = 1$ などとテーブルに記録すれば、テーブルサイズは、わずかベースポイントの位数のサイズの2倍程度のビット列で済む。このテーブルを参照することにより、1/2倍算の計算量を削減することができる。

30

【0150】

この方法をアルゴリズム8 [Algorithm 8] HEC_HLV($h_2 = 1, f_4 = 0$)に適用したものを、アルゴリズム9 [Algorithm 9] HEC_HLLV($h_2 = 1, f_4 = 0, with\ table-lookup$)として示す。計算量は、 $22M + 2S + 1I + 2SR + 2H$ となる。

【0151】

【数 1 9】

Algorithm9 *HEC_HLV*($h_2 = 1, f_4 = 0$, table-lookup)*Input* : $D_2 = (U_2, V_2)$, $invu = 1/u_{21}$, $1/h_1^2$, t_0 , t_1 *Output* : $D_1 = (U_1, V_1) = [1/2]D_2$, $invu = 1/u_{11}$ $U_i(x) = x^2 + u_{i1}x + u_{i0}$, $V_i(x) = v_{i1}x + v_{i0}$, $\gcd(h, U_i) = 1, i = 1, 2$ 1. Solve $k_1 + k_1^2 u_{21} + 1 = 0$ if $t_1 = 0$ then $k_1 \leftarrow H(u_{21})invu$ else $k_1 \leftarrow H(u_{21})invu + invu$

10

2. Solve $k_1 h_0 + k_0 h_1 + k_0^2 u_{21} + c_1 = 0$ $c_1 \leftarrow f_3 + v_{21} + u_{20} + u_{21}^2$ $c_0 \leftarrow f_2 + v_{20} + v_{21}(h_1 + v_{21}) + u_{21}(u_{20} + c_1)$ $\alpha \leftarrow h_1 invu$, $\gamma \leftarrow (c_1 + k_1 h_0)u_{21} / h_1^2$ if $t_0 = 0$ then $k_0 \leftarrow H(\gamma)\alpha$ else $k_0 \leftarrow H(\gamma)\alpha + \alpha$ 3. Compute U_1 $w_0 \leftarrow k_1^2$, $w_1 \leftarrow w_0 u_{20} + k_1 h_1 + u_{21}$, $w_2 \leftarrow k_0 + \sqrt{w_1 + k_0}$

20

 $w_1 \leftarrow 1/(w_2 k_1)$, $w_3 \leftarrow w_1 w_2$ $u_{11} \leftarrow w_2 w_3$, $invu \leftarrow w_0 w_1$ $w_1 \leftarrow k_0 u_{20}$, $w_5 \leftarrow k_1 u_{21}$, $w_6 \leftarrow (k_0 + k_1)(u_{20} + u_{21})$ $u_{10} \leftarrow w_3 \sqrt{k_0(w_1 + h_0) + c_0}$ 4. Compute $V_1 = V_2 + h + kU_2 \bmod U_1$ $w_4 \leftarrow w_5 + k_0 + 1$, $w_5 \leftarrow w_1 + w_5 + w_6 + v_{21} + h_1$ $w_6 \leftarrow w_1 + v_{20} + h_0$, $w_7 \leftarrow k_1 u_{11} + w_4$ $w_3 \leftarrow (k_1 + w_7)(u_{10} + u_{11})$, $w_1 \leftarrow w_7 u_{10}$

30

 $v_{11} \leftarrow w_1 + w_3 + w_4 + w_5 + w_7$ $v_{10} \leftarrow w_1 + w_6$ 6. $U_1(x) \leftarrow x^2 + u_{11}x + u_{10}$, $V_1(x) \leftarrow v_{11}x + v_{10}$ 7. return $D_1 = (U_1, V_1)$, $invu$

【0 1 5 2】

40

具体的に、この方法を上述のアルゴリズム10 [Algorithm10 HEC_HLV ($h_2 = h_1 = 1, f_4 = 0$)] に適用したアルゴリズムをアルゴリズム11 [Algorithm11 HEC_HLV ($h_2 = h_1 = 1, f_4 = 0, with\ table-lookup$)] として、以下に示す。

【0 1 5 3】

【数 2 0】

Algorithm 11 *HEC_HLV* ($h_2 = h_1 = 1, f_4 = 0$, with table-lookup)

Input : $D_2 = (U_2, V_2)$, $invu = 1/u_{21}$, t_0, t_1 *Output* : $D_1 = (U_1, V_1) = [1/2]D_2$, $invu = 1/u_{11}$

 $U_i(x) = x^2 + u_{i1}x + u_{i0}$, $V_i(x) = v_{i1}x + v_{i0}$, $\gcd(h, U_1) = 1$

1. Solve $k_1 + k_1^2 u_{21} + 1 = 0$ and select correct k_1 via t_1 10 $\alpha \leftarrow invu$, $k_1 \leftarrow H(u_{21})\alpha$ if $t_1 = 0$ then $k_1 \leftarrow k_1 + \alpha$ 2. Solving $k_1 h_0 + k_0 + k_0^2 u_{21} + c_1 = 0$ and select correct k_0 via t_0 $c_1 \leftarrow f_3 + v_{21} + u_{20} + u_{21}^2$ $c_0 \leftarrow f_2 + v_{20} + v_{21} + v_{21}^2 + u_{21}(u_{20} + c_1)$ $\gamma \leftarrow (c_1 + k_1 h_0)u_{21}$ $k_0 \leftarrow H(\gamma)\alpha$ if $t_1 = 0$ then $k_0 \leftarrow k_0 + \alpha$ 203. Compute U_1 $w_0 \leftarrow k_1^2$, $w_1 \leftarrow w_0 u_{20} + k_1 + u_{21}$ $w_2 \leftarrow k_0 + \sqrt{w_1 + k_0}$ $w_3 \leftarrow 1/(w_2 k_1)$, $w_4 \leftarrow w_1 w_2$ $u_{11} \leftarrow w_2 w_4$ $w_0 \leftarrow w_0 w_1$, $w_1 \leftarrow k_0 u_{20}$, $w_5 \leftarrow k_1 u_{21}$, $w_6 \leftarrow (k_0 + k_1)(u_{20} + u_{21})$ $u_{10} \leftarrow w_4 \sqrt{k_0(w_1 + h_0) + c_0}$ 305. Compute $V_1 = V_2 + h + kU_2 \bmod U_1$ $w_4 \leftarrow w_5 + k_0 + 1$, $w_5 \leftarrow w_1 + w_5 + w_6 + v_{21} + 1$, $w_6 \leftarrow w_1 + v_{20} + h_0$ $invu \leftarrow w_0$ $w_0 \leftarrow w_2 + w_4$, $w_1 \leftarrow w_0 u_{10}$, $w_3 \leftarrow (k_0 + k_1)(u_{10} + u_{11})$ $v_{10} \leftarrow w_1 + w_2 + w_3 + w_5$ $v_{11} \leftarrow w_1 + w_6$ 6. $U_1(x) \leftarrow x^2 + u_{11}x + u_{10}$, $V_1(x) \leftarrow v_{11}x + v_{10}$ 7. return $D_1 = (U_1, V_1)$, $invu = 1/u_{11}$ 40

【 0 1 5 4】

上記アルゴリズム 11 [Algorithm 11 HEC_HLV ($h_2 = h_1 = 1$, $f_4 = 0$, with table-lookup)] における計算量は、18M + 3S + 1I + 2SR + 2H となり、さらに $h_0 = 1$ とすることにより、1M の削減ができ、この場合の計算量は、

17M + 3S + 1I + 2SR + 2H となる。

【 0 1 5 5】

さらにこの方法を、前述のアルゴリズム 12 [Algorithm 12 HEC_HL 50

V (h (x) = x , f (x) = x⁵ + f₁ x + f₀] に適用したアルゴリズムを、アルゴリズム 13 [Algorithm 13 HEC_HLV (h (x) = x⁵ + f₁ x + f₀ , with table - lookup) として、以下に示す。

【 0 1 5 6 】

【 数 2 1 】

Algorithm13 HEC_HLV (h (x) = x , f (x) = x⁵ + f₁ x + f₀ , with table-lookup)

Input : D₂ = (U₂, V₂), t₀

10

Output : D₁ = (U₁, V₁) = [1 / 2] D₂

$U_i(x) = x^2 + u_{i1}x + u_{i0}$, $V_i(x) = v_{i1}x + v_{i0}$, $\gcd(h, U_1) = 1$

1. Solve $k_1^2 u_{21} + 1 = 0$

$w_0 \leftarrow 1/u_{21}$, $k_1 \leftarrow \sqrt{w_0}$

2. Solve $k_0 + k_0^2 u_{21} + c_1 = 0$

$c_1 \leftarrow u_{20} + u_{21}^2$, $w_1 \leftarrow c_1 u_{21}$

$c_0 \leftarrow v_{21} + v_{21}^2 + u_{21} u_{20} + w_1$

20

$invk_1 \leftarrow \sqrt{u_{21}}$, $w_2 \leftarrow H(w_1)$

if $t_0 = 0$ then

$k_0 \leftarrow w_0 w_2$

else

$k_0 \leftarrow w_0 w_2 + w_0$, $w_2 \leftarrow w_2 + 1$

3. Compute U₁

$u_{11} \leftarrow \sqrt{invk_1 + k_0}$, $u_{10} \leftarrow \sqrt{(k_0 + c_1)u_{20} + c_0 u_{21}}$

4. Compute V₁ = V₂ + h + k U₂ mod U₁

30

$w_1 \leftarrow k_1(u_{21} + u_{11}) + k_0$

$v_{11} \leftarrow k_1(u_{20} + u_{10}) + w_2 + v_{21} + 1 + u_{11} w_1$

$v_{10} \leftarrow k_0 u_{20} + v_{20} + u_{10} w_1$

5. U₁(x) ← x² + u₁₁x + u₁₀, V₁(x) ← v₁₁x + v₁₀

6. return D₁ = (U₁, V₁)

【 0 1 5 7 】

上記アルゴリズムにおける計算量は、

40

9 . 5 M + 2 S + 1 I + 3 . 5 S R + 1 H

であり、さらに高速化が実現される。

【 0 1 5 8 】

[処理例 6 (提案法 D 1)]

処理例 6 (提案法 D 1) は、上記処理例 1 ~ 5 に示す因子の 1 / 2 倍算の計算方法を用いて、因子のスカラー倍算を計算する方法である。

【 0 1 5 9 】

楕円曲線での有理点の 1 / 2 倍算を用いたスカラー倍算の計算方法は、文献 [E. Knudsen. Elliptic Scalar Multiplication Using Point Halving. ASIACRYPTO '99, LNCS 1716 , pp.135-149, Springer-Verlag, 1999.] にある。超楕円曲線の因子の 1 / 2 倍算を用い

50

たスカラー倍算の計算方法は、この文献にあるスカラー倍算に基づいて実行される。ただし、 $[1/2^i]D$ を計算し、加算していく *right-to-left* 法を用いる。このアルゴリズムを、アルゴリズム14 [Algorithm14 Scalar Multiplication]として以下に示す。
【数22】

Algorithm14 *Scalar Multiplication*

Input : $D \in \mathbf{J}(\mathbb{F}_{2^n})$ such that $2D \neq O$, $d \in \mathbb{Z}$, r : order of D , $m = \lfloor \log_2 r \rfloor$

10

Output : scalar multiplication dD

1. $\sum_{i=0}^m \hat{d}_i 2^i \leftarrow 2^m d \pmod r$, $\hat{d}_i \in \{0,1\}$
 2. $\sum_{i=0}^m d_i / 2^i \leftarrow \sum_{i=0}^m \hat{d}_i 2^{i-m}$, $d_i \in \{0,1\}$
 3. $Q \leftarrow O$, $R \leftarrow D$, $invu \leftarrow 1/u_1$
 4. for i from 0 to m do:
 - if $d_i = 1$ then $Q \leftarrow Q + R$
 - $(R, invu) \leftarrow HEC_HLV(R, invu)$
 5. return Q
-

20

【0160】

上記アルゴリズム14 [Algorithm14 Scalar Multiplication]のステップ4に出てくる HEC_HLV は、ランダムカーブを用いた前述のアルゴリズム5 [Algorithm5]の HEC_HLV でも良いし、アルゴリズム8 [Algorithm 8]の曲線パラメータに $h_2 = 1$, $f_4 = 0$ の制約を設けた HEC_HLV でも良いし、アルゴリズム8 [Algorithm 8]の曲線パラメータにテーブル参照法を適用した HEC_HLV でも良いし、アルゴリズム10 [Algorithm 10]の曲線パラメータに $h_2 = h_1 = 1$, $f_4 = 0$ の制約を設けた HEC_HLV でも良いし、アルゴリズム10 [Algorithm 10]の曲線パラメータに $h_2 = h_1 = h_0 = 1$, $f_4 = 0$ の制約を設けた HEC_HLV でも良いし、アルゴリズム10 [Algorithm 10]に対してテーブル参照法を適用した HEC_HLV でもよい。またアルゴリズム12 [Algorithm 12]の曲線パラメータの HEC_HLV でも良いし、アルゴリズム12 [Algorithm 12]に対してテーブル参照法を適用した HEC_HLV でもよい。

30

【0161】

40

[演算高速化の検証]

次に、上述した処理例1~6を適用した演算における計算量を求め、演算の高速化について検証する。

【0162】

$HEC_HLV(h_2 = 1, f_4 = 0)$ では、計算量は、平均で、
 $25.5M + 2S + 1I + 3SR + 2H + 2T$
 である。

【0163】

まず、有限体が正規基底で定義されている場合について考える。前述のとおり、正規基底を用いた場合、 M , I のみの計算量を考慮すればよい。文献 [A.Menezes. Elliptic Cu

50

「Finite Public Key Cryptosystems. Kluwer Academic Publishers, 1993.」によると、有限体を F_q , $q = 2^n$ とした場合、逆元計算一回は、下式によって算出される回数、すなわち、

【数 2 3】

$$\lceil \log_2(n-1) \rceil + w(n-1) - 1$$

10

20

【0 1 6 4】

上記式によって算出される回数の乗算に匹敵する。ここで、 $w(n-1)$ は $n-1$ を 2 進数で表示した際の 1 の個数を表す。例えば、 $n = 83, 89, 113$ の場合、 $I = 8M$ となり、 $n = 103$ の場合、 $I = 9M$ となる。

30

【0 1 6 5】

ここで、 $I = 8M$ を仮定すると、
 $HEC_HLV(h_2 = 1, f_4 = 0)$
 の計算量は、
 $25.5M + 1I = 33.5M$ となる。

【0 1 6 6】

一方、HarleyDBLでは、
 $21M + 1I = 29M$ となり、HarleyDBLの方がHEC_HLVよりも13%ほど高速となる。また、テーブル参照法を用いた場合では、

$22M + 1I = 30M$

40

となり、HarleyDBLは、HEC_HLVよりも3%ほど高速となる。

【0 1 6 7】

また、 $HEC_HLV(h_2 = h_1 = 1, f_4 = 0)$
 の計算量は、平均で、
 $19.5M + 3S + 1I + 3SR + 2H + 2T$
 となる。この場合は、
 $19.5M + 1I = 27.5M$
 となる。

【0 1 6 8】

一方、HarleyDBLでは、

50

$18M + 1I = 26M$ となり、HarleyDBLの方がHEC_HLVよりも5%ほど高速となる。また、テーブル参照法を用いた場合は、

$$18M + 1I = 26M$$

となり、HarleyDBLとHEC_HLVは同等の計算量となる。

【0169】

また、HEC_HLV ($h_2 = h_1 = h_0 = 1, f_4 = 0$)

の計算量は、平均で、

$$18.5M + 3S + 1I + 3SR + 2H + 2T$$

となる。この場合は、

$$18.5M + 1I = 26.5M$$

10

となる。

【0170】

一方、HarleyDBLでは、

$15M + 1I = 23M$ となり、HarleyDBLの方がHEC_HLVよりも13%ほど高速となる。また、テーブル参照法を用いた場合は、

$$17M + 1I = 25M$$

となり、HarleyDBLの方がHEC_HLVよりも8%ほど高速となる。

【0171】

また、多項式基底の場合をソフトウェア実装を行い、速度の比較を行った。

CPUは PentiumII 300MHz、

20

OSはRedHat7.3、

コンパイラはgcc2.96

の環境でソフトウェア実装を行った。

【0172】

M (乗算)、S (2乗算) は、文献 [D.Hankerson, J.Hernandez, and A.Menezes. Software Implementation of Elliptic Curve Cryptography over Binary Fields. CHES 2000, LNCS 1965, pp.1-24, 2000., Algorithm 4.6, 4.7]、I (逆元演算) は、文献 [S.Shantz. From Euclid's GCD to Montgomery Multiplication to the Great Divide. TR-2001-95, Sun Microsystems, Inc., 2001.]、SR (平方根演算)、T (トレース (二次方程式の根があるか否かの判定)) は、文献 [K.Fong, D.Hankerson, J.Lopez, and A.Menezes. Field inversion and point halving revised. Technical Report CORR2003-18, <http://www.cacr.math.uwaterloo.ca/techreports/2003/corr2003-18.pdf>]、H (ハーフトレース (二次方程式の根を求める演算)) は、文献 [K.Fong, D.Hankerson, J.Lopez, and A.Menezes. Field inversion and point halving revised. Technical Report CORR2003-18, <http://www.cacr.math.uwaterloo.ca/techreports/2003/corr2003-18.pdf> Algorithm 4.7] に従った。

30

【0173】

$n = 83, 89, 113$ の3つの有限体に対して、M, S, I, SR, H, Tを実装し、Mとの比を求めた。ここで、

$n = 83$ の既約多項式は、

40

$$z^{83} + z^7 + z^4 + z^2 + 1 = 0$$

$n = 89$ の既約多項式は、

$$z^{89} + z^{38} + 1 = 0$$

$n = 113$ の既約多項式は、

$$z^{113} + z^9 + 1 = 0$$

を用いた。

計算量は次の通りとなった。

$n = 83$: $S/M = 0.12, I/M = 7.96, SR/M = 0.57, H/M = 0.58$

$n = 89$: $S/M = 0.05, I/M = 8.74, SR/M = 0.14, H/M = 0.50$

50

6 1

$n = 113 : S / M = 0.06, I / M = 8.56, SR / M = 0.10, H / M = 0.50$

【0174】

これらを、HarleyDBLの計算量 $21M + 5S + 1I$ に適用すると次のようになる。

$n = 83 : \text{HarleyDBL } 29.56M$

$n = 89 : \text{HarleyDBL } 29.99M$

$n = 113 : \text{HarleyDBL } 29.86M$

【0175】

これらを、HEC_HLV($h_2 = 1, f_4 = 0$)の計算量、 $25.5M + 2S + 1I + 3SR + 2H + 2T$ に適用すると次のようになる。

$n = 83 : \text{HEC_HLV}(h_2 = 1, f_4 = 0) 36.57M$

$n = 89 : \text{HEC_HLV}(h_2 = 1, f_4 = 0) 35.98M$

$n = 113 : \text{HEC_HLV}(h_2 = 1, f_4 = 0) 35.48M$

【0176】

この場合、 $n = 83, 89, 113$ で、それぞれHarleyDBLの方がHEC_HLVよりも20%、17%、16%程度、高速である。

【0177】

さらに、HEC_HLV($h_2 = 1, f_4 = 0$)にテーブル参照法を適用した場合の計算量、 $22M + 2S + 1I + 2SR + 2H$ に適用すると次のようになる。

$n = 83 : \text{HEC_HLV}(h_2 = 1, f_4 = 0 \text{ with table-lookup}) 32.5M$

$n = 89 : \text{HEC_HLV}(h_2 = 1, f_4 = 0 \text{ with table-lookup}) 32.34M$

$n = 113 : \text{HEC_HLV}(h_2 = 1, f_4 = 0 \text{ with table-lookup}) 31.88M$

【0178】

この場合、 $n = 83, 89, 113$ で、それぞれHarleyDBLの方がHEC_HLVよりも9%、7%、6%程度、高速である。

【0179】

また、 $h_2 = h_1 = 1, f_4 = 0$ の場合は、次の通りとなる。

HarleyDBLの計算量 $18M + 7S + 1I$ に適用すると次のようになる。

$n = 83 : \text{HarleyDBL } 27.4M$

$n = 89 : \text{HarleyDBL } 27.09M$

$n = 113 : \text{HarleyDBL } 26.98M$

【0180】

次に、HEC_HLV($h_2 = h_1 = 1, f_4 = 0$)の計算量、 $19.5M + 3S + 1I + 3SR + 2H + 2T$ に適用すると次のようになる。

$n = 83 : \text{HEC_HLV}(h_2 = h_1 = 1, f_4 = 0) 30.69M$

$n = 89 : \text{HEC_HLV}(h_2 = h_1 = 1, f_4 = 0) 30.03M$

$n = 113 : \text{HEC_HLV}(h_2 = h_1 = 1, f_4 = 0) 29.54M$

【0181】

この場合、 $n = 83, 89, 113$ で、それぞれHarleyDBLの方がHEC_HLVよりも13%、12%、9%程度、高速である。

【0182】

さらに、HEC_HLV($h_2 = h_1 = 1, f_4 = 0$)にテーブル参照法を適用した場合の計算量、 $18M + 3S + 1I + 2SR + 2H$ に適用すると次のようになる。

$n = 83 : \text{HEC_HLV}(h_2 = h_1 = 1, f_4 = 0 \text{ with table-lookup}) 28.62M$

10

20

30

40

50

$n = 89$: H E C _ H L V ($h_2 = h_1 = 1$, $f_4 = 0$ with table - l o o k u p) 28 . 39 M

$n = 113$: H E C _ H L V ($h_2 = h_1 = 1$, $f_4 = 0$ with table - l o o k u p) 27 . 94 M

【0183】

この場合、 $n = 83$, 89 , 113 で、それぞれHarleyDBLの方がHEC_HLVよりも4%、5%、3%程度、高速である。

【0184】

また、 $h_2 = h_1 = h_0 = 1$, $f_4 = 0$ の場合は、次の通りとなる。

HarleyDBLの計算量 $15M + 7S + 1I$ に適用すると次のようになる。 10

$n = 83$: HarleyDBL 23 . 8 M

$n = 89$: HarleyDBL 24 . 09 M

$n = 113$: HarleyDBL 23 . 98 M

【0185】

次に、HEC_HLV ($h_2 = h_1 = h_0 = 1$, $f_4 = 0$)の計算量、 $18.5M + 3S + 1I + 3SR + 2H + 2T$ に適用すると次のようになる。

$n = 83$: H E C _ H L V ($h_2 = h_1 = h_0 = 1$, $f_4 = 0$) 29 . 69 M

$n = 89$: H E C _ H L V ($h_2 = h_1 = h_0 = 1$, $f_4 = 0$) 29 . 03 M

$n = 113$: H E C _ H L V ($h_2 = h_1 = h_0 = 1$, $f_4 = 0$) 28 . 54 M

【0186】

この場合、 $n = 83$, 89 , 113 で、それぞれHarleyDBLの方がHEC_HLVよりも20%、17%、16%程度、高速である。 20

【0187】

さらに、HEC_HLV ($h_2 = h_1 = h_0 = 1$, $f_4 = 0$)にテーブル参照法を適用した場合の計算量、 $17M + 3S + 1I + 2SR + 2H$ に適用すると次のようになる。

$n = 83$: H E C _ H L V ($h_2 = h_1 = h_0 = 1$, $f_4 = 0$ with table - l o o k u p) 27 . 62 M

$n = 89$: H E C _ H L V ($h_2 = h_1 = h_0 = 1$, $f_4 = 0$ with table - l o o k u p) 27 . 39 M

$n = 113$: H E C _ H L V ($h_2 = h_1 = h_0 = 1$, $f_4 = 0$ with table - l o o k u p) 26 . 94 M 30

【0188】

この場合、 $n = 83$, 89 , 113 で、それぞれHarleyDBLの方がHEC_HLVよりも14%、12%、11%程度、高速である。

【0189】

次に、上述のアルゴリズム12 [Algorithm12]、すなわち、[Algorithm12 HEC_HLV ($h(x) = x$, $f(x) = x^5 + f_1x + f_0$)]と、テーブル参照法を用いたアルゴリズム13 [Algorithm13]、すなわち、[Algorithm13 HEC_HLV ($h(x) = x$, $f(x) = x^5 + f_1x + f_0$, with table - l o o k u p)]について、HarleyDBLとの比較を行う。 40

【0190】

[Algorithm12 HEC_HLV ($h(x) = x$, $f(x) = x^5 + f_1x + f_0$)]の計算量は、 $11.5M + 2S + 1I + 4.5SR + 1H + 1T$ 、

[Algorithm13 HEC_HLV ($h(x) = x$, $f(x) = x^5 + f_1x + f_0$, with table - l o o k u p)]の計算量は、 $9.5M + 2S + 1I + 3.5SR + 1H$ である。HarleyDBLの計算量は、文献[(非特許文献19:T. Lange. Efficient Doubling on Genus Two Curves over Binary Fields, SAC 2004, pre-proceedings, pp.189-202, 2004.)]によると、 $6M + 5S + 1I$ である。前述のように、有限体が正規基底で定義されている場合、 S (2乗算)、 SR (平方根演算)、 H (50

ハーフトレース（二次方程式の根を求める演算）、T（トレース（二次方程式の根があるか否かの判定））の計算量は無視することができ、M（乗算）、I（逆元演算）の計算量のみ考慮すればよい。

【0191】

従って、アルゴリズム12 [Algorithm 12 HEC_HLV ($h(x) = x^2 + f_1x + f_0$), $f(x) = x^5 + f_1x + f_0$)] の計算量は、

$$11.5M + 2S + 1I + 4.5SR + 1H + 1T, \\ = 11.5M + 1I$$

となり、

アルゴリズム13 [Algorithm 13 HEC_HLV ($h(x) = x^2 + f_1x + f_0$, $f(x) = x^5 + f_1x + f_0$, with table-lookup)] の計算量は、 10

$$9.5M + 2S + 1I + 3.5SR + 1H \\ = 9.5M + 1I$$

となる。

【0192】

Harley DBL の計算量は、

$$6M + 1I$$

となる。従って、Harley DBLの方がHEC_HLVよりも高速となる。

【0193】

以上、説明したように、曲線パラメータ $h_2 = h_1 = 1$ 、 $f_4 = 0$ の場合の HEC_HLV にテーブル参照法を適用した場合の計算量 $18M + 3S + 1I + 2SR + 2H$ が、Harley DBL の計算量 $18M + 7S + 1I$ にほぼ等しく、同等の条件で HEC_HLV と Harley DBL とで比較した場合、最も高速なアルゴリズムである。 20

【0194】

次に、アルゴリズム14 [Algorithm 14 scalar multiplication] を用いたスカラー倍算の計算量を考える。曲線パラメータは、同等な条件で Harley DBL と比較して、最も高速な $h_2 = h_1 = 1$ 、 $f_4 = 0$ を用い、さらに、HEC_HLV にはテーブル参照法を用いた方法でスカラー倍算の計算量を考える。

【0195】

アルゴリズム14におけるステップ1、2がスカラー倍算全体に占める割合は非常に小さいため、これらの計算量は無視する。ここで、正規基底および多項式基底ともに $n = 83$ 、 89 、 113 の場合で計算量を考えてみる。また、ベースポイントの位数は、 $n = 83$ 、 89 、 113 に対してそれぞれ 165 ビット、 177 ビット、 225 ビットと仮定する。また、ステップ4の繰り返し部分では、ベースポイントの位数のビット数だけ繰り返す。因子の加算は文献 [T.Lange, Efficient arithmetic on genus 2 hyperelliptic curves over finite fields via explicit formulae. Cryptology ePrint Archive, 2002/121, IACR, 2002] を用いる。ただし、曲線パラメータは $h_2 = h_1 = 1$ 、 $f_4 = 0$ とする。この場合の因子の加算に必要な計算量は $21M + 3S + 1I$ である。スカラー値は2進数で表現した場合、0、1が同程度の割合で現れると仮定する。計算量は、（（加算の計算量）/ 2 + （1/2倍算 or 2倍残の計算量））×（ベースポイントの位数のビット数）で計算する。まずは、正規基底の場合から見てみる。 $I = 8M$ と仮定する。 30 40

【0196】

$h_2 = h_1 = 1$ 、 $f_4 = 0$ の場合、

$$n = 83 : \text{加算} \cdot 2 \text{倍算} : 6682.5M$$

$$n = 89 : \text{加算} \cdot 2 \text{倍算} : 7168.5M$$

$$n = 113 : \text{加算} \cdot 2 \text{倍算} : 9112.5M$$

【0197】

$h_2 = h_1 = 1$ 、 $f_4 = 0$ の場合、

$$n = 83 : \text{加算} \cdot 1/2 \text{倍算} : 6930M$$

$$n = 89 : \text{加算} \cdot 1/2 \text{倍算} : 7434M$$

$n = 113$: 加算・ $1/2$ 倍算 : 9450M

【0198】

$h_2 = h_1 = 1$, $f_4 = 0$ + テーブル参照法の場合 (加算・2倍算の場合と等しい計算量)

$n = 83$: 加算・2倍算 : 6682.5M

$n = 89$: 加算・2倍算 : 7168.5M

$n = 113$: 加算・2倍算 : 9112.5M

【0199】

次に、多項式の場合を考える。

$h_2 = h_1 = 1$, $f_4 = 0$ の場合、

$n = 83$: 加算・2倍算 : 6913.5M

$n = 89$: 加算・2倍算 : 7361.3M

$n = 113$: 加算・2倍算 : 9333M

【0200】

$h_2 = h_1 = 1$, $f_4 = 0$ の場合、

$n = 83$: 加算・ $1/2$ 倍算 : 7456.35M

$n = 89$: 加算・ $1/2$ 倍算 : 7881.8M

$n = 113$: 加算・ $1/2$ 倍算 : 9909M

【0201】

$h_2 = h_1 = 1$, $f_4 = 0$ + テーブル参照法の場合 (加算・2倍算の場合と等しい計算量)

$n = 83$: 加算・2倍算 : 7114.8M

$n = 89$: 加算・2倍算 : 7591.53M

$n = 113$: 加算・2倍算 : 9540M

【0202】

以上、説明したように、上述した本発明の処理例によれば、楕円曲線暗号の $1/2$ 倍算を、超楕円曲線暗号に拡張し、高速演算が実現される。超楕円曲線上の因子の演算を使う暗号処理演算において、処理の重い演算は因子のスカラー倍算である。上述した本発明の処理によりスカラー倍算を従来と同程度の速度で演算することができ、その結果、 $1/2$ 倍算を用いても超楕円曲線暗号の処理を従来と同程度の速度で処理することがきる。

【0203】

次に、上述した各種処理例、すなわち、

(処理例1 : 提案法A1)

(処理例2 : 提案法F1)

(処理例3 : 提案法B1)

(処理例5 : 提案法C1)

(処理例6 : 提案法D1)

をさらに高速化した処理例7~11、すなわち、以下の処理例について説明する。

(処理例7 : 提案法A2) : 上記処理例(処理例1 : 提案法A1)のさらなる高速化手法であり、種数2、標数2のランダムパラメータを持つような超楕円曲線において、因子Dの $1/2$ 倍算を計算する方法。

(処理例8 : 提案法F2) : 上記処理例(処理例2 : 提案法F1)のさらなる高速化手法であり、種数2、標数2の $h(x) = x^2 + h_1x + h_0$ 、 $f_4 = 0$ をパラメータを持つような超楕円曲線において因子Dの $1/2$ 倍算を計算する方法。

(処理例9 : 提案法B2) : 上記処理例(処理例3 : 提案法B1)のさらなる高速化手法であり、種数2、標数2の $h(x) = x^2 + x + h_0$ 、 $f_4 = 0$ をパラメータを持つような超楕円曲線において、因子Dの $1/2$ 倍算を計算する方法。

(処理例10 : 提案法C2) : 上記処理例(処理例5 : 提案法C1)のさらなる高速化手法であり、種数2、標数2のランダムパラメータを持つような超楕円曲線、 $h(x) = x^2 + h_1x + h_0$ 、 $f_4 = 0$ をパラメータを持つ超楕円曲線、および $h(x) = x^2 +$

10

20

30

40

50

$x + h_0$ 、 $f_4 = 0$ をパラメータに持つような超楕円曲線において、因子Dの1/2倍算を計算する際に、1/2倍したものの候補が2つ出てくる。2つの候補のうち、正しい値を選ぶ必要があるが、選ぶ際に、有限体のトレース、乗算、平方根を計算する必要がある。どちらが正しいかは、因子Dに依存する。そのため、因子Dが固定されている場合、事前に2つの候補のうち、どちらが正しいかをテーブルに保持し、正しい値を選ぶ際に、このテーブルを参照することにより、上記の余計な計算を省略する方法。

(処理例11：提案法D2)：上記処理例(処理例6：提案法D1)のさらなる高速化手法であり、上記処理例7～10に示す因子の1/2倍算の計算方法を用いて、因子のスカラ倍算を計算する方法。

【0204】

以下、各処理例について、順次、その詳細を説明する。

【0205】

[処理例7：提案法A2]

処理例7(提案法A2)は、前述した処理例(処理例1：提案法A1)のさらなる高速化手法であり、種数2、標数2のランダムパラメータを持つような超楕円曲線において、因子Dの1/2倍算を計算する方法である。

【0206】

以下の各処理例においても、扱う因子は位数が r のものとする。つまり、扱う因子は分岐点を持たない。入力因子を、

$$D_2 = (U_2, V_2),$$

$$U_2 = u_{22}x^2 + u_{21}x + u_{20},$$

$$V_2 = v_{21}x + v_{20},$$

ここで、 D_2 のweightが2の場合は $u_{22} = 1$ 、

D_2 のweightが1の場合は $u_{22} = 0$ 、 $u_{21} = 1$ 、 $v_{21} = 0$ とする。

分岐点を持たないため、1/2倍算として、

$ExHarDBL^{1+1}$ 、 $ExHarDBL^{2+2}$ 、 $ExHarDBL^{2+2}$ 、および、HarleyDBLの4つの逆演算を考えればよい。HarleyDBL以外は例外ケースである。

【0207】

ここで $ExHarDBL^{2+2}$ は入力因子のweightが2で、出力因子のweightが1の場合を計算する方法である。また、 $ExHarDBL^{2+2}$ は入力因子のweightが2で、かつ U_2 の1次の項の係数が $u_{21} = 0$ を満たし、出力因子のweightが2の場合を計算する方法である。ただし、 $ExHarDBL^{2+2}$ はHarleyDBLで計算できるが、これの逆演算である1/2倍算は、例外ケースとなるため、ここでは、 $ExHarDBL^{2+2}$ を例外ケースとして扱う。

【0208】

これら、 $ExHarDBL^{1+1}$ 、 $ExHarDBL^{2+2}$ 、 $ExHarDBL^{2+2}$ 、および、HarleyDBLに対応する1/2倍算をそれぞれ、 $ExHEC_HLV^{2+1}$ 、 $ExHEC_HLV^{1+2}$ 、 $ExHEC_HLV^{2+2}$ 、およびHEC_HLVとする。

【0209】

因子の1/2倍算を行なう場合、先に(処理例1：提案法A1)において説明したように、まず、入力因子により、図2に示す通りに場合分けを行なう。入力因子のweightが2で、かつ U_2 の1次の項の係数が $u_{21} = 0$ を満たす場合は、HEC_HLVで計算を行なう。また、入力因子のweightが2で、かつ U_2 の項の係数が $u_{21} = 0$ を満たす場合は、 $ExHEC_HLV^{2+2}$ 、もしくは、 $ExHEC_HLV^{2+1}$ で計算を行なう。また、入力因子のweightが1の場合は $ExHEC_HLV^{1+2}$ で計算を行う。HEC_HLVのアルゴリズムについては、先に図3を参照して説明した通りである。

【0210】

10

20

30

40

50

因子の1/2倍算は、因子の2倍算を行うアルゴリズム、すなわち、以下に示す [Algorithm 1 HarleyDBL]

【数24】

Algorithm 1 *HarleyDBL*

Input : $D_1 = (U_1, V_1)$

Output : $D_2 = (U_2, V_2)$

$$U_i(x) = x^2 + u_{i1}x + u_{i0}, V_i(x) = v_{i1}x + v_{i0}, \gcd(h, U_1) = 1$$

1. $U'_1 \leftarrow U_1^2$
2. $S \leftarrow h^{-1}(f + hV_1 + V_1^2)/U_1 \bmod U_1$
3. $V'_1 \leftarrow SU_1 + V_1$
4. $U'_2 \leftarrow (f + hV'_1 + V_1'^2)/U'_1$
5. $U_2 \leftarrow \text{MakeMonic}(U'_2)$
6. $V_2 \leftarrow V'_1 + h \bmod U_2$
7. return $D_2 = (U_2, V_2)$

10

20

【0211】

上記アルゴリズム1 [Algorithm 1 HarleyDBL] を逆から計算することにより実現する。Algorithm 1のステップ6では、

$$V_1' + h = (k_1x + k_0)U_2 + V_2$$

を満たすような多項式、

$$k(x) = k_1x + k_0$$

が唯一存在する。

30

【0212】

これを、

$$V_1' = h + (k_1x + k_0)U_2 + V_2$$

と式変形し、ステップ4に現れる式、

$$(f + hV_1' + V_1'^2)$$

に代入すると、ステップ4は、次のようになる。

$$U_2'U_1' = f + h(kU_2 + V_2) + k^2U_2^2 + V_2^2 \cdots \text{式(1)}$$

上記式において、

(U_2, V_2) は分かっているので、式(1)から、 k と U_1' との関係式が得られる

40

ここで、

$$U_2' = k_1^2 U_2$$

であることに注意する。

【0213】

上記式(1)を展開して整理すると、次のようになる。

$$U_1' = x^4 + ((k_1h_2 + k_1^2u_{21} + 1)/k_1^2)x^3 + ((k_1h_1 + k_0h_2 + k_1^2u_{20} + k_0^2 + c_2)/k_1^2)x^2 + ((k_1h_0 + k_0h_1 + k_0^2u_{21} + c_1)/k_1^2)x + (k_0h_0 + k_0^2u_{20} + c_0)/k_1^2$$

50

・・・式(2)

ここで、

$$c_2 = f_4 + u_{21}$$

$$c_1 = f_3 + h_2 v_{21} + u_{20} + c_2 u_{21}$$

$$c_0 = f_2 + h_2 v_{20} + h_1 v_{21} + v_{21}^2 + c_2 u_{20} + c_1 u_{21}$$

を満たす。

【0214】

また、ステップ1より、

$$U_1' = U_1^2、$$

つまり、

$$U_1' = x^4 + u_{11} x^2 + u_{10}^2$$

・・・式(3)

が成り立つ。

【0215】

上記式(2)、(3)の各係数を比較することにより、関係式を導き、この関係式を解くことにより、1/2倍算が計算できる。上記の処理手順を示すアルゴリズムを以下に、アルゴリズム4 [Algorithm 4 Sketch HEC_HLV]として示す。

【数25】

Algorithm 4 Sketch HEC_HLV

Input: $D_2 = (U_2, V_2)$

Output: $D_1 = (U_1, V_1) = [1/2]D_2$

$$U_i(x) = x^2 + u_{i1}x + u_{i0}, V_i(x) = v_{i1}x + v_{i0}, \gcd(h, U_i) = 1, i = 1, 2$$

1. reconstruct k_0, k_1

1.1 $V_1' \leftarrow V_2 + h + kU_2, k(x) = k_1x + k_0$

1.2 $U_1' \leftarrow (f + hV_1' + V_1'^2) / (k_1^2 U_2)$

1.3 derive k_0, k_1 from $\text{coeff}(U_1', 3) = 0, \text{coeff}(U_1', 1) = 0$

2. compute u_{11} by substituting k_0, k_1 in $\text{coeff}(U_1', 2)$

3. compute u_{10} by substituting k_0, k_1 in $\text{coeff}(U_1', 0)$

4. $U_1 \leftarrow x^2 + u_{11}x + u_{10}$

5. $V_1 \leftarrow V_2 + h + kU_2 \text{ mod } U_1$

6. return $D_1 = (U_1, V_1)$

【0216】

具体的には、次の関係式が得られる。

10

20

30

40

【数 2 6】

$$k_1 h_2 + k_1^2 u_{21} + 1 = 0 \quad \dots \text{式 (4)}$$

$$k_1 h_0 + k_0 h_1 + k_0^2 u_{21} + c_1 = 0 \quad \dots \text{式 (5)}$$

$$u_{11} = \sqrt{k_1 h_1 + k_0 h_2 + k_1^2 u_{20} + k_0^2 + c_2} / k_1 \quad \dots \text{式 (6)}$$

$$u_{10} = \sqrt{k_0 h_0 + k_0^2 u_{20} + c_0} / k_1 \quad \dots \text{式 (7)}$$

10

【0 2 1 7】

これらの関係式から、正しい k_0 、 k_1 を計算する必要があるが、これは、次の補題によって計算できる。

20

[補題 1]

$h(x)$ を既約多項式であると仮定する。このとき、式 (4)、(5) を満たす k_1 は唯一である。また、式 (5) は、正しい k_1 に対してのみ、根を持つ。また、Algorithm 4 での $1/2$ 倍された因子 D_1 を計算できる k_0 は唯一存在する。また、以下に示す式、

$$x h_2 + x^2 u_{11} + 1 = 0$$

は、正しい k_0 に対してのみ根を持つ。

【0 2 1 8】

Algorithm 4 に対して上記補題 1 を適用した。詳細な $1/2$ 倍算の計算方法を以下のアルゴリズム 5 a [Algorithm 5 a HEC_HLV] として示す。

30

【数 2 7】

Algorithm 5aHEC_HLV

Input : $D_2 = (U_2, V_2)$ *Output* : $D_1 = (U_1, V_1) = [1/2]D_2$

 $U_i(x) = x^2 + u_{i1}x + u_{i0}, V_i(x) = v_{i1}x + v_{i0}, \gcd(h, U_i) = 1, i = 1, 2$

1. Solve $k_1 h_2 + k_1^2 u_{21} + 1 = 0$ 10 $invu \leftarrow 1/u_{21}, invh \leftarrow 1/h_2^2, \alpha \leftarrow h_2 invu, \gamma \leftarrow u_{21} invh$ $k_1 \leftarrow H(\gamma)\alpha, k_1' \leftarrow k_1 + \alpha$ 2. Select correct k_1 by solving $k_1 h_0 + k_0 h_1 + k_0^2 u_{21} + c_1 = 0$ $c_2 \leftarrow f_4 + u_{21}, c_1 \leftarrow f_3 + h_2 v_{21} + u_{20} + c_2 u_{21}$ $c_0 \leftarrow f_2 + h_2 v_{20} + h_1 v_{21} + v_{21}^2 + c_2 u_{20} + c_1 u_{21}$ $\alpha \leftarrow h_1 invu, w \leftarrow u_{21} / h_1^2, \gamma \leftarrow (c_1 + k_1 h_0)w$ if $\text{Tr}(\gamma) = 1$ then $k_1 \leftarrow k_1', \gamma \leftarrow (c_1 + k_1 h_0)w$ 20 $k_0 \leftarrow H(\gamma)\alpha, k_0' \leftarrow k_0 + \alpha$ 3. Select correct k_0 by checking trace of $xh_2 + x^2 u_{11} + 1 = 0$ $invk \leftarrow 1/k_1, u_{11} \leftarrow invk \sqrt{k_1(h_1 + k_1 u_{20}) + k_0(h_2 + k_0) + c_2}, \gamma \leftarrow u_{11} invh$ if $\text{Tr}(\gamma) = 1$ then $k_0 \leftarrow k_0', u_{11} \leftarrow u_{11} + invk \sqrt{\alpha(h_2 + \alpha)}$ 4. Compute U_1 $u_{10} \leftarrow invk \sqrt{k_0(h_0 + k_0 u_{20}) + c_0}$ 5. Compute $V_1 = V_2 + h + kU_2 \pmod{U_1}$ 30 $w \leftarrow h_2 + k_1(u_{11} + u_{21}) + k_0$ $v_{11} \leftarrow v_{21} + h_1 + k_1(u_{10} + u_{20}) + k_0 u_{21} + u_{11} w$ $v_{10} \leftarrow v_{20} + h_0 + k_0 u_{20} + w$ 6. $U_1(x) \leftarrow x^2 + u_{11}x + u_{10}, V_1(x) \leftarrow v_{11}x + v_{10}$ 7. return $D_1 = (U_1, V_1)$

【0 2 1 9】 40

上記アルゴリズム 5 a [Algorithm 5 a] では、 k_1', k_0' が正しい値（言い換えると k_1, k_0 が正しくない値）である場合、計算量は、

 $29M + 1S + 4I + 3SR + 2H + 2T$

となる。ここで M, S, I, SR, H, T はそれぞれ有限体上の乗算、2乗算、逆元演算、平方根演算、ハーフトレース（二次方程式の根を求める演算）、トレース（二次方程式の根があるか否かの判定）を意味する。この k_1', k_0' が正しい値である場合、計算量は最も多くなる。

【0 2 2 0】

次に k_1, k_0 が正しい値（言い換えると k_1', k_0' が正しくない値）である場合、計算量は最も少なくなり、ステップ 2 では $2M$ の計算量が削減でき、ステップ 3 では、2 50

$M + 1SR$ の計算量が削減できる。つまり、この場合の計算量は、
 $25M + 1S + 4I + 2SR + 2H + 2T$ となり、計算量は最も少なくなる。

【0221】

次に k_1, k_0' が正しい値（言い換えると k_1', k_0 が正しくない値）である場合、
 ステップ3では、 $2M + 1SR$ の計算量が削減できる。つまり、この場合の計算量は、
 $27M + 1S + 4I + 2SR + 2H + 2T$ となる。

【0222】

最後に k_1', k_0 が正しい値（言い換えると k_1, k_0' が正しくない値）である場合、
 ステップ2では、 $2M$ の計算量が削減できる。つまり、この場合の計算量は、
 $27M + 1S + 4I + 3SR + 2H + 2T$ となる。

10

【0223】

上記の4つの場合が発生する確率を、計算機実験によって確認した結果、ほぼ同じ割合
 で発生していることが確認された。これ以降は、上記4つの場合が生じる確率は等しいと
 する。上記4つの場合の計算量の平均をとると、
 $27M + 1S + 4I + 2.5SR + 2H + 2T$
 となる。

【0224】

次に、例外ケースの、

$$\begin{aligned} E \times HEC_HLV^{2^{1+1}}、 \\ E \times HEC_HLV^{1^{2+2}}、 \\ E \times HEC_HLV^{2^{2+2}}、 \end{aligned}$$

20

について考える。これらが発生する確率は無視できる程度であるので、計算量の評価は
 行なわない。

【0225】

なお、これらの例外ケースの計算アルゴリズムについては、先の（処理例1：提案法A
 1）の項目において説明した図4～図6に示すフローチャート、すなわち、
 $E \times HEC_HLV^{2^{1+1}}$ のアルゴリズムについては図4に示すフローチャート、
 $E \times HEC_HLV^{1^{2+2}}$ のアルゴリズムについては図5に示すフローチャート、
 $E \times HEC_HLV^{2^{2+2}}$ のアルゴリズムについては図6に示すフローチャート、
 それぞれにおいて説明した処理と同様の処理となる。

30

【0226】

また、 $E \times HEC_HLV^{2^{2+2}}$ の計算手順についても、先に説明した（処理例
 1：提案法A1）の項目において説明したアルゴリズム6 [Algorithm 6]と同
 様の処理であり、 $E \times HEC_HLV^{1^{2+2}}$ の計算手順についても、先に説明した（
 処理例1：提案法A1）の項目において説明したアルゴリズム7 [Algorithm 7]
]と同様の処理となる。

【0227】

[処理例8：提案法F2]

処理例8（提案法F2）は、前述した処理例（処理例2：提案法F1）のさらなる高速
 化手法であり、種数2，標数2の $h(x) = x^2 + h_1x + h_0$ 、 $f_4 = 0$ をパラメータ
 に持つような超楕円曲線において因子Dの1/2倍算を計算する方法である。

40

【0228】

前述の処理例（処理例7：提案法A2）において適用したAlgorithm 5aを良く
 見ると、 $h(x)$ の係数との乗算、 $h(x)$ の係数の逆元演算が多くある。つまり、 h
 (x) の係数を工夫することにより、乗算および逆元演算の計算量を削減することができ
 る。なお、文献（非特許文献19：T. Lange. Efficient Doubling on Genus Two Curves
 over Binary Fields, SAC 2004, pre-proceedings, pp.189-202, 2004.）では、高速化
 のため、 $h_2 = 1$ 、 $f_4 = 0$ を用いている。このパラメータを用いた場合のHarley
 DBLの計算量は、 $21M + 5S + 1I$ である。

【0229】

50

ここで説明する処理例 8 (提案法 F 2) もこれに条件を合わせることにするが、補題 1 より、 $h(x)$ は既約多項式を仮定しているため、

$$h(x) = x^2 + h_1 x + h_0、$$

$$\text{Tr}(h_0 / h_1^2) = 1 [0]$$

とする (二次方程式 $ax^2 + bx + c = 0$ が既約多項式であるための必要十分条件は $\text{Tr}(ac / b^2) = 1$ である)。この場合の計算法をアルゴリズム 8 a [Algorithm 8 a] HEC_HLV ($h_2 = 1, f_4 = 0$) に示す。

【0230】

【数 2 8】

Algorithm 5aHEC_HLV($h_2 = 1, f_4 = 0$)

Input : $D_2 = (U_2, V_2), 1/h_1^2$

Output : $D_1 = (U_1, V_1) = [1/2]D_2$

$U_i(x) = x^2 + u_{i1}x + u_{i0}, V_i(x) = v_{i1}x + v_{i0}, \gcd(h, U_i) = 1, i = 1, 2$

1. Solve $k_1 + k_1^2 u_{21} + 1 = 0$ 10

$\alpha \leftarrow 1/u_{21}, k_1 \leftarrow H(u_{21})\alpha, k_1' \leftarrow k_1 + \alpha$

2. Select correct k_1 by solving $k_1 h_0 + k_0 h_1 + k_0^2 u_{21} + c_1 = 0$

$c_1 \leftarrow f_3 + v_{21} + u_{20} + u_{21}^2$

$c_0 \leftarrow f_2 + v_{20} + v_{21}(h_1 + v_{21}) + u_{21}(u_{20} + c_1)$

$w_0 \leftarrow u_{21}/h_1^2, \alpha \leftarrow h_1\alpha, \gamma \leftarrow (c_1 + k_1 h_0)w_0$

if $\text{Tr}(\gamma) = 1$ then $k_1 \leftarrow k_1', \gamma \leftarrow (c_1 + k_1 h_0)w_0$

$k_0 \leftarrow H(\gamma)\alpha, k_0' \leftarrow k_0 + \alpha$ 20

3. Select correct k_0 by checking trace of $x + x^2 u_{11} + 1 = 0$

$w_0 \leftarrow k_1^2, w_1 \leftarrow w_0 u_{20} + k_1 h_1 + u_{21}$

$w_2 \leftarrow k_0 + \sqrt{w_1 + k_0}, w_4 \leftarrow k_1 u_{21} + 1, u_{11} \leftarrow w_2 w_4$

if $\text{Tr}(u_{11}) = 1$ then

$k_0 \leftarrow k_0', w_2 \leftarrow k_0 + \sqrt{w_1 + k_0}, u_{11} \leftarrow w_2 w_4$

4. Compute U_1

$w_1 \leftarrow k_0 u_{20}, w_5 \leftarrow w_4 + 1, w_6 \leftarrow (k_0 + k_1)(u_{20} + u_{21})$

$u_{10} \leftarrow w_4 \sqrt{k_0(w_1 + h_0) + c_0}$ 30

5. Compute $V_1 = V_2 + h + kU_2 \text{ mod } U_1$

$w_4 \leftarrow w_5 + k_0 + 1, w_5 \leftarrow w_1 + w_5 + w_6 + v_{21} + h_1$

$w_6 \leftarrow w_1 + v_{20} + h_0, w_7 \leftarrow w_2 + w_4$

$w_1 \leftarrow w_7 u_{10}, w_3 \leftarrow (k_1 + w_7)(u_{10} + u_{11})$

$v_{11} \leftarrow w_1 + w_2 + w_3 + w_5$

$v_{10} \leftarrow w_1 + w_6$

6. $U_1(x) \leftarrow x^2 + u_{11}x + u_{10}, V_1(x) \leftarrow v_{11}x + v_{10}$ 40

7. return $D_1 = (U_1, V_1)$

【0 2 3 1】

ここで、逆元演算の回数を削減する方法を考える。前述したアルゴリズム 5a [Algorithm 5a] では、 $1/u_{21}, 1/h_2^2, 1/h_1^2, 1/k_1$ の 4 回の逆元演算が必要であるが、ここで、

$h_2 = 1$

と設定することにより、逆元演算は 3 回とすることができる。さらに、 h_1 は曲線パラ 50

メータであるため、事前に $1/h_1^2$ を計算しておき、入力として与えることにより、逆元演算は $1/u_{2_1}$ と $1/k_1$ の2回に削減することができる。また、 $1/k_1$ に関しては、前述の [処理例 7 : 提案法 A 2] において説明した式 (4) , すなわち、

$$1/k_1 = h_2 + k_1 u_{2_1}$$

より、乗算 1 回と加算 1 回で求めることができる。これらの演算により、上記のアルゴリズム 8 a [Algorithm 8 a] HEC_HLV ($h_2 = 1, f_4 = 0$) で必要となる逆元演算は $1/u_{2_1}$ の 1 回のみとなる。

【 0 2 3 2 】

結果として、上記のアルゴリズム 8 a [Algorithm 8 a] HEC_HLV ($h_2 = 1, f_4 = 0$) における計算量は次の通りとなる。

(a) k_1, k_0 が正しい値である場合 : 1 8 M + 2 S + 1 I + 2 S R + 2 H + 2 T

(b) k_1, k_0' が正しい値である場合 : 1 9 M + 2 S + 1 I + 3 S R + 2 H + 2 T

(c) k_1', k_0 が正しい値である場合 : 2 0 M + 2 S + 1 I + 2 S R + 2 H + 2 T

(d) k_1', k_0' が正しい値である場合 : 2 1 M + 2 S + 1 I + 3 S R + 2 H + 2 T

上記 (a) ~ (d) のすべてについて平均すると、 $19.5 M + 2 S + 1 I + 2.5 S R + 2 H + 2 T$ となる。

【 0 2 3 3 】

Harley DBL の計算量は、 $21 M + 5 S + 1 I$ であった。ここで、文献 [(非特許文献 1 5) E.Knudsen. Elliptic Scalar Multiplication Using Point Halving. ASIACRYPTO '99, LNCS 1716, pp.135-149, Springer-Verlag, 1999.] によると、有限体が正規基底で定義されている場合、S (2 乗算) , SR (平方根演算) , H (ハーフトレース (二次方程式の根を求める演算)) , T (トレース (二次方程式の根があるか否かの判定)) の計算量は無視することができ、M (乗算) , I (逆元演算) の計算量のみ考慮すればよいことが知られている。そのため、正規基底を用いた場合、Algorithm 8 a は Harley DBL よりも $1.5 M$ 高速となる。

【 0 2 3 4 】

また、有限体が多項式基底で定義されている場合、

文献 [(非特許文献 1 6) K.Fong, D.Hankerson, J.Lopez, and A.Menezes. Field inversion and point halving revised. Technical Report CORR2003-18, <http://www.cacr.math.uwaterloo.ca/techreports/2003/corr2003-18.pdf> 1 8] によると、通常 SR (平方根演算) , H (ハーフトレース (二次方程式の根を求める演算)) の計算量は、M (乗算) との対比において、 $SR = H = 0.5 M$ 程度であることが知られている。また、T (トレース (二次方程式の根があるか否かの判定)) の計算量は無視できる。さらに S (2 乗算) の計算量は、M (乗算) の数分の 1 程度であることが知られている。しかしながら、SR の計算量は、多項式基底の選び方によっては、 $0.5 M$ よりも少なくなることも、同時に知られている。なお、例外ケースは、前述の処理例 7 (提案法 A 2) の例外ケースに基いて計算できる。

【 0 2 3 5 】

[処理例 9 (提案法 B 2)]

処理例 9 (提案法 B 2) は、前述した処理例 (処理例 3 : 提案法 B 1) のさらなる高速化手法であり、種数 2、標数 2 の $h(x) = x^2 + x + h_0, f_4 = 0$ をパラメータに持つような超楕円曲線において、因子 D の $1/2$ 倍算を計算する方法である。

【 0 2 3 6 】

前述の処理例 8 (提案法 F 2) において説明したように、処理例 7 (提案法 A 2) において説明した $1/2$ 倍算の計算アルゴリズム、すなわち、アルゴリズム 5 a [Algorithm 5 a HEC_HLV] を良く見ると、 $h(x)$ の係数との乗算、 $h(x)$ の係数の逆元演算が多くある。つまり、 $h(x)$ の係数を工夫することにより、乗算および逆元演算の計算量を削減することができる。文献 [J.Pelzl, T.Wollinger, and C.Paar. High Performance Arithmetic for Hyperelliptic Curve Cryptosystems of Genus Two. Cryptology ePrint Archive, 2003/212, IACR, 2003] では、高速化のために、 h_2, h

10

20

30

40

50

$f_1 \in \{0, 1\}$, $f_4 = 0$ を用いた例を示している。

【0237】

このパラメータを用いた場合の [HarleyDBL] の計算量は、

$$18M + 7S + 1I$$

である。

【0238】

処理例9 (提案法B2) もこれに条件を合わせることにするが、前述した [補題1] より、 $h(x)$ は既約多項式を仮定しているため、

$$h(x) = x^2 + x + h_0,$$

$$\text{Tr}(h_0) = 1$$

とする (二次方程式 $ax^2 + bx + c = 0$ が既約多項式であるための必要十分条件は $\text{Tr}(ac/b^2) = 1$ である)。

【0239】

この場合の計算法示すアルゴリズムをアルゴリズム10a [Algorithm10a HEC_HLV ($h_2 = h_1 = 1, f_4 = 0$)] として以下に示す。

【数 2 9】

Algorithm10aHEC_HLV($h_2 = h_1 = 1, f_4 = 0$)

Input : $D_2 = (U_2, V_2)$

Output : $D_1 = (U_1, V_1) = [1/2]D_2$

$U_i(x) = x^2 + u_{i1}x + u_{i0}, V_i(x) = v_{i1}x + v_{i0}, \gcd(h, U_i) = 1, i = 1, 2$

1. Solve $k_1 + k_1^2 u_{21} + 1 = 0$

$\alpha \leftarrow 1/u_{21}, k_1 \leftarrow H(u_{21})\alpha, k_1' \leftarrow k_1 + \alpha$

10

2. Select correct k_1 by solving $k_1 h_0 + k_0 + k_0^2 u_{21} + c_1 = 0$

$c_1 \leftarrow f_3 + v_{21} + u_{20} + u_{21}^2$

$c_0 \leftarrow f_2 + v_{20} + v_{21} + v_{21}^2 + u_{21}(u_{20} + c_1)$

$\gamma \leftarrow (c_1 + k_1 h_0)u_{21}$

if $\text{Tr}(\gamma) = 1$ then $k_1 \leftarrow k_1', \gamma \leftarrow \gamma + h_0$

$k_0 \leftarrow H(\gamma)\alpha, k_0' \leftarrow k_0 + \alpha$

3. Select correct k_0 by checking trace of $x + x^2 u_{11} + 1 = 0$

$w_0 \leftarrow k_1^2, w_1 \leftarrow w_0 u_{20} + k_1 + u_{21}$

$w_2 \leftarrow k_0 + \sqrt{w_1 + k_0}, w_4 \leftarrow k_1 u_{21} + 1, u_{11} \leftarrow w_2 w_4$

if $\text{Tr}(u_{11}) = 1$ then

$k_0 \leftarrow k_0', w_2 \leftarrow k_0 + \sqrt{w_1 + k_0}, u_{11} \leftarrow w_2 w_4$

20

4. Compute U_1

$w_1 \leftarrow k_0 u_{20}, w_5 \leftarrow w_4 + 1, w_6 \leftarrow (k_0 + k_1)(u_{20} + u_{21})$

$u_{10} \leftarrow w_4 \sqrt{k_0(w_1 + h_0) + c_0}$

5. Compute $V_1 = V_2 + h + kU_2 \text{ mod } U_1$

30

$w_4 \leftarrow w_5 + k_0 + 1, w_5 \leftarrow w_1 + w_5 + w_6 + v_{21} + 1$

$w_6 \leftarrow w_1 + v_{20} + h_0, w_7 \leftarrow w_2 + w_4$

$w_1 \leftarrow w_7 u_{10}, w_3 \leftarrow (k_0 + w_7)(u_{10} + u_{11})$

$v_{11} \leftarrow w_1 + w_2 + w_3 + w_5$

$v_{10} \leftarrow w_1 + w_6$

6. $U_1(x) \leftarrow x^2 + u_{11}x + u_{10}, V_1(x) \leftarrow v_{11}x + v_{10}$

7. return $D_1 = (U_1, V_1)$

40

【0 2 4 0】

上記のアルゴリズム 10 a [Algorithm 10 a HEC_HLV ($h_2 = h_1 = 1, f_4 = 0$)] における計算量は次の通りである。

(a) k_1, k_0 が正しい値である場合 : 14 M + 3 S + 1 I + 2 SR + 2 H + 2 T

(b) k_1, k_0' が正しい値である場合 : 15 M + 3 S + 1 I + 3 SR + 2 H + 2 T

(c) k_1', k_0 が正しい値である場合 : 14 M + 3 S + 1 I + 2 SR + 2 H + 2 T

(d) k_1', k_0' が正しい値である場合 : 15 M + 3 S + 1 I + 3 SR + 2 H + 2 T

【0 2 4 1】

上記 (a) ~ (d) のすべての場合について平均すると、

50

$$1.4M + 3S + 1I + 2.5SR + 2H + 2T$$

となる。HarleyDBLの計算量は、 $1.8M + 7S + 1I$ であった。ここで、前述したように、文献[E.Knudsen. Elliptic Scalar Multiplication Using Point Halving. ASIACRYPTO '99, LNCS 1716, pp.135-149, Springer-Verlag, 1999.]によると、有限体が正規基底で定義されている場合、 S (2乗算), SR (平方根演算), H (ハーフトレース (二次方程式の根を求める演算)), T (トレース (二次方程式の根があるか否かの判定)) の計算量は無視することができ、 M (乗算), I (逆元演算) の計算量のみ考慮すればよいことが知られている。

【0242】

そのため、正規基底を用いた場合、上述したアルゴリズム10a [Algorithm 10a] は、従来のアルゴリズム [HarleyDBL] よりも、 $3.5M$ 高速となる。また、有限体が多項式基底で定義されている場合、

文献[K.Fong, D.Hankerson, J.Lopez, and A.Menezes. Field inversion and point halving revised. Technical Report CORR2003-18, <http://www.cacr.math.uwaterloo.ca/techreports/2003/corr2003-18.pdf>] によると、通常 SR , H の計算量は、 $SR = H = 0.5M$ 程度であることが知られている。また、 T の計算量は無視できる。さらに S の計算量は、 M の数分の1程度であることが知られている。しかしながら、 SR の計算量は、多項式基底の選び方によっては、 $0.5M$ よりも少なくなることも同時に知られている。

【0243】

さて、前述のアルゴリズム10a [Algorithm 10a] の曲線にさらに、 $h_0 = 1$ の制約を設ける。前述のアルゴリズム10a [Algorithm 10a] は、 h_0 の乗算が1回あるので、 $h_0 = 1$ とすることにより、 $1M$ の削減ができ、上記(a)~(d)のすべての場合についての平均の計算量は、

$$1.3M + 3S + 1I + 2.5SR + 2H + 2T$$

となる。一方、HarleyDBLは、計算量は、

$$1.5M + 7S + 1I$$

である。有限体が正規規定で定義されている場合、 S , SR , H , T の計算量は無視することができ、正規規定を用いた場合、アルゴリズム10a [Algorithm 10a] は、従来のアルゴリズム [HarleyDBL] よりも、 $1.5M$ 高速となる。なお、例外ケースは、前述の処理例7 (提案法A2) の例外ケースに基いて計算できる。

【0244】

[処理例10 (提案法C2)]

処理例10 (提案法C2) は、前述した処理例 (処理例5: 提案法C1) のさらなる高速化手法であり、種数2、標数2のランダムパラメータを持つような超楕円曲線、 $h(x) = x^2 + h_1x + h_0$, $f_4 = 0$ をパラメータを持つ超楕円曲線、および $h(x) = x^2 + x + h_0$, $f_4 = 0$ をパラメータを持つような超楕円曲線において、因子Dの1/2倍算を計算する際に、1/2倍したものの候補が2つ出てくる。2つの候補のうち、正しい値を選ぶ必要があるが、選ぶ際に、有限体のトレース、乗算、平方根を計算する必要がある。どちらが正しいかは、因子Dに依存する。そのため、因子Dが固定されている場合、事前に2つの候補のうち、どちらが正しいかをテーブルに保持し、正しい値を選ぶ際に、このテーブルを参照することにより、上記の余計な計算を省略する方法である。

【0245】

$k_1, k_1' (k_0, k_0')$ のどちらが正しいかは、入力因子Dに依存している。したがって、Dが固定されている場合、例えばECDH型鍵交換のフェーズ1や、ECDSA型署名生成、検証など、ベースポイントがあらかじめ決まっている場合、事前に、 $[1/2^i]D$ を計算し、 $k_1, k_1' (k_0, k_0')$ のどちらが正しい値であるかを、テーブルに記録しておく。

【0246】

例えば、ベースポイントの位数と同じビットサイズのテーブルを T_1, T_0 と二つ用意し、これらを2進数表現したものを、

10

20

30

40

50

$$T_1 = (t_{1, r-1}, \dots, t_{1, 0})$$

$$T_0 = (t_{0, r-1}, \dots, t_{0, 0})$$

とする。

【0247】

[$1/2^i$] Dを求める際に、

k_1 が正しければ、 $t_{1, i} = 0$ 、そうではなくて、 k_1' が正しければ $t_{1, i} = 1$

k_1 が正しければ $t_{0, i} = 0$ 、そうではなくて、 k_0' が正しければ $t_{0, i} = 1$ などとテーブルに記録すれば、テーブルサイズは、わずかベースポイントの位数のサイズの2倍程度のビット列で済む。このテーブルを参照することにより、 $1/2$ 倍算の計算量を削減することができる。

10

【0248】

この方法を前述のアルゴリズム8a [Algorithm 8a] HEC_HLV ($h_2 = 1, f_4 = 0$) に適用したものを、アルゴリズム9a [Algorithm 9a] HEC_HLV ($h_2 = 1, f_4 = 0, with\ table-lookup$) として示す。計算量は、 $18M + 2S + 1I + 2SR + 2H$ となる。

【0249】

【数 3 0】

Algorithm 9aHEC_HLV($h_2 = 1, f_4 = 0$, table-lookup)

Input : $D_2 = (U_2, V_2), 1/h_1^2, t_0, t_1$ *Output* : $D_1 = (U_1, V_1) = [1/2]D_2$

 $U_i(x) = x^2 + u_{i1}x + u_{i0}, V_i(x) = v_{i1}x + v_{i0}, \gcd(h, U_i) = 1, i = 1, 2$

1. Solve $k_1 + k_1^2 u_{21} + 1 = 0$ 10 $\alpha \leftarrow 1/u_{21}$ if $t_1 = 0$ then $k_1 \leftarrow H(u_{21})\alpha$ else $k_1 \leftarrow (H(u_{21}) + 1)\alpha$ 2. Solve $k_1 h_0 + k_0 h_1 + k_0^2 u_{21} + c_1 = 0$ $c_1 \leftarrow f_3 + v_{21} + u_{20} + u_{21}^2$ $c_0 \leftarrow f_2 + v_{20} + v_{21}(h_1 + v_{21}) + u_{21}(u_{20} + c_1)$ $w_0 \leftarrow u_{21}/h_1^2, \alpha \leftarrow h_1\alpha, \gamma \leftarrow (c_1 + k_1 h_0)w_0$ if $t_0 = 0$ then $k_0 \leftarrow H(\gamma)\alpha$ else $k_0 \leftarrow (H(\gamma) + 1)\alpha$ 203. Compute U_1 $w_0 \leftarrow k_1^2, w_1 \leftarrow w_0 u_{20} + k_1 h_1 + u_{21}, w_2 \leftarrow k_0 + \sqrt{w_1 + k_0}$ $w_4 \leftarrow k_1 u_{21} + 1, u_{11} \leftarrow w_2 w_4$ $w_1 \leftarrow k_0 u_{20}, w_5 \leftarrow w_4 + 1, w_6 \leftarrow (k_0 + k_1)(u_{20} + u_{21})$ $u_{10} \leftarrow w_4 \sqrt{k_0(w_1 + h_0) + c_0}$ 4. Compute $V_1 = V_2 + h + kU_2 \bmod U_1$ $w_4 \leftarrow w_5 + k_0 + 1, w_5 \leftarrow w_1 + w_5 + w_6 + v_{21} + h_1$ $w_6 \leftarrow w_1 + v_{20} + h_0, w_7 \leftarrow w_2 + w_4$ 30 $w_1 \leftarrow w_7 u_{10}, w_3 \leftarrow (k_1 + w_7)(u_{10} + u_{11})$ $v_{11} \leftarrow w_1 + w_2 + w_3 + w_5$ $v_{10} \leftarrow w_1 + w_6$ 6. $U_1(x) \leftarrow x^2 + u_{11}x + u_{10}, V_1(x) \leftarrow v_{11}x + v_{10}$ 7. return $D_1 = (U_1, V_1)$

【0 2 5 0】

具体的に、この方法を上述のアルゴリズム 10 a [Algorithm 10 a HEC_HLV ($h_2 = h_1 = 1, f_4 = 0$)] に適用したアルゴリズムをアルゴリズム 11 a [Algorithm 11 a HEC_HLV ($h_2 = h_1 = 1, f_4 = 0, with table-lookup$)] として、以下に示す。 40

【0 2 5 1】

【数 3 1】

Algorithm 1 laHEC_HLV ($h_2 = h_1 = 1, f_4 = 0$, with table-lookup)

Input : $D_2 = (U_2, V_2), t_0, t_1$

Output : $D_1 = (U_1, V_1) = [1/2]D_2$

$U_i(x) = x^2 + u_{i1}x + u_{i0}, V_i(x) = v_{i1}x + v_{i0}, \gcd(h, U_1) = 1$

1. Solve $k_1 + k_1^2 u_{21} + 1 = 0$ and select correct k_1 via t_1
 - $\alpha \leftarrow 1/u_{21}$ 10
 - if $t_1 = 0$ then $k_1 \leftarrow H(u_{21})\alpha$ else $k_1 \leftarrow (H(u_{21}) + 1)\alpha$
2. Solve $k_1 h_0 + k_0 + k_0^2 u_{21} + c_1 = 0$ and select correct k_0 via t_0
 - $c_1 \leftarrow f_3 + v_{21} + u_{20} + u_{21}^2$
 - $c_0 \leftarrow f_2 + v_{20} + v_{21} + v_{21}^2 + u_{21}(u_{20} + c_1)$
 - $\gamma \leftarrow (c_1 + k_1 h_0)u_{21}$
 - $k_0 \leftarrow H(\gamma)\alpha$
 - if $t_0 = 0$ then $k_0 \leftarrow H(\gamma)\alpha$ else $k_0 \leftarrow (H(\gamma) + 1)\alpha$ 20
3. Compute U_1
 - $w_0 \leftarrow k_1^2, w_1 \leftarrow w_0 u_{20} + k_1 + u_{21}$
 - $w_2 \leftarrow k_0 + \sqrt{w_1 + k_0}$
 - $w_4 \leftarrow k_1 u_{21} + 1, u_{11} \leftarrow w_2 w_4$
 - $w_1 \leftarrow k_0 u_{20}, w_5 \leftarrow w_4 + 1, w_6 \leftarrow (k_0 + k_1)(u_{20} + u_{21})$
 - $u_{10} \leftarrow w_4 \sqrt{k_0(w_1 + h_0)} + c_0$
5. Compute $V_1 = V_2 + h + kU_2 \bmod U_1$ 30
 - $w_4 \leftarrow w_5 + k_0 + 1, w_5 \leftarrow w_1 + w_5 + w_6 + v_{21} + 1$
 - $w_6 \leftarrow w_1 + v_{20} + h_0, w_7 \leftarrow w_2 + w_4$
 - $w_1 \leftarrow w_7 u_{10}, w_3 \leftarrow (k_0 + w_7)(u_{10} + u_{11})$
 - $v_{11} \leftarrow w_1 + w_2 + w_3 + w_5$
 - $v_{10} \leftarrow w_1 + w_6$
6. $U_1(x) \leftarrow x^2 + u_{11}x + u_{10}, V_1(x) \leftarrow v_{11}x + v_{10}$
7. return $D_1 = (U_1, V_1)$

40

【0 2 5 2】

上記アルゴリズム 1 1 a [Algorithm 1 1 a HEC_HLV ($h_2 = h_1 = 1, f_4 = 0$, with table-lookup)] における計算量は、

1 4 M + 3 S + 1 I + 2 S R + 2 H となり、さらに $h_0 = 1$ とすることにより、1 M の削減ができ、この場合の計算量は、

1 3 M + 3 S + 1 I + 2 S R + 2 H となる。

【0 2 5 3】

[処理例 1 1 (提案法 D 2)]

処理例 1 1 (提案法 D 2) は、上記処理例 7 ~ 1 0 に示す因子の 1 / 2 倍算の計算方法を用いて、因子のスカラー倍算を計算する方法である。

50

【 0 2 5 4 】

楕円曲線での有理点の $1/2$ 倍算を用いたスカラー倍算の計算方法は、文献 [E.Knudsen. Elliptic Scalar Multiplication Using Point Halving. ASIACRYPTO '99, LNCS 1716, pp.135-149, Springer-Verlag, 1999.]、[K.Fong, D.Hankerson, J.Lopez, and A.Menezes. Field inversion and point halving revised. Technical Report CORR2003-18, <http://www.cacr.math.uwaterloo.ca/techreports/2003/corr2003-18.pdf>]にある。超楕円曲線の因子の $1/2$ 倍算を用いたスカラー倍算の計算方法は、この文献にあるスカラー倍算に基づいて実行される。ここで、スカラー倍の対象となる因子 D は、位数が大きな素数 r であるとする。また、スカラー値を整数 $0 < d < r$ とする。 $1/2$ 倍算を用いたスカラー倍算を行なうには、まず、2進数で表現されているスカラー値 d を $1/2$ 進数で表現しなおす必要がある。

10

【 0 2 5 5 】

ここで、

【 数 3 2 】

$$m = \lfloor \log_2 r \rfloor$$

20

とする。また、 d を 2^m 倍し r で割った余り、すなわち、

【 数 3 3 】

$$\sum_{i=0}^m \hat{d}_i 2^i \leftarrow 2^m d \pmod{r}$$

30

を求める。次にこれを 2^m で割ると、

【 数 3 4 】

$$\sum_{i=0}^m d_i / 2^i \leftarrow \sum_{i=0}^m \hat{d}_i 2^{i-m}$$

40

となる。上記式の、

【数 3 5】

$$\sum_{i=0}^m d_i / 2^i$$

10

で表現されたスカラー値を、1 / 2 倍算を用いたスカラー倍算 [h a l v e - a n d - a d d b i n a r y] 法で用いる。ここで、

【数 3 6】

$$d_i, \hat{d}_i \in \{0,1\}$$

20

である。

【0 2 5 6】

以下に、アルゴリズム 12 a [A l g o r i t h m 1 2 a] として、h a l v e - a n d - a d d b i n a r y 法 (r i g h t - t o - l e f t)、アルゴリズム 13 a [A l g o r i t h m 1 3 a] として、h a l v e - a n d - a d d b i n a r y 法 (l e f t - t o - r i g h t) をそれぞれ示す。

【数 3 7】

30

Algorithm12aHalve-and-add binaryMethod(right-to-left)

Input : $D \in \mathbf{J}(\mathbb{F}_{2^n})$ such that $2D \neq O$, $d \in \mathbb{Z}$, r : order of D , $m = \lfloor \log_2 r \rfloor$

Output : scalar multiplication dD

$$1. \sum_{i=0}^m \hat{d}_i 2^i \leftarrow 2^m d \bmod r, \hat{d}_i \in \{0,1\}$$

$$2. \sum_{i=0}^m d_i / 2^i \leftarrow \sum_{i=0}^m \hat{d}_i 2^{i-m}, d_i \in \{0,1\}$$

$$3. Q \leftarrow O, R \leftarrow D$$

4. for i from 0 to m do:

if $d_i = 1$ then $Q \leftarrow Q + R$

$R \leftarrow \text{HEC_HLV}(R)$

5. return Q

40

50

【 0 2 5 7 】

【 数 3 8 】

Algorithm 13a Halve-and-add binary Method (left-to-right)

Input : $D \in \mathbf{J}(\mathbb{F}_{2^n})$ such that $2D \neq O$, $d \in \mathbb{Z}$, r : order of D , $m = \lfloor \log_2 r \rfloor$

Output : scalar multiplication dD

1. $\sum_{i=0}^m \hat{d}_i 2^i \leftarrow 2^m d \pmod r$, $\hat{d}_i \in \{0,1\}$
2. $\sum_{i=0}^m d_i / 2^i \leftarrow \sum_{i=0}^m \hat{d}_i 2^{i-m}$, $d_i \in \{0,1\}$
3. $Q \leftarrow O$
4. for i from m downto 0 do :
 - $Q \leftarrow \text{HEC_HLV}(Q)$
 - if $d_i = 1$ then $Q \leftarrow Q + D$
5. return Q

10

20

【 0 2 5 8 】

上記アルゴリズム 12a [Algorithm 12a] と、アルゴリズム 13a [Algorithm 13a] のステップ 4 に出てくる HEC_HLV は、ランダムカーブを用いた前述のアルゴリズム 5a [Algorithm 5a] の HEC_HLV でも良いし、アルゴリズム 8a [Algorithm 8a] の曲線パラメータに、 $h_2 = 1$, $f_4 = 0$ の制約を設けた HEC_HLV でも良いし、アルゴリズム 10a [Algorithm 10a] の曲線パラメータに $h_2 = h_1 = 1$, $f_4 = 0$ の制約を設けた HEC_HLV でも良いし、アルゴリズム 10a [Algorithm 10a] の曲線パラメータに $h_2 = h_1 = h_0 = 1$, $f_4 = 0$ の制約を設けた HEC_HLV でも良い。

30

【 0 2 5 9 】

前段の処理例 1 ~ 6 において説明した $1/2$ 倍算において、例えば前述の [処理例 3 (提案法 B1)] に示すアルゴリズム 10 や、[処理例 5 (提案法 C1)] に示すアルゴリズム 11 では、入力に $1/u_{2,1}$ が、出力に $1/u_{1,1}$ が必要であった。これにより、ベースポイント D の $1/2^i$ 倍算、すなわち、

$(1/2)D$ 、 $(1/2^2)D$ 、 $(1/2^3)D$ 、 $(1/2^i)D \dots$

を、前の $1/2$ 倍算の出力の $1/u_{1,1}$ を次の $1/2$ 倍算の入力として与えることができるので、効率よく計算することができる。そのため、スカラー倍を *halve-and-add binary* 法 (*right-to-left*) で行なう場合には、ベースポイント D の $1/2^i$ 倍を適宜加えていけばよいので、*right-to-left* の場合には、効率よくスカラー倍算を行なうことができた。

40

【 0 2 6 0 】

一方、*left-to-right* の場合には、前の $1/2$ 倍算の出力を次の $1/2$ 倍算の入力とすることができない場合がある。前述のアルゴリズム 13a [Algorithm 13a] の Step 4 では、まず途中の結果 Q を $1/2$ 倍し ($Q \leftarrow \text{HEC_HLV}(Q)$)、スカラー値のあるビットが 1 の場合は、ベースポイントを途中結果に加える (*if $d_i = 1$ then $Q \leftarrow Q + D$*)。このため、ビットが 1 の場合の、次のビットでは、前の $1/2$ 倍算の出力の $1/u_{1,1}$ を次の $1/2$ 倍算の入力として与えることができない

50

ので、新たに入力値 $1/u_{2,1}$ を計算する必要がある。有限体の逆元演算は乗算に比べて非常に計算量がかかる。そのため、先の処理例 1 ~ 6 において説明した $1/2$ 倍算法では、`left-to-right` を適用した場合、 $1/2$ 倍算の入力値を生成するための余計な逆元演算を必要とするため、計算の効率が悪くなる。しかしながら、処理例 7 以降において説明した提案法では、入力に $1/u_{2,1}$ を必要としない設定としているため、`left-to-right` でも `right-to-left` と同等の計算量で計算することができる。

【0261】

また、前述のアルゴリズム 12a [Algorithm 12a] の `half-and-add-binary` 法 (`right-to-left`) のステップ 4 の `HEC_HLV` は、ランダムカーブを用いたアルゴリズム 5a [Algorithm 5a] にテーブル参照法を適用した `HEC_HLV` でも良いし、アルゴリズム 8a [Algorithm 8a] の曲線パラメータに $h_2 = 1, f_4 = 0$ の制約を設け、テーブル参照法を適用した `HEC_HLV` でも良いし、アルゴリズム 10a [Algorithm 10a] の曲線パラメータに $h_2 = h_1 = 1, f_4 = 0$ の制約を設け、テーブル参照法を適用した `HEC_HLV` でも良いし、アルゴリズム 10a [Algorithm 10a] の曲線パラメータに $h_2 = h_1 = h_0 = 1, f_4 = 0$ の制約を設け、テーブル参照法を適用した `HEC_HLV` でも良い。

【0262】

また、`binary` 法のほかに、`window` 法も適用することができる。入力因子を D とし `window` 幅を w とする。途中結果を代入する因子を Q とする。

整数 $i = (i_{w-1}, i_{w-2}, \dots, i_0)_2 \in \{0, 1, \dots, 2^w - 1\}$

に対して事前計算、すなわち、

【数39】

$$D_i \leftarrow \sum_{j=0}^{w-1} \frac{i_j}{2^j} D$$

30

を行い 2^w 個の因子からなるテーブルを計算しておく。

【0263】

また、スカラー値 d を、 $1/2^w$ 進数展開する。

【数40】

$$\sum_{i=0}^l c_i / (2^w)^i \leftarrow \sum_{i=0}^m d_i / 2^i$$

40

はじめに Q に $1/2$ 倍算を w 回適用し、

$Q \leftarrow (1/2^w) Q$

とする。次に d の上位ビットから `window` 幅 w で、スカラー値 c_1 を走査し、対応

50

するテーブルの因子の値を参照し、結果に足し込む。

$$Q \leftarrow Q + D_{c_1}$$

これを c_0 まで繰り返す。

【 0 2 6 4 】

この計算手法 [*halve - and - add window method*] を、アルゴリズム 14 a [*Algorithm 14 a*] として以下に示す。

【 数 4 1 】

Algorithm 14a Halve - and - add Window Method

Input : $D \in \mathbf{J}(\mathbb{F}_{2^n})$ such that $2D \neq O$, $d \in \mathbb{Z}$, r : order of D , $m = \lfloor \log_2 r \rfloor$

Output : scalar multiplication dD

$$1. \sum_{i=0}^m \hat{d}_i 2^i \leftarrow 2^m d \bmod r, \hat{d}_i \in \{0, 1\}$$

$$2. \sum_{i=0}^m d_i / 2^i \leftarrow \sum_{i=0}^m \hat{d}_i 2^{i-m}, d_i \in \{0, 1\}$$

$$3. \sum_{i=0}^l c_i / (2^w)^i \leftarrow \sum_{i=0}^m d_i / 2^i, c_i \in \{0, 1, \dots, 2^w - 1\}$$

$$4. D_i \leftarrow \frac{i_{w-1}}{2^{w-1}} D + \dots + \frac{i_0}{2^0} D, \text{ for } i = (i_{w-1} \dots i_0)_2 \in \{0, 1, \dots, 2^w - 1\}$$

$$5. Q \leftarrow O$$

6. for i from l downto 0 do:

for j from 1 to w do: $Q \leftarrow \text{HEC_HLV}(Q)$

$$Q \leftarrow Q + D_{c_j}$$

7. return Q

【 0 2 6 5 】

また、

$$\text{因子 } D = (U, V),$$

$$U = x^2 + u_1 x + u_0,$$

$$V = v_1 x + v_0,$$

の逆元は、

$$-D = (U, V + h \bmod U) = (U, (v_1 + h_2 u_1 + h_1) x + (v_0 + h_2 u_0 + h_0))$$

で表すことが出来る。特に $h_2 = 1$ の場合は、有限体の乗算は必要なく、4回の有限体の加算で D から $-D$ を求めることが出来る。因子 D の減算は因子 $-D$ の加算により計算できる。つまり、因子の加算と減算は同等の計算量で求めることができる。

【 0 2 6 6 】

そこで、スカラー値を負の値も使って表現し、それを用いてスカラー倍算を行なうことが出来る。まず、非隣接形式 *NAF* (*Non - Adjacent Form*) を使い、ある整数 s を $\{-1, 0, 1\}$ で表現する。*NAF* では2進数表現されたスカラー値 s を下位のビットから見ていく。1が隣接するところがあれば、例えば、

10

20

30

40

50

(11)であれば、(10-1)、つまり $3 = 2^2 - 1$ 、
 (111)であれば、(100-1)、つまり $7 = 2^3 - 1$
 などと表現する。

【0267】

NAFの計算手法を、アルゴリズム15a [Algorithm 15a]として以下に示す。

【数42】

Algorithm 15a Conversion to NAF

Input : $s = \sum_{j=0}^{l-1} s_j 2^j \in Z, s_j \in \{0,1\}$

Output : $NAF(s) = \sum_{j=0}^l s'_j 2^j, s'_j \in \{-1,0,1\}$

1. $c_0 \leftarrow 0, s_l \leftarrow 0$

2. For $j=0$ to l do:

$$c_{j+1} \leftarrow \lfloor (s_j + s_{j+1} + c_j) / 2 \rfloor$$

$$s'_j \leftarrow s_j + c_j - 2c_{j+1}$$

3. return $NAF(S) = (s'_l s'_{l-1} \dots s'_0)$

10

20

【0268】

NAFは、非零のビットの数が最も少ない表現法である。非零のビットの箇所では、因子の加算もしくは減算を行なうため、非零のビットの数が少ない方が、スカラー倍算を高速に計算することが出来る。NAFを用いたスカラー値表現を、halve-and-add binary法、halve-and-add window法に適用することが出来る。halve-and-add binary法、halve-and-add window法で用いるHEC_HLVはランダムカーブを用いたアルゴリズム5a [Algorithm 5a]のHEC_HLVでも良いし、アルゴリズム8a [Algorithm 8a]の曲線パラメータに $h_2 = 1, f_4 = 0$ の制約を設けたHEC_HLVでも良いし、アルゴリズム10a [Algorithm 10a]の曲線パラメータに $h_2 = h_1 = 1, f_4 = 0$ の制約を設けたHEC_HLVでも良いし、アルゴリズム10a [Algorithm 10a]の曲線パラメータに $h_2 = h_1 = h_0 = 1, f_4 = 0$ の制約を設けたHEC_HLVでも良い。NAFを用いたhalve-and-add binary方をアルゴリズム16a [Algorithm 16a]として以下に示す。

30

40

【数 4 3】

Algorithm 16a Halve-and-add NAF Binary MethodInput : $D \in \mathbf{J}(\mathbb{F}_{2^n})$ such that $2D \neq O$, $d \in \mathbb{Z}$, r : order of D , $m = \lfloor \log_2 r \rfloor$ Output : scalar multiplication dD

1. $\sum_{i=0}^m \hat{d}_i 2^i \leftarrow \text{NAF}(2^m d \bmod r)$, $\hat{d}_i \in \{-1, 0, 1\}$

2. $\sum_{i=0}^m d_i / 2^i \leftarrow \sum_{i=0}^m \hat{d}_i 2^{i-m}$, $d_i \in \{-1, 0, 1\}$

3. $Q \leftarrow O$

4. for i from m downto 0 do:

$Q \leftarrow \text{HEC_HLV}(Q)$

if $d_i > 0$ then $Q \leftarrow Q + D$

if $d_i < 0$ then $Q \leftarrow Q - D$

5. return Q

10

20

【0 2 6 9】

[演算高速化の検証]

次に、上述した処理例 7 ~ 11 を適用した演算における計算量を求め、演算の高速化について検証する。

【0 2 7 0】

HEC_HLV ($h_2 = 1$, $f_4 = 0$) では、計算量は、平均で、

$19.5M + 2S + 1I + 2.5SR + 2H + 2T$

である。

30

【0 2 7 1】

まず、有限体が正規基底で定義されている場合について考える。前述のとおり、正規基底を用いた場合、 M , I のみの計算量を考慮すればよい。文献 [A.Menezes. Elliptic Curve Public Key Cryptosystems. Kluwer Academic Publishers, 1993.] によると、有限体を \mathbb{F}_q , $q = 2^n$ とした場合、逆元計算一回は、下式によって算出される回数、すなわち、

【数 4 4】

$$\lfloor \log_2(n-1) \rfloor + w(n-1) - 1$$

10

【0 2 7 2】

上記式によって算出される回数の乗算に匹敵する。ここで、 $w(n-1)$ は $n-1$ を 2 進数で表示した際の 1 の個数を表す。例えば、 $n = 83, 89, 113$ の場合、 $I = 8M$ となり、 $n = 103$ の場合、 $I = 9M$ となる。

【0 2 7 3】

ここで、 $I = 8M$ を仮定すると、
 $HEC_HLV(h_2 = 1, f_4 = 0)$
 の計算量は、
 $19.5M + 1I = 27.5M$ となる。

20

【0 2 7 4】

一方、HarleyDBLでは、
 $21M + 1I = 29M$ となり、 HEC_HLV の方がHarleyDBLよりも5%ほど高速となる。また、テーブル参照法を用いた場合は、

$$18M + 1I = 26M$$

となり、 HEC_HLV は、HarleyDBLよりも10%ほど高速となる。

30

【0 2 7 5】

また、 $HEC_HLV(h_2 = h_1 = 1, f_4 = 0)$

の計算量は、平均で、

$$14.5M + 3S + 1I + 2.5SR + 2H + 2T$$

となる。この場合は、

$$14.5M + 1I = 22.5M$$

となる。

【0 2 7 6】

一方、HarleyDBLでは、

$$18M + 1I = 26M$$

となり、 HEC_HLV の方がHarleyDBLよりも13%ほど高速となる。また、テーブル参照法を用いた場合は、

$$14M + 1I = 22M$$

となり、 HEC_HLV の方がHarleyDBLよりも15%ほど高速となる。

40

【0 2 7 7】

また、 $HEC_HLV(h_2 = h_1 = h_0 = 1, f_4 = 0)$

の計算量は、平均で、

$$13.5M + 3S + 1I + 2.5SR + 2H + 2T$$

となる。この場合は、

$$13.5M + 1I = 21.5M$$

となる。

50

【0278】

一方、HarleyDBLでは、

$15M + 1I = 23M$ となり、HEC_HLVの方がHarleyDBLよりも6%ほど高速となる。また、テーブル参照法を用いた場合は、

$$17M + 1I = 25M$$

となり、HEC_HLVの方がHarleyDBLよりも14%ほど高速となる。

【0279】

次に、多項式基底の場合の計算量を評価する。S, I, SR, H, Tの計算量をそれぞれ $S = 0.1M$, $I = 8M$, $SR = 0.5M$, $H = 0.5M$, $T = 0M$ と仮定する。HEC_HLV ($h_2 = 1$, $f_4 = 0$)では、計算量は平均で、

$$19.5M + 2S + 1I + 2.5SR + 2H + 2T = 29.95M$$

となる。

一方、HarleyDBLでは、

$$21M + 5S + 1I = 29.5M$$

となり、HarleyDBLの方がHEC_HLVよりも1%程度高速となる。

【0280】

また、テーブル参照法を用いた場合は、

$$18M + 2S + 1I + 2SR + 2H = 28.2M$$

となり、HEC_HLVはHarleyDBLよりも4%程度高速となる。

また、HEC_HLV ($h_2 = h_1 = 1$, $f_4 = 0$)では、計算量は平均で、

$$14.5M + 3S + 1I + 2.5SR + 2H + 2T = 25.05M$$

となる。一方、HarleyDBLでは、

$$18M + 7S + 1I = 26.7M$$

となり、HEC_HLVの方がHarleyDBLよりも6%程度高速となる。

【0281】

また、テーブル参照法を用いた場合は、

$$14M + 3S + 1I + 2SR + 2H = 24.3M$$

となり、HEC_HLVの方がHarleyDBLよりも9%程度高速となる。

【0282】

また、HEC_HLV ($h_2 = h_1 = h_0 = 1$, $f_4 = 0$)の計算量は、

$$13.5M + 3S + 1I + 2.5SR + 2H + 2T = 24.05M$$

となる。一方、HarleyDBLでは、

$$15M + 7S + 1I = 23.7M$$

となり、HarleyDBLの方がHEC_HLVよりも1%程度高速となる。また、テーブル参照法を用いた場合は、

$$13M + 3S + 1I + 2SR + 2H = 23.3M$$

となり、HEC_HLVの方がHarleyDBLよりも2%程度高速となる。

【0283】

また、多項式基底の場合をソフトウェア実装を行い、速度の比較を行った。

CPUは Pentium II 300MHz、

OSは Red Hat 7.3、

コンパイラは gcc 2.96

の環境でソフトウェア実装を行った。

【0284】

M (乗算)、S (2乗算)は、文献 [D.Hankerson, J.Hernandez, and A.Menezes. Software Implementation of Elliptic Curve Cryptography over Binary Fields. CHES 2000, LNCS 1965, pp.1-24, 2000., Algorithm 4.6, 4.7]、I (逆元演算)は、文献 [S.Shantz. From Euclid's GCD to Montgomery Multiplication to the Great Divide. TR-2001-95, Sun Microsystems, Inc., 2001.]、SR (平方根演算)、T (トレース (二次方程式の根があるか否かの判定))は、文献 [K.Fong, D.Hankerson, J.Lop

10

20

30

40

50

ez, and A.Menezes. Field inversion and point halving revised. Technical Report CORR2003-18, <http://www.cacr.math.uwaterloo.ca/techreports/2003/corr2003-18.pdf>]、H (ハーフトレース (二次方程式の根を求める演算)) は、文献 [K.Fong, D.Hankerson, J.Lopez, and A.Menezes. Field inversion and point halving revised. Technical Report CORR2003-18, <http://www.cacr.math.uwaterloo.ca/techreports/2003/corr2003-18.pdf> Algorithm 4.7] に従った。

【0285】

$n = 83, 89, 113$ の3つの有限体に対して、 M, S, I, SR, H, T を実装し、 M との比を求めた。ここで、

$n = 83$ の既約多項式は、
 $z^{83} + z^7 + z^4 + z^2 + 1 = 0$

$n = 89$ の既約多項式は、
 $z^{89} + z^{38} + 1 = 0$

$n = 113$ の既約多項式は、
 $z^{113} + z^9 + 1 = 0$

を用いた。

計算量は次の通りとなった。

$n = 83$: $S/M = 0.12, I/M = 7.96, SR/M = 0.57, H/M = 0.58$

$n = 89$: $S/M = 0.05, I/M = 8.74, SR/M = 0.14, H/M = 0.61$

$n = 113$: $S/M = 0.06, I/M = 8.56, SR/M = 0.10, H/M = 0.50$

【0286】

これらを、HarleyDBLの計算量 $21M + 5S + 1I$ に適用すると次のようになる。

$n = 83$: HarleyDBL 29.56M

$n = 89$: HarleyDBL 29.99M

$n = 113$: HarleyDBL 29.86M

【0287】

これらを、HEC_HLV ($h_2 = 1, f_4 = 0$) の計算量、 $19.5M + 2S + 1I + 2.5SR + 2H + 2T$ に適用すると次のようになる。

$n = 83$: HEC_HLV ($h_2 = 1, f_4 = 0$) 30.285M

$n = 89$: HEC_HLV ($h_2 = 1, f_4 = 0$) 29.91M

$n = 113$: HEC_HLV ($h_2 = 1, f_4 = 0$) 29.43M

【0288】

この場合、 $n = 83$ で HarleyDBLの方が HEC_HLVよりも2%程度高速である。また、 $n = 89, 113$ で、それぞれ HEC_HLVの方が HarleyDBLよりもそれぞれ、0.3%, 1.5%程度高速である。

【0289】

さらに、HEC_HLV ($h_2 = 1, f_4 = 0$) にテーブル参照法を適用した場合の計算量、 $18M + 2S + 1I + 2SR + 2H$ に適用すると次のようになる。

$n = 83$: HEC_HLV ($h_2 = 1, f_4 = 0, with\ table\ lookup$) 28.5M

$n = 89$: HEC_HLV ($h_2 = 1, f_4 = 0, with\ table\ lookup$) 28.34M

$n = 113$: HEC_HLV ($h_2 = 1, f_4 = 0, with\ table\ lookup$) 27.88M

【0290】

この場合、 $n = 83, 89, 113$ で、それぞれ HEC_HLVの方が HarleyD

10

20

30

40

50

BLよりも、4%、5%、6%程度高速である。

【0291】

また、 $h_2 = h_1 = 1$ 、 $f_4 = 0$ の場合は次の通りとなる。

HarleyDBLの計算量 $18M + 7S + 1I$ に適用すると次のようになる。

$n = 83$: HarleyDBL 27.4M

$n = 89$: HarleyDBL 27.09M

$n = 113$: HarleyDBL 26.98M

【0292】

次に、HEC_HLV($h_2 = h_1 = 1$ 、 $f_4 = 0$)の計算量、 $14.5M + 3S + 1I + 2.5SR + 2H + 2T$ に適用すると次のようになる。

$n = 83$: HEC_HLV($h_2 = 1$ 、 $f_4 = 0$) 25.405M

$n = 89$: HEC_HLV($h_2 = 1$ 、 $f_4 = 0$) 24.96M

$n = 113$: HEC_HLV($h_2 = 1$ 、 $f_4 = 0$) 24.49M

この場合、 $n = 83$ 、 89 、 113 で、それぞれHEC_HLVの方がHarleyDBLよりも、7%、8%、10%程度高速である。

【0293】

さらに、HEC_HLV($h_2 = h_1 = 1$ 、 $f_4 = 0$)にテーブル参照法を適用した場合の計算量、 $14M + 3S + 1I + 2SR + 2H$ に適用すると次のようになる。

$n = 83$: HEC_HLV($h_2 = h_1 = 1$ 、 $f_4 = 0$ 、withtable-lookup) 24.62M

$n = 89$: HEC_HLV($h_2 = h_1 = 1$ 、 $f_4 = 0$ 、withtable-lookup) 24.39M

$n = 113$: HEC_HLV($h_2 = h_1 = 1$ 、 $f_4 = 0$ 、withtable-lookup) 23.94M

この場合、 $n = 83$ 、 89 、 113 で、それぞれHEC_HLVの方がHarleyDBLよりも、10%、8%、11%程度高速である。

【0294】

また、 $h_2 = h_1 = h_0 = 1$ 、 $f_4 = 0$ の場合は次の通りとなる。

HarleyDBLの計算量 $15M + 7S + 1I$ に適用すると次のようになる。

$n = 83$: HarleyDBL 23.8M

$n = 89$: HarleyDBL 24.09M

$n = 113$: HarleyDBL 23.98M

【0295】

次に、HEC_HLV($h_2 = h_1 = h_0 = 1$ 、 $f_4 = 0$)の計算量 $13.5M + 3S + 1I + 2.5SR + 2H + 2T$ に適用すると次のようになる。

$n = 83$: HEC_HLV($h_2 = h_1 = h_0 = 1$ 、 $f_4 = 0$) 24.405M

$n = 89$: HEC_HLV($h_2 = h_1 = h_0 = 1$ 、 $f_4 = 0$) 23.96M

$n = 113$: HEC_HLV($h_2 = h_1 = h_0 = 1$ 、 $f_4 = 0$) 23.49M

この場合、 $n = 83$ でHarleyDBLの方がHEC_HLVよりも、2%程度高速である。また、 $n = 89$ 、 113 では、それぞれHEC_HLVの方がHarleyDBLよりも0.5%、2%程度高速である。

【0296】

さらに、HEC_HLV($h_2 = h_1 = h_0 = 1$ 、 $f_4 = 0$)にテーブル参照法を適用した場合の計算量 $13M + 3S + 1I + 2SR + 2H$ に適用すると次のようになる。

$n = 83$: HEC_HLV($h_2 = h_1 = h_0 = 1$ 、 $f_4 = 0$ 、withtable-lookup) 23.62M

$n = 89$: HEC_HLV($h_2 = h_1 = h_0 = 1$ 、 $f_4 = 0$ 、withtable-lookup) 23.39M

$n = 113$: HEC_HLV($h_2 = h_1 = h_0 = 1$ 、 $f_4 = 0$ 、withtable-lookup) 22.94M

この場合、 $n = 83, 89, 113$ で、それぞれHEC_HLVの方がHarleyDBLよりも、1%、3%、4%程度高速である。

【0297】

以上より、ほとんどの場合で、HEC_HLVの方がHarleyDBLよりも高速であることが言える。特に、曲線パラメータが、 $h_2 = h_1 = 1, f_4 = 0$ の場合は、全ての場合においてHEC_HLVの方がHarleyDBLよりも高速である。

【0298】

次に、スカラー倍算における計算量を考える。上記の例で、HEC_HLVの方がHarleyDBLよりも高速な場合は、加算と $1/2$ 倍算の組み合わせによるスカラー倍算の方が、加算と2倍算の組み合わせによるスカラー倍算よりも高速である。次に具体的にスカラー倍算の計算量を比較してみる。曲線は、 $h_2 = h_1 = 1, f_4 = 0$ を用いる。また、スカラー倍算アルゴリズムは、前述のNAF + binary法(アルゴリズム16a [Algorithm 16a])を用いる。このアルゴリズムにおいて、ステップ1, 2がスカラー倍算全体に占める割合は非常に小さいため、これらの計算量は無視する。ここで、正規基底および多項式基底ともに $n = 83, 89, 113$ の場合で計算量を考えてみる。また、ベースポイントの位数は、 $n = 83, 89, 113$ に対してそれぞれ165ビット、177ビット、225ビットと仮定する。また、ステップ4の繰り返し部分では、ベースポイントの位数のビット数だけ繰り返す。因子の加算は文献[T.Lange, Efficient arithmetic on genus 2 hyperelliptic curves over finite fields via explicit formulae. Cryptology ePrint Archive, 2002/121, IACR, 2002.]を用いる。ただし、曲線パラメータは $h_2 = h_1 = 1, f_4 = 0$ とする。

【0299】

この場合の因子の加算に必要な計算量は $21M + 3S + 1I$ である。スカラー値はNAFを使い $\{-1, 0, 1\}$ で表現する。スカラー値を m とした場合、非零のビットは、おおよそ $m/3$ 個ある。よってNAF + binary法の計算量は、 $(\text{加算} \cdot \text{減算の計算量}) / 3 + (\text{加算} \cdot \text{減算の計算量}) \times (\text{ベースポイントの位数のビット数})$ で計算する。

【0300】

まずは、正規基底の場合から見てみる。 $I = 8M$ と仮定する。

$h_2 = h_1 = 1, f_4 = 0$ の場合、

$n = 83$: 加算・2倍算 5885M

$n = 89$: 加算・2倍算 6313M

$n = 113$: 加算・2倍算 8025M

【0301】

$h_2 = h_1 = 1, f_4 = 0$ の場合、

$n = 83$: 加算・ $1/2$ 倍算 5307.5M

$n = 89$: 加算・ $1/2$ 倍算 5693.5M

$n = 113$: 加算・ $1/2$ 倍算 7237.5M

【0302】

$h_2 = h_1 = 1, f_4 = 0$ + テーブル参照法の場合、

$n = 83$: 加算・ $1/2$ 倍算 5225M

$n = 89$: 加算・ $1/2$ 倍算 5605M

$n = 113$: 加算・ $1/2$ 倍算 7125M

【0303】

次に、多項式基底の場合を考える。

$h_2 = h_1 = 1, f_4 = 0$ の場合、

$n = 83$: 加算・2倍算 6116M

$n = 89$: 加算・2倍算 6505.93M

$n = 113$: 加算・2倍算 8245.5M

【0304】

10

20

30

40

50

$h_2 = h_1 = 1, f_4 = 0$ の場合、
 $n = 83$: 加算・ $1/2$ 倍算 5 7 8 6 . 8 2 M
 $n = 89$: 加算・ $1/2$ 倍算 6 1 2 8 . 9 2 M
 $n = 113$: 加算・ $1/2$ 倍算 7 6 8 5 . 2 5 M

【0305】

$h_2 = h_1 = 1, f_4 = 0$ + テーブル参照法の場合、
 $n = 83$: 加算・ $1/2$ 倍算 5 6 5 7 . 3 M
 $n = 89$: 加算・ $1/2$ 倍算 6 0 2 8 . 0 3 M
 $n = 113$: 加算・ $1/2$ 倍算 7 5 6 1 . 5 M

【0306】

正規基底の場合は $10 \sim 11\%$ 程度、多項式基底の場合は $5 \sim 8\%$ 程度(加算・ $1/2$ 倍算のスカラール倍)の方が(加算・ 2 倍算のスカラール倍)よりも高速であることが言える。

【0307】

以上、説明したように、本発明の処理によれば、楕円曲線暗号の $1/2$ 倍算を、超楕円曲線暗号に拡張し、高速演算が実現される。

【0308】

超楕円曲線上の因子の演算を使う暗号処理演算において、処理の重い演算は因子のスカラール倍算である。上述した本発明の処理によりスカラール倍算を高速化することで超楕円曲線暗号の処理を大幅に改善することができる。

【0309】

前述したように、超楕円曲線暗号(HECC)は楕円曲線暗号(ECC)を一般化した概念であり、現在、様々な分野で適用されている楕円曲線暗号(ECC)を使った暗号処理、具体的には署名処理、暗号データの生成、復号処理、暗号鍵共有処理、認証処理などに、本発明を適用することが可能である。楕円曲線暗号(ECC)における演算処理中のスカラール倍算の部分、上述したスカラール倍算に置き換えることで、演算の高速化が可能となる。

【0310】

[暗号処理装置の機能構成について]

図7に、本発明の暗号処理装置の機能構成を示すブロック図を示す。暗号処理装置100は、超楕円曲線暗号に基づく暗号処理演算を実行する暗号処理装置100であり、因子Dをベースポイントとして生成するベースポイント生成部101、前述の処理例5において説明したテーブル、すなわち、予め固定された因子Dについての $[1/2^i D]$ 計算値に基づいて、 $k_1, k_1', (k_0, k_0')$ のいずれが正しいかを記録したテーブルを格納した記憶部102と、演算実行部103を有する。

【0311】

演算実行部103は、超楕円曲線の因子Dに対するスカラール倍算の演算において、演算処理として、 $1/2$ 倍算を含む演算を実行する。具体的には、種数2、標数2のランダムパラメータを持つ超楕円曲線の因子Dに対するスカラール倍算において $1/2$ 倍算を含む演算を実行する。例えば、種数2、標数2の $h(x) = x^2 + x + h_0, f_4 = 0$ をパラメータに持つ超楕円曲線の因子Dに対するスカラール倍算、あるいは、種数2、標数2の $h(x) = x$ をパラメータに持つ超楕円曲線の因子Dに対するスカラール倍算において $1/2$ 倍算を含む演算を実行する。

【0312】

[電子署名生成および検証アルゴリズムにおける本発明の適用例]

以下に本発明の処理を適用可能な具体的な暗号処理アルゴリズムの例として、楕円曲線暗号を適用した電子署名生成および検証アルゴリズムであるECDSEA(ECDigital Signature Algorithm)のスカラール倍算に本発明の演算手法を適用した場合について説明する。IEEE1363によるとECDSEAによる署名生成、検証は以下のシーケンスによって実行される。

10

20

30

40

50

【0313】

- (1) 入力
- (1-1) 楕円曲線のドメインパラメータ及びベースポイント G (位数 r)
- (1-2) 署名者の秘密鍵 s
- (1-3) 平文 M
- (2) 鍵生成
- (2-1) 秘密鍵 s に対して $W = sG$ を公開鍵とする
- (3) 署名生成
- (3-1) ランダムな整数 $0 < u < r$ を生成
- (3-2) $V = uG = (x_v, y_v)$ を計算 10
- (3-3) x_v を整数に変換し、 i とする
- (3-4) $c = i \bmod r$ を計算。 $c = 0$ なら step 3-1 へ
- (3-5) $f = h(M)$ 、 h は hash 関数
- (3-6) $d = u^{-1} (f + sc) \bmod r$ を計算。 $d = 0$ なら step 3-1 へ
- (3-7) (c, d) を平文 M に対する署名にする。
- (4) 署名検証
- (4-1) $0 < c < r$ 、 $0 < d < r$ をチェック。 該当しない場合 `invalid` を出力
- (4-2) $h = d^{-1} \bmod r$ 、 $h_1 = fh \bmod r$ 、 $h_2 = ch \bmod r$ を計算。
- (4-3) $P = (x_p, y_p) = h_1 G + h_2 W$ を計算。 $P = O$ ならば `invalid` を出力 20
- (4-4) x_p を整数に変換し、 i とする。
- (4-5) $c' = i \bmod r$ を計算する。
- (4-6) $c' = c$ ならば `valid` を出力。 そうでないならば `invalid` を出力。

【0314】

上記アルゴリズムにおいて下記の処理が超楕円曲線を用いた本提案法が適用できる箇所である。

- (2-1) 秘密鍵 s に対して $W = sG$ を公開鍵とする
- (3-2) $V = uG = (x_v, y_v)$ を計算 30
- (4-3) $P = (x_p, y_p) = h_1 G + h_2 W$ を計算。 $P = O$ ならば `invalid` を出力

【0315】

これらの各ステップ (2-1)、(3-2)、(4-3) における演算処理、 $W = sG$ 、 $V = uG$ 、 $P = (x_p, y_p) = h_1 G + h_2 W$ で、 sG 、 uG 、 $h_1 G$ 、 $h_2 W$ の演算処理は、因子のスカラー倍算処理であり、本発明の適用による高速化が可能となる。さらに sG 、 uG 、 $h_1 G$ の演算処理は、固定因子のスカラー倍算処理であり、本発明のテーブル参照法の適用による高速化が可能となる。

【0316】

[暗号処理装置のハードウェア構成例] 40

最後に、上述の暗号処理を実行するデバイスとしての IC モジュール 200 の構成例を図 8 に示す。上述の処理は、例えば PC、IC カード、リーダーライタ、その他、様々な情報処理装置において実行可能であり、図 8 に示す IC モジュール 200 は、これら様々な機器に構成することが可能である。

【0317】

図 8 に示す CPU (Central processing Unit) 201 は、暗号処理の開始や、終了、データの送受信の制御、各構成部間のデータ転送制御、その他の各種プログラムを実行するプロセッサである。メモリ 202 は、CPU 201 が実行するプログラム、あるいは演算パラメータとしての固定データを格納する ROM (Read-Only-Memory)、CPU 201 の処理において実行されるプログラム、およびプログラム処理において適宜変化するパラメ 50

ータの格納エリア、ワーク領域として使用される R A M (Random Access Memory) 等からなる。

【 0 3 1 8 】

なお、メモリ 2 0 2 に格納する演算実行プログラムは、上述したベースポイントの設定処理、スカラー倍算としての加算、2倍算の実行シーケンスを含むプログラムとして設定される。また、メモリ 2 0 2 は暗号処理に必要な鍵データ等の格納領域として使用可能である。データ等の格納領域は、耐タンパ構造を持つメモリとして構成されることが好ましい。

【 0 3 1 9 】

暗号処理手部 2 0 3 は、上述したスカラー倍算処理を含む暗号処理、復号処理等を実行する。なお、ここでは、暗号処理手段を個別モジュールとした例を示したが、このような独立した暗号処理モジュールを設けず、例えば暗号処理プログラムを R O M に格納し、C P U 2 0 1 が R O M 格納プログラムを読み出して実行するように構成してもよい。

10

【 0 3 2 0 】

乱数発生器 2 0 4 は、暗号処理に必要となる鍵の生成などにおいて必要となる乱数の発生処理を実行する。

【 0 3 2 1 】

送受信部 2 0 5 は、外部とのデータ通信を実行するデータ通信処理部であり、例えばリーダーライタ等、I C モジュールとのデータ通信を実行し、I C モジュール内で生成した暗号文の出力、あるいは外部のリーダーライタ等の機器からのデータ入力などを実行する。

20

【 0 3 2 2 】

以上、特定の実施例を参照しながら、本発明について詳解してきた。しかしながら、本発明の要旨を逸脱しない範囲で当業者が該実施例の修正や代用を成し得ることは自明である。すなわち、例示という形態で本発明を開示してきたのであり、限定的に解釈されるべきではない。本発明の要旨を判断するためには、特許請求の範囲の欄を参酌すべきである。

【 0 3 2 3 】

なお、明細書中において説明した一連の処理はハードウェア、またはソフトウェア、あるいは両者の複合構成によって実行することが可能である。ソフトウェアによる処理を実行する場合は、処理シーケンスを記録したプログラムを、専用のハードウェアに組み込まれたコンピュータ内のメモリにインストールして実行させるか、あるいは、各種処理が実行可能な汎用コンピュータにプログラムをインストールして実行させることが可能である。

30

【 0 3 2 4 】

例えば、プログラムは記録媒体としてのハードディスクや R O M (Read Only Memory) に予め記録しておくことができる。あるいは、プログラムはフレキシブルディスク、C D - R O M (Compact Disc Read Only Memory) , M O (Magneto optical) ディスク , D V D (Digital Versatile Disc) 、磁気ディスク、半導体メモリなどのリムーバブル記録媒体に、一時的あるいは永続的に格納 (記録) しておくことができる。このようなリムーバブル記録媒体は、いわゆるパッケージソフトウェアとして提供することができる。

40

【 0 3 2 5 】

なお、プログラムは、上述したようなリムーバブル記録媒体からコンピュータにインストールする他、ダウンロードサイトから、コンピュータに無線転送したり、L A N (Local Area Network) 、インターネットといったネットワークを介して、コンピュータに有線で転送し、コンピュータでは、そのようにして転送されてくるプログラムを受信し、内蔵するハードディスク等の記録媒体にインストールすることができる。

【 0 3 2 6 】

なお、明細書に記載された各種の処理は、記載に従って時系列に実行されるのみならず、処理を実行する装置の処理能力あるいは必要に応じて並列的あるいは個別に実行されてもよい。また、本明細書においてシステムとは、複数の装置の論理的集合構成であり、

50

各構成の装置が同一筐体内にあるものには限らない。

【産業上の利用可能性】

【0327】

本発明の構成によれば、楕円曲線暗号の1/2倍算を、超楕円曲線暗号に拡張し、高速演算が実現される。超楕円曲線上の因子の演算を使う暗号処理演算において、処理の重い演算は因子のスカラー倍算であり、本発明の処理によりスカラー倍算を高速化することで超楕円曲線暗号の処理を大幅に改善することができ、ICカードなど高速性、安全性の要求される暗号処理演算を行う機器、デバイスなどにおいて本発明の適用が可能である。

【0328】

本発明の構成によれば、超楕円曲線暗号の因子Dに対するスカラー倍算において、演算処理として、1/2倍算を含む演算を実行することでスカラー倍算を高速化することができる。例えば、種数2、標数2の $h(x) = x^2 + x + h_0$, $f_4 = 0$ をパラメータに持つ超楕円曲線の因子Dに対するスカラー倍算、あるいは、種数2、標数2の $h(x) = x^2 + h_1x + h_0$, $f_4 = 0$ をパラメータに持つ超楕円曲線の因子Dに対するスカラー倍算、あるいは、種数2、標数2の $h(x) = x$ をパラメータに持つ超楕円曲線の因子Dに対するスカラー倍算において1/2倍算を含む演算を実行することで、高速演算が実現され、ICカードなど高速性、安全性の要求される暗号処理演算を行う機器、デバイスなどにおいて本発明の適用が可能である。

【0329】

さらに、本発明の構成によれば、予め固定された因子Dについての $[1/2^i D]$ 計算値に基づいて、 $k_1, k_1', (k_0, k_0')$ のいずれが正しいかを記録したテーブルを適用することで、因子のスカラー倍算における計算量をさらに削減することが可能となり、さらなる高速化が実現され、ICカードなど高速性、安全性の要求される暗号処理演算を行う機器、デバイスなどにおいて本発明の適用が可能である。

【0330】

さらに、本発明の構成によれば、超楕円曲線暗号の因子Dに対するスカラー倍算において、演算処理として、1/2倍算を含む演算を実行する構成とするともに、1/2倍算の演算処理において逆元演算の実行回数を減少させるアルゴリズムを適用したので、因子のスカラー倍算における計算量をさらに削減することが可能となり、さらなる高速化が実現される。

【図面の簡単な説明】

【0331】

【図1】種数2の超楕円曲線暗号のスカラー倍算における加算処理、2倍算処理のアルゴリズムについて説明する図である。

【図2】種数2の超楕円曲線暗号の1/2倍算の場合分け処理について説明する図である。

【図3】HEC_HLVアルゴリズムについて説明するフローチャートを示す図である。

【図4】 $HEC_HLV^{2^{1+1}}$ アルゴリズムについて説明するフローチャートを示す図である。

【図5】 $HEC_HLV^{2^{2+2}}$ アルゴリズムについて説明するフローチャートを示す図である。

【図6】 $HEC_HLV^{1^{2+2}}$ アルゴリズムについて説明するフローチャートを示す図である。

【図7】本発明の暗号処理演算を実行する暗号処理装置の機能構成を示すブロック図である。

【図8】本発明の暗号処理演算を実行する暗号処理実行デバイス例としてのICモジュールの構成例を示す図である。

【符号の説明】

【0332】

10

20

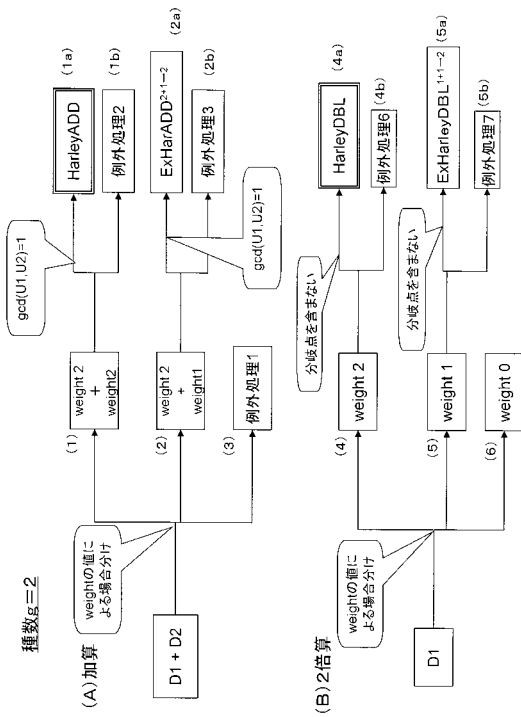
30

40

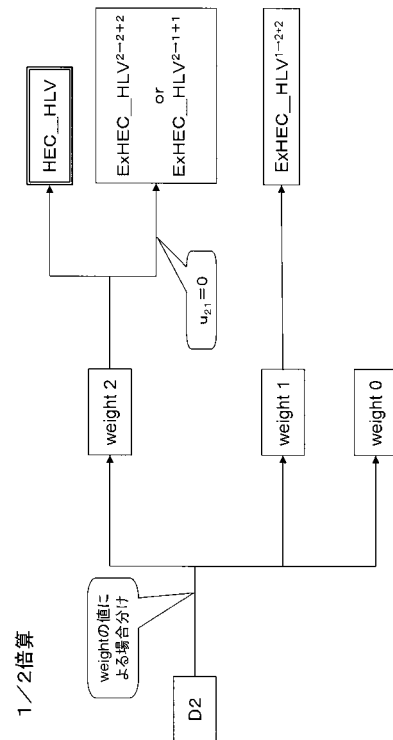
50

- 1 0 0 暗号処理装置
- 1 0 1 ベースポイント生成部
- 1 0 2 記憶部
- 1 0 3 演算実行部
- 2 0 0 ICモジュール
- 2 0 1 CPU (Central Processing Unit)
- 2 0 2 メモリ
- 2 0 3 暗号処理部
- 2 0 4 乱数発生器
- 2 0 5 送受信部

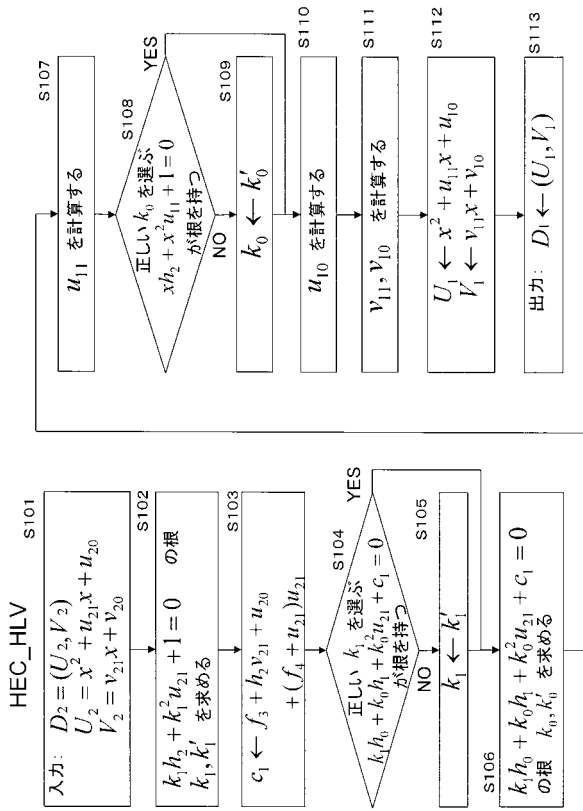
【 図 1 】



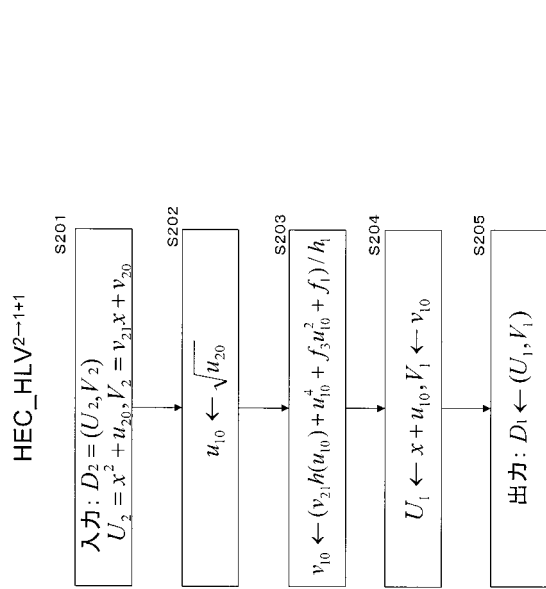
【 図 2 】



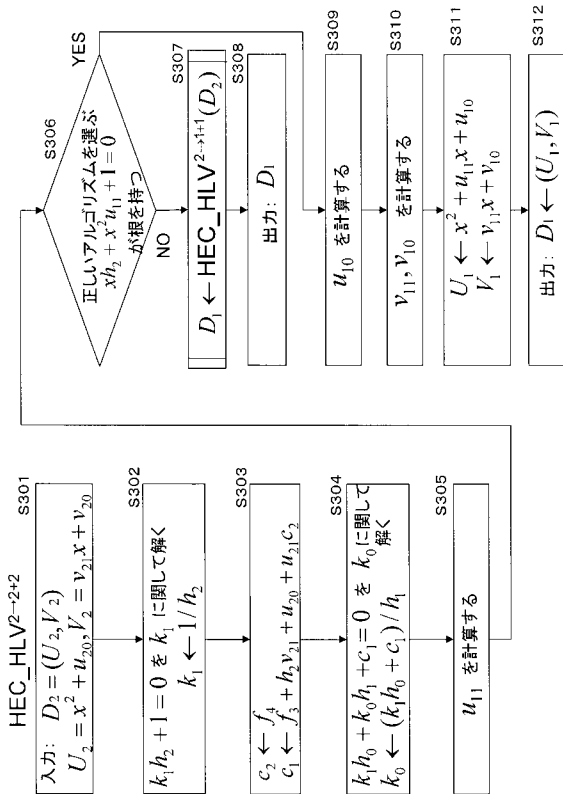
【 図 3 】



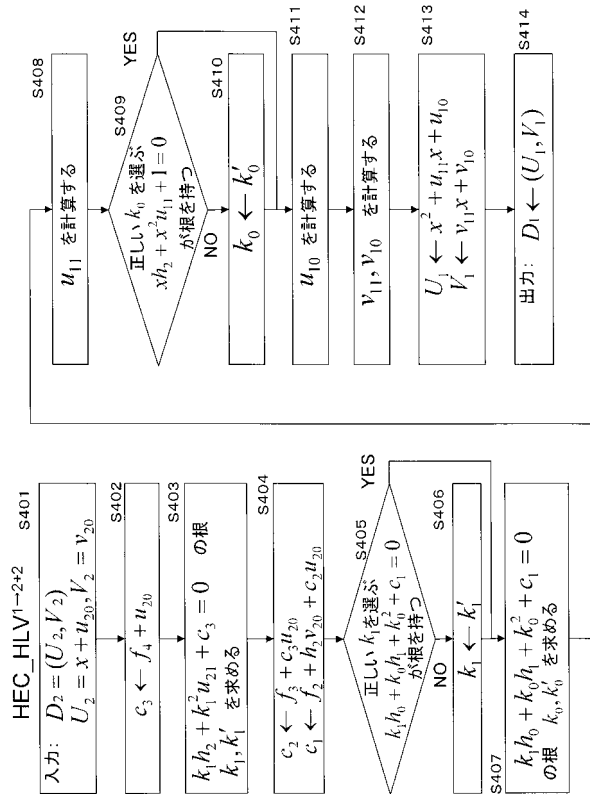
【 図 4 】



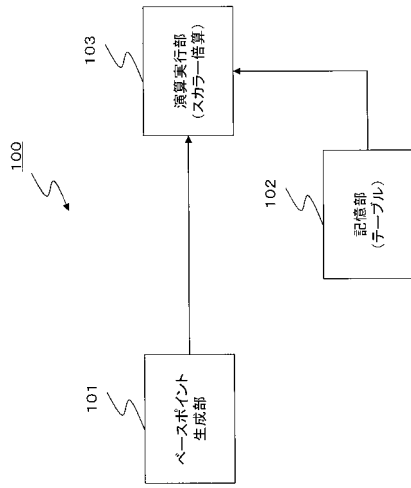
【 図 5 】



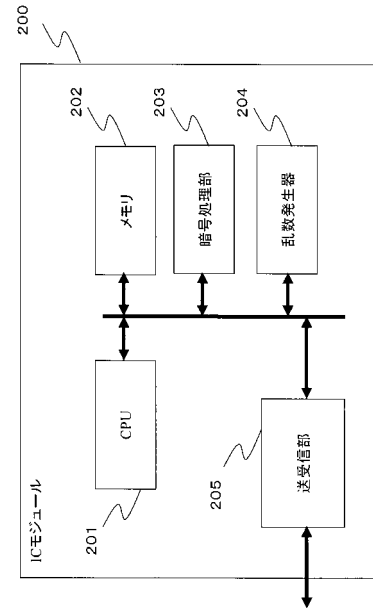
【 図 6 】



【図7】



【図8】



フロントページの続き

(72)発明者 高木 剛

ドイツ連邦共和国, 6 4 2 8 9 , ダルムシュタット, カロリーネンプラッツ5

審査官 石田 信行

(56)参考文献 特開2004 - 205870 (JP, A)

特表2003 - 504695 (JP, A)

特開2004 - 205869 (JP, A)

特開2004 - 205868 (JP, A)

特開2003 - 216028 (JP, A)

(58)調査した分野(Int.Cl. , DB名)

G 0 9 C 1 / 0 0